

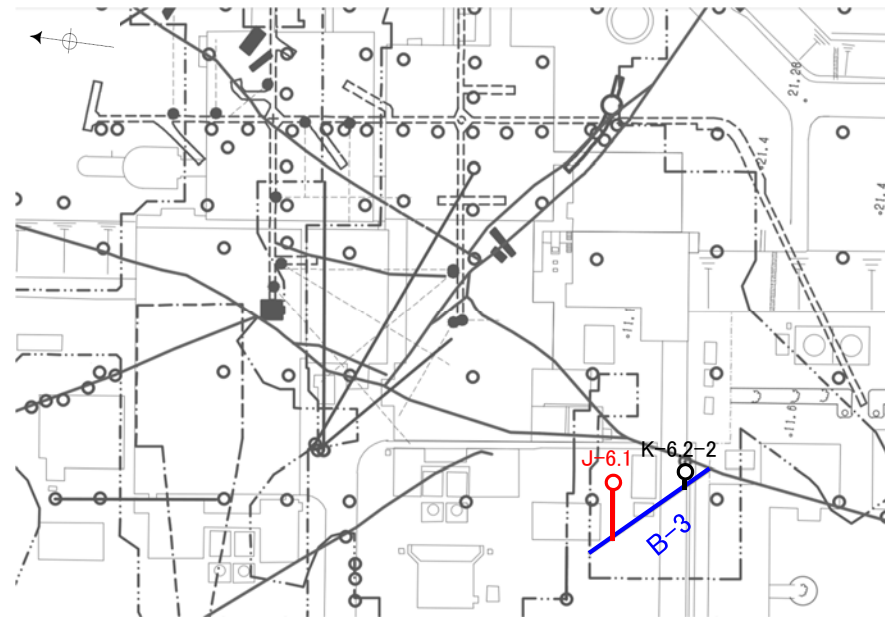
| | 顕微鏡観察 (右に構造等を加筆) | 顕微鏡観察 拡大 (右に構造等を加筆) |
|----------------------|------------------|---------------------|
| F-7.0孔 (深度16.09m) | (単ニコル) | (単ニコル) |
| | | |
| | (直交ニコル) | (直交ニコル) |
| | | |
| | | <p>凡例 — Y面</p> |

・固結した破砕部、粘土状破砕部中には変位センスが認定できるような明瞭な変形構造は認められない。

(3)-9 B-3の薄片観察結果

| 薄片観察結果(固結した破碎部) | | 薄片観察結果(粘土状破碎部) | |
|-----------------|-------|----------------|-------|
| 薄片番号 | 変位センス | 薄片番号 | 変位センス |
| J-6.1_70R | 正断層 | J-6.1_70R | 不明 |

* 各薄片試料は、付近の断層の条線観察結果を踏まえたレイクで切断し、作成した。



- 鉛直ボーリング孔
- 斜めボーリング孔
- 水平ボーリング孔
- 表土はぎ
- トレンチ
- 岩盤調査坑
- ⋯ 試掘坑, 試験坑, 斜坑
- B-3(EL-4.7m)
- 赤字: 薄片観察箇所

位置図

薄片観察結果 (J-6.1_70R)

■ 糸線観察結果を踏まえ、70° Rのレイクでポーリングコアを切断して作成した薄片を観察した。

第671回審査会合 机上配布資料1
P.9-221再掲

| | 顕微鏡観察 (右に構造等を加筆) | | 顕微鏡観察 拡大 (右に構造等を加筆) | | | |
|---------------------|------------------|--|--|---------|--|--|
| J-6.1孔 (深度27.9m) | (単ニコル) | <p>上</p> <p>固結した破砕部 粘土状破砕部</p> <p>下盤 上盤</p> <p>下 1cm</p> | <p>上</p> <p>固結した破砕部 粘土状破砕部</p> <p>拡大範囲</p> <p>下盤 上盤</p> <p>下 1cm</p> | (単ニコル) | <p>上</p> <p>固結した破砕部 粘土状破砕部</p> <p>下盤 上盤</p> <p>下 1mm</p> | <p>上</p> <p>固結した破砕部 粘土状破砕部</p> <p>下盤 上盤</p> <p>下 1mm</p> |
| | (直交ニコル) | <p>上</p> <p>固結した破砕部 粘土状破砕部</p> <p>下盤 上盤</p> <p>下 1cm</p> | <p>上</p> <p>固結した破砕部 粘土状破砕部</p> <p>拡大範囲</p> <p>下盤 上盤</p> <p>下 1cm</p> | (直交ニコル) | <p>上</p> <p>固結した破砕部 粘土状破砕部</p> <p>下盤 上盤</p> <p>下 1mm</p> | <p>上</p> <p>固結した破砕部 粘土状破砕部</p> <p>下盤 上盤</p> <p>下 1mm</p> |
| | | | <p>凡例</p> <p>— Y面</p> <p>— R1面</p> <p>— 変位方向</p> | | | |
| | | | <p>上</p> <p>下</p> <p>上盤</p> <p>下盤</p> | | | |

- ・固結した破砕部中の変形構造から、見かけ上盤側下がりの正断層センスが認定できる。
- ・粘土状破砕部中には変位センスが認定できるような明瞭な変形構造は認められない。

薄片観察結果 (J-6.1_70R)

■ 条線観察結果を踏まえ、70° Rのレイクでボーリングコアを切断して作成した薄片を観察した。

第671回審査会合 机上配布資料1
P.9-222再掲

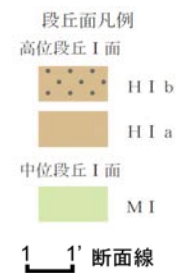
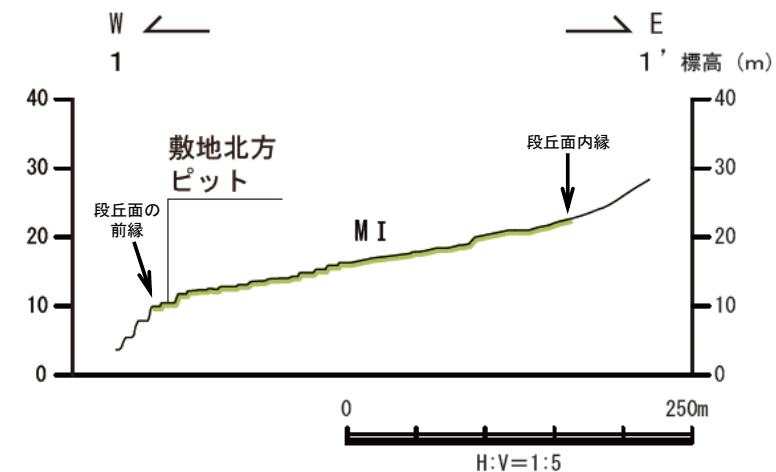
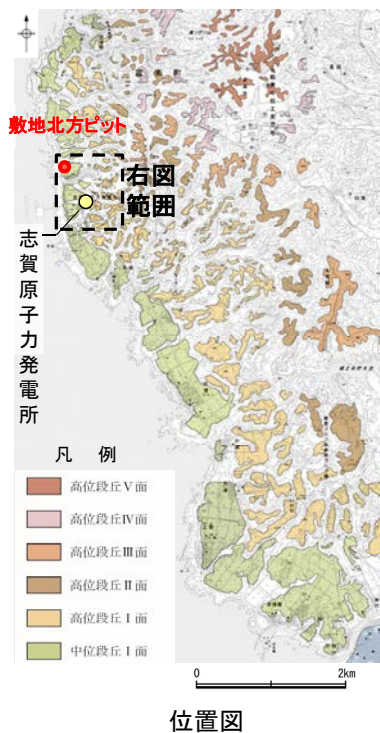
| | 顕微鏡観察 (右に構造等を加筆) | | 顕微鏡観察 拡大 (右に構造等を加筆) | | | |
|---------------------|--|---|---|---------|---|---|
| J-6.1孔 (深度27.9m) | (単ニコル) | <p>上</p> <p>固結した破砕部 粘土状破砕部</p> <p>下盤 上盤</p> <p>下 1cm</p> | <p>上</p> <p>固結した破砕部 粘土状破砕部</p> <p>下盤 上盤</p> <p>下 1cm</p> | (単ニコル) | <p>上</p> <p>固結した破砕部</p> <p>下盤 上盤</p> <p>下 1mm</p> | <p>上</p> <p>固結した破砕部</p> <p>下盤 上盤</p> <p>下 1mm</p> |
| | (直交ニコル) | <p>上</p> <p>固結した破砕部 粘土状破砕部</p> <p>下盤 上盤</p> <p>下 1cm</p> | <p>上</p> <p>固結した破砕部 粘土状破砕部</p> <p>下盤 上盤</p> <p>下 1cm</p> | (直交ニコル) | <p>上</p> <p>固結した破砕部</p> <p>下盤 上盤</p> <p>下 1mm</p> | <p>上</p> <p>固結した破砕部</p> <p>下盤 上盤</p> <p>下 1mm</p> |
| | <p>凡例</p> <p>— Y面</p> <p>— P面</p> <p>↗ 変位方向</p> | | | | | |
| | <p>・固結した破砕部中の変形構造から、見かけ上盤側下がりの正断層センスが認定できる。</p> <p>・粘土状破砕部中には変位センスが認定できるような明瞭な変形構造は認められない。</p> | | | | | |

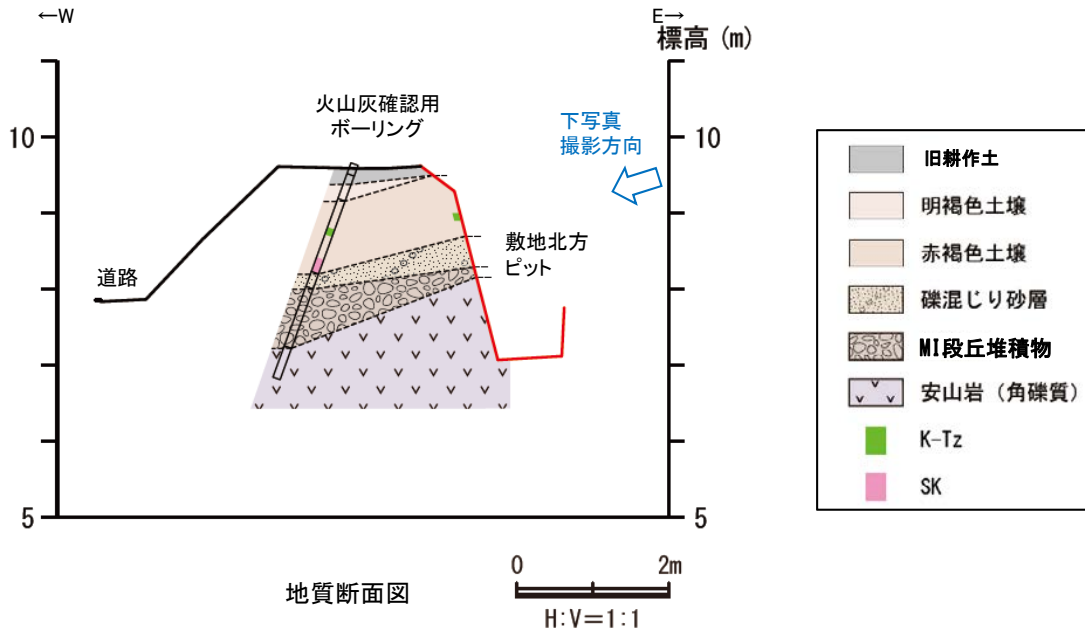
余白

補足資料5. 1－1

上載地層法に用いる地層に関する調査結果

(1) 地質調査結果

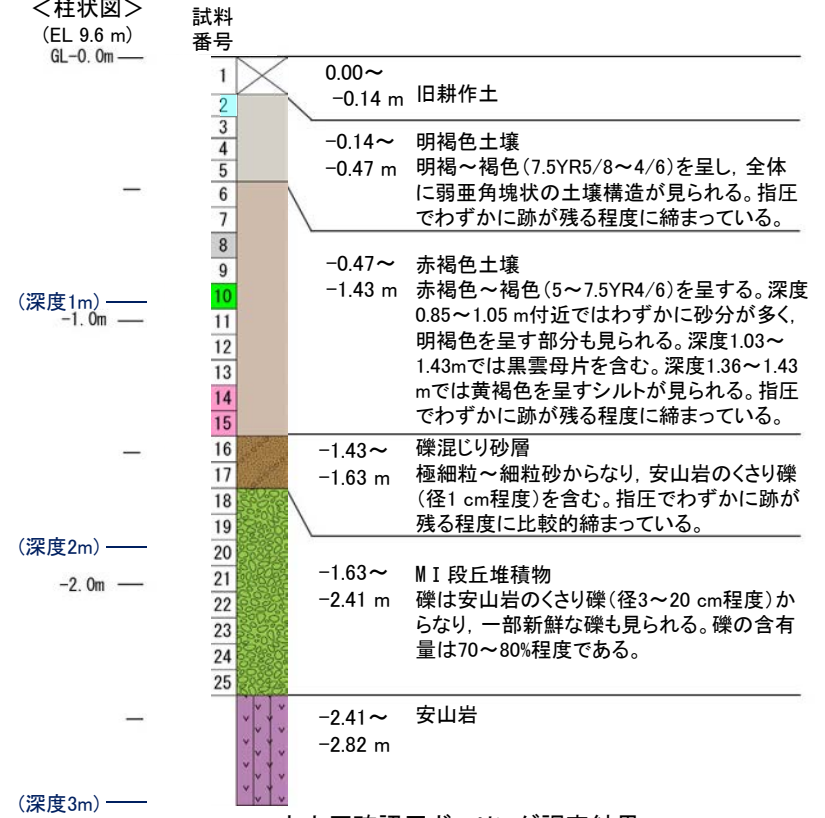




敷地北方ピット※ 西壁面写真

※調査結果の詳細は次頁を参照。

<柱状図>
(EL. 9.6 m)
GL-0.0m



火山灰確認用ボーリング調査結果

・火山灰分析結果については、P.5.1-1-28参照



明褐色土壌

- ・色調7.5YR5/8～4/6で、シルトからなる。やや締まっており、壁状を呈する。

赤褐色土壌

- ・色調5YR4/8及び5YR5/6で、粘土質シルトからなる。よく締まっており、弱い～中程度の垂角塊状土壌構造が認められる。
- ・下部では、径2～20cm(最大50cm)の安山岩角～垂円礫を不均質に含む。

礫混じり砂層

- ・下位層を侵食した緩いチャネル状に分布。
- ・色調は2.5Y6/6及び7.5YR5/8で、基質はシルト質極細～中粒砂からなり、やや淘汰が悪く、下位層由来の円磨された数mmの安山岩粒子を含む。径1～20cm(最大50cm)の安山岩垂円～垂角礫を5～15%含む。
- ・よく締まっている。

MI段丘堆積物

- ・岩盤の凹みを埋積するように分布する砂礫層。
- ・色調は7.5Y5/6及び10YR5/6で、基質は淘汰のよい極細粒砂からなり、よく円磨された数mmの安山岩粒子を含む。礫は径2～10cm(最大75cm)の安山岩垂円～垂角礫であり、円礫を含む。礫の含有率は40～60%程度で、礫支持構造が認められる。
- ・基質部はやや固結している。

穴水累層 安山岩(角礫質)

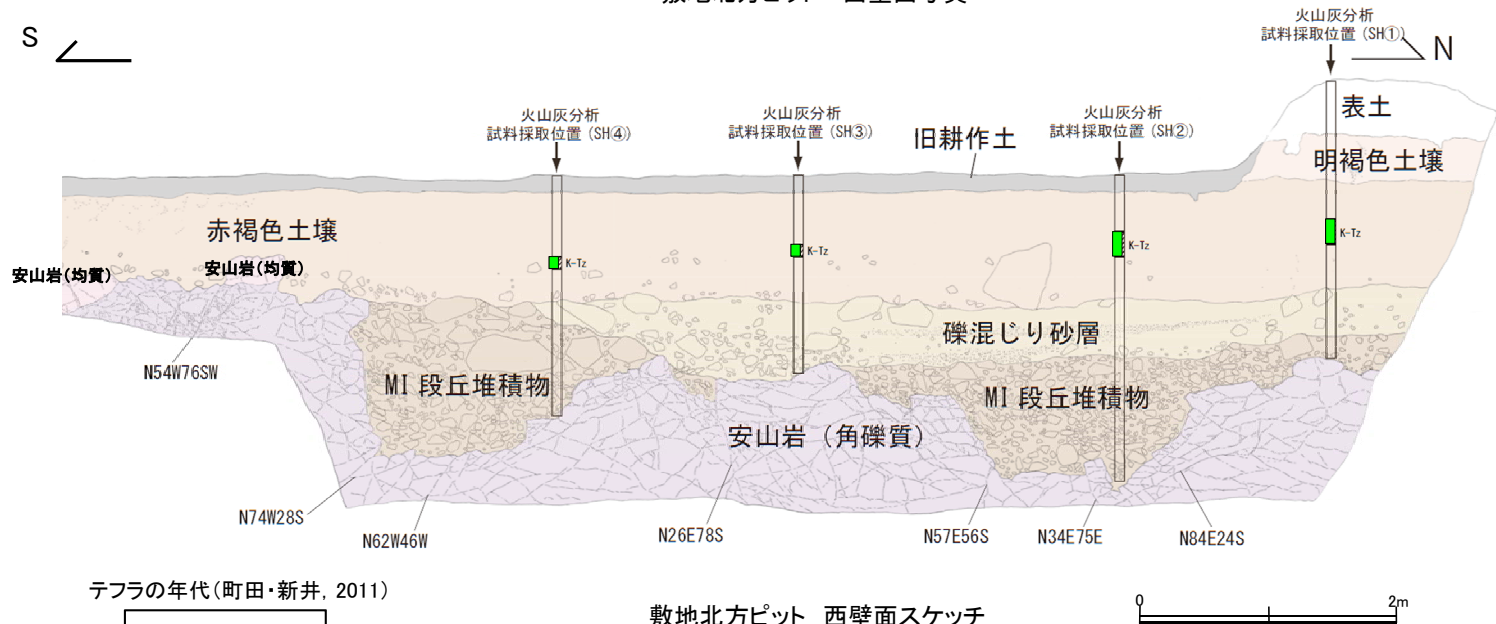
- ・風化により緑灰色、灰赤色を呈する。
- ・不規則な割れ目に褐色の流入粘土や白色細粒物が挟在する。

穴水累層 安山岩(均質)

- ・風化により褐灰～浅黄色を呈する。
- ・高角度の割れ目と低角度の割れ目が10～40cmの間隔で分布。

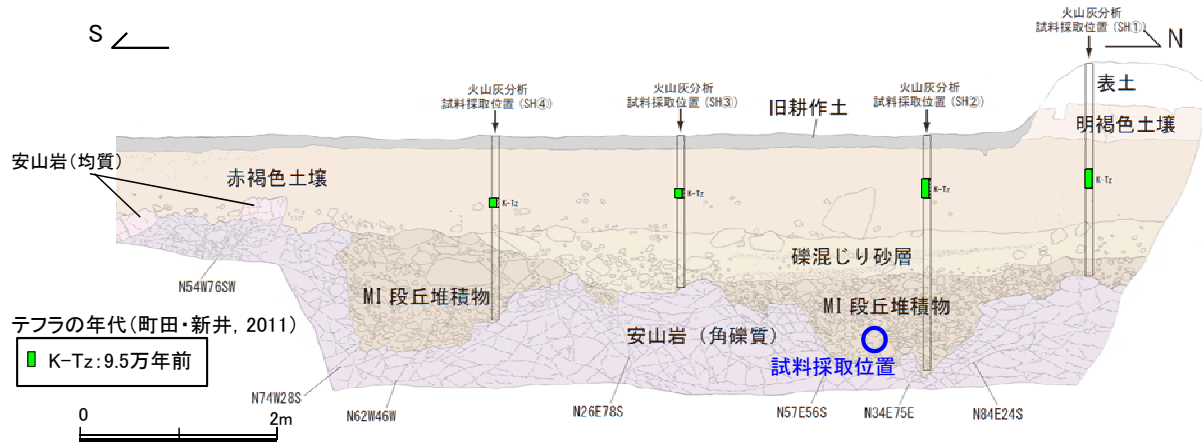


敷地北方ピット 西壁面写真

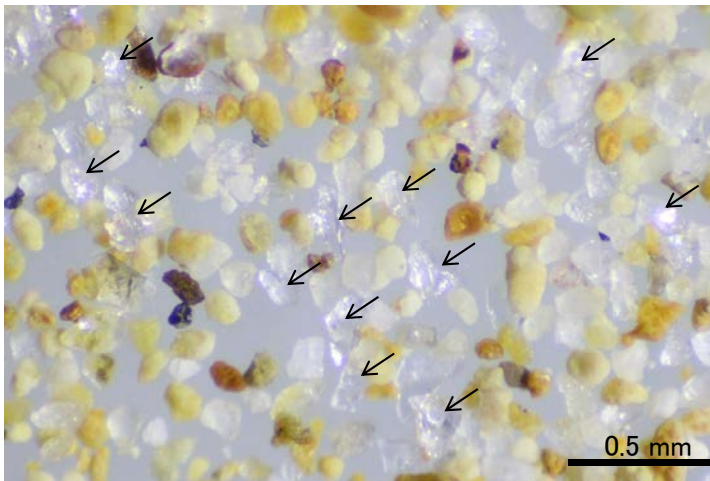


・MI段丘堆積物の石英粒子の含有に関する調査結果は次頁を参照。
・火山灰分析結果については、P.5.1-1-29を参照。

地質調査結果 敷地北方ピット④



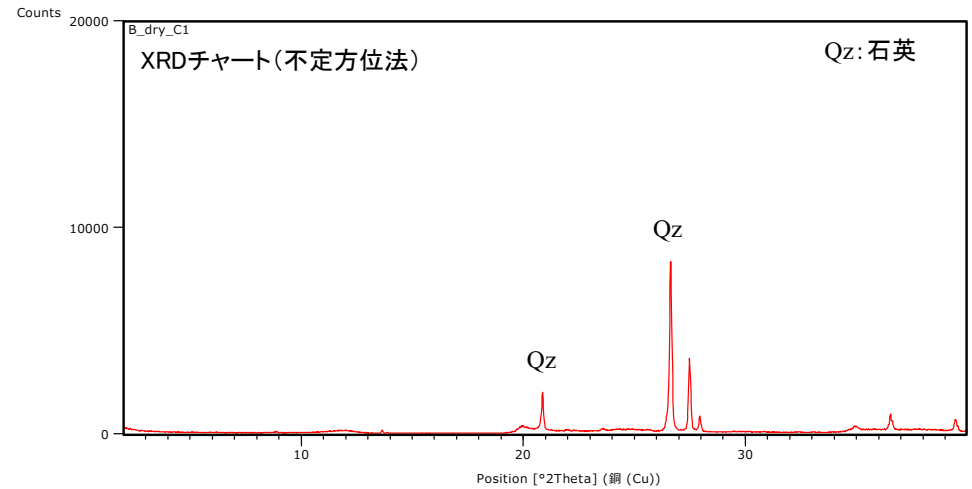
敷地北方ピット 西壁面スケッチ



実体顕微鏡写真

← 石英粒子の例

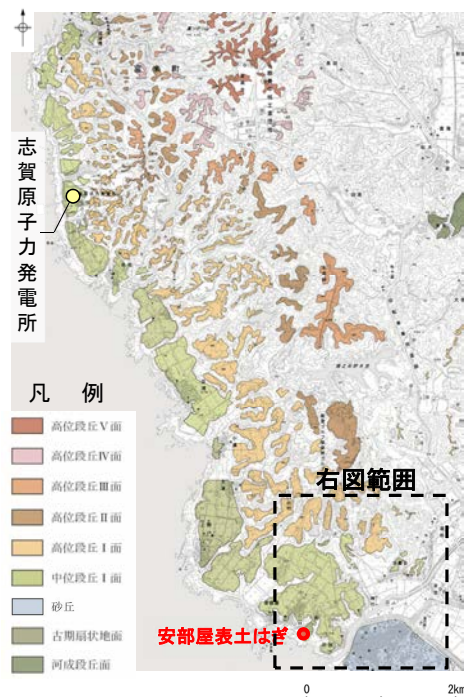
粒径0.1~0.2mm主体の石英粒子を含む。



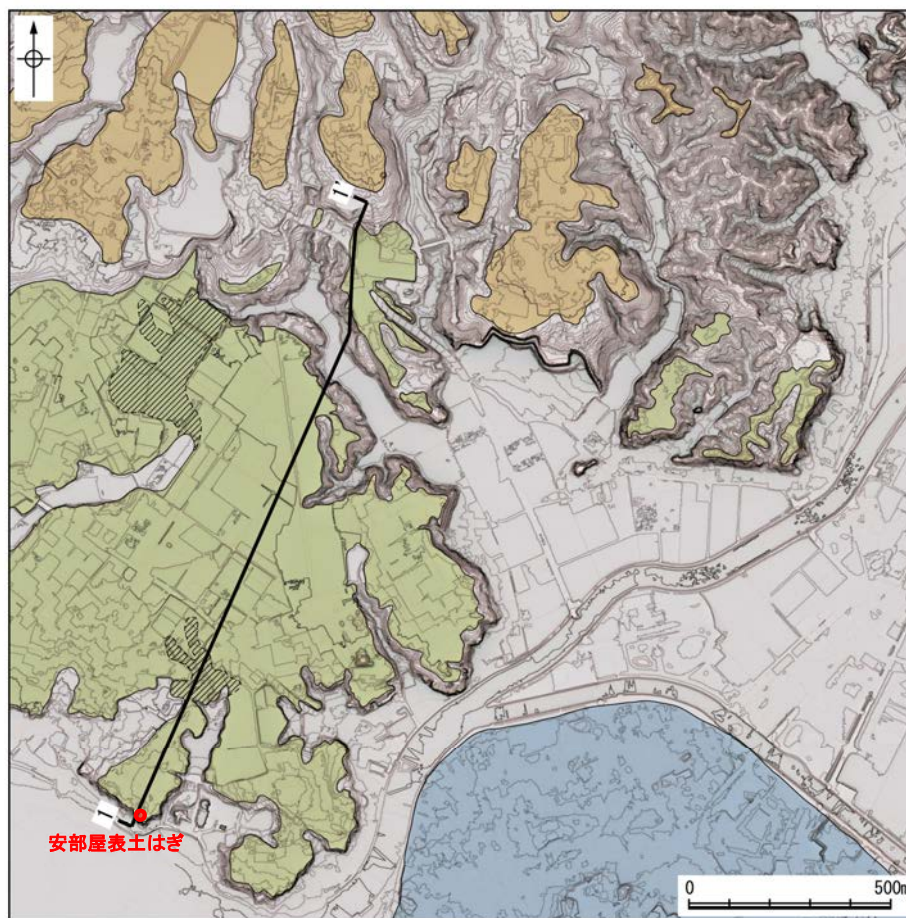
【石英同定方法】

- ・未乾燥試料約20gを供試
- ・乳鉢で軽くほぐした試料に蒸留水を加え、パンニング(わん掛け法)しながら細粒分を少しずつ除去し、粗粒分(ほぼ細粒砂以上)を分離
- ・パンニングの途中で上澄みがほぼ透明になるまで超音波洗浄(30秒, 20kHz)を繰り返し実施
- ・細粒分の除去が終了後、スミアスライド用試料とXRD分析用試料に区分
- ・作成したスミアスライドは実体顕微鏡で観察し、写真を撮影
- ・XRD分析用試料は60°Cで乾燥後、メノウ乳鉢で粉碎し、粉末法により右記の条件で分析

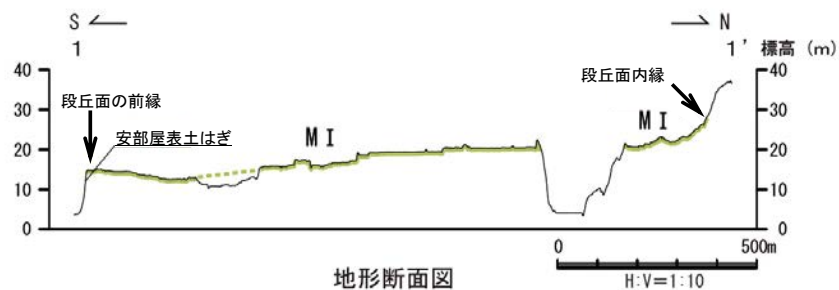
装置名: スペクトリス(株)社 (PANalytical) 製 PW3040
 X線管球: Cu、波長: CuK α , 1.54178 Å
 電圧・電流: 40kV・50mA
 測定角度・測定速度: 2~40°, 2° /分
 サンプリング幅: 0.02°
 スリット条件: DS: AS: RS = 15 mm: 15 mm: 0.2mm
 ※DS(発散スリット), AS(散乱防止スリット), RS(受光スリット)



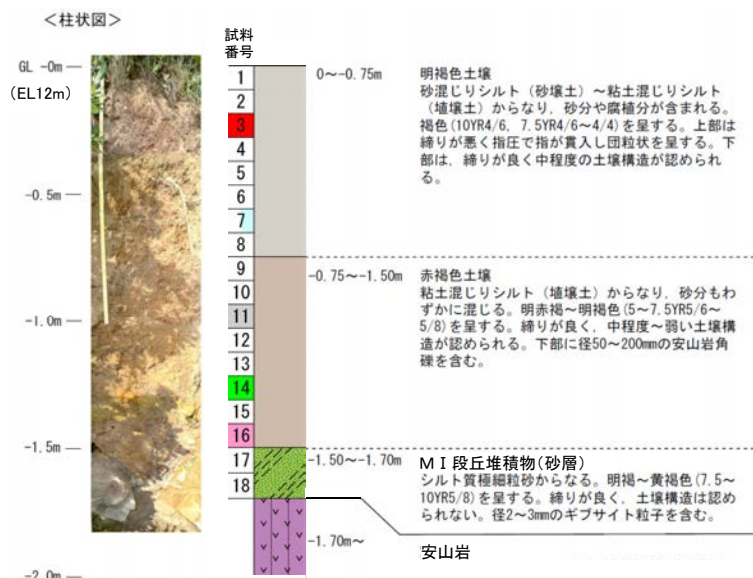
位置図



調査位置図



地形断面図



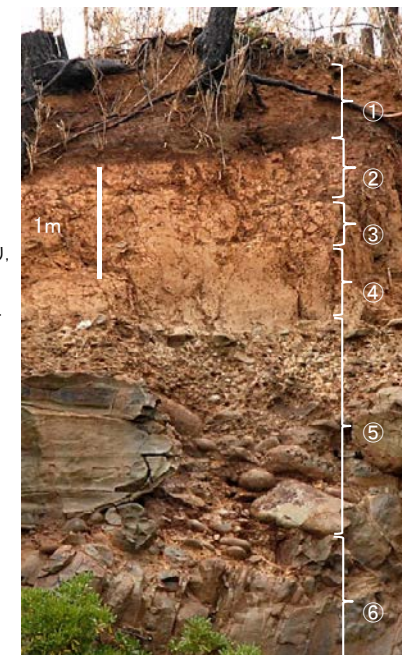
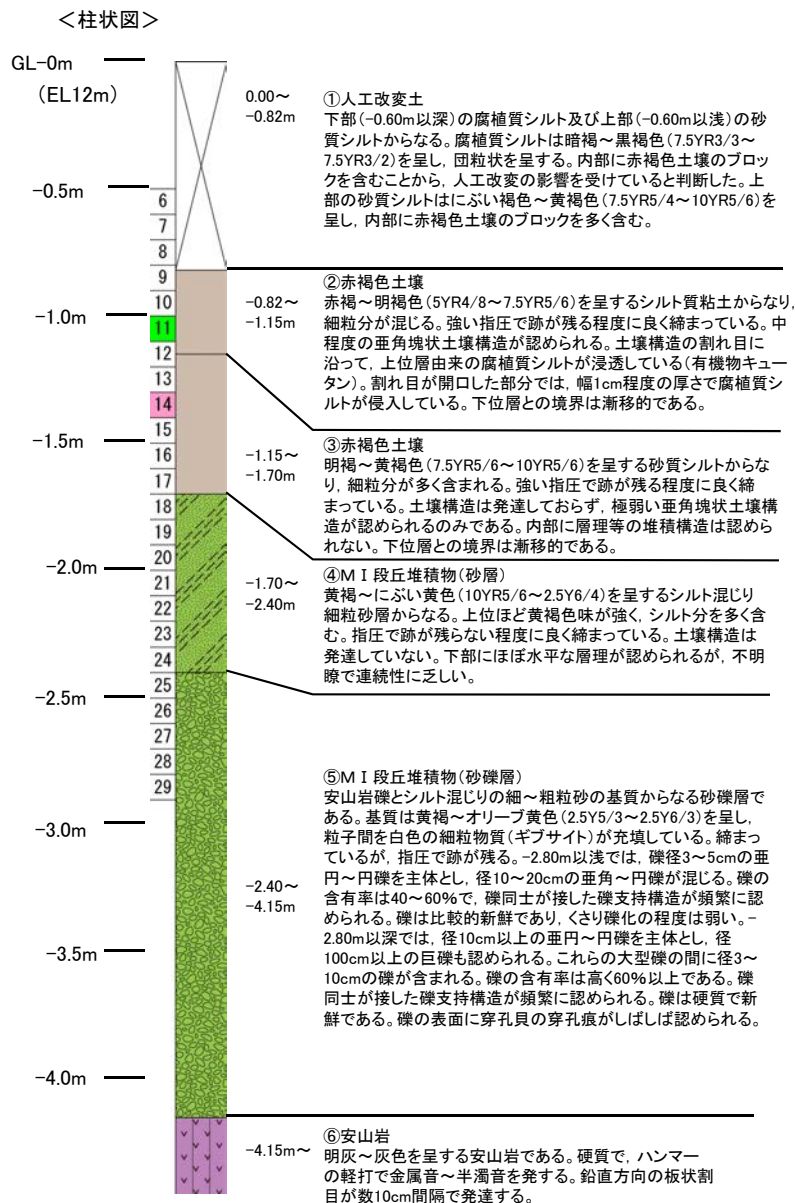
安部屋表土はぎ 測線1 調査結果

・火山灰分析結果については、P.5.1-1-30参照



調査地点遠景

| テフラの年代 (町田・新井, 2011) | |
|-------------------------|------------------|
| AT | 2.8万~3万年前 |
| DKP混在 | DKP: 5.5万年前以前 |
| Aso-4 | Aso-4: 8.5万~9万年前 |
| K-Tz | K-Tz: 9.5万年前 |
| SK | SK: 10.5万年前 |

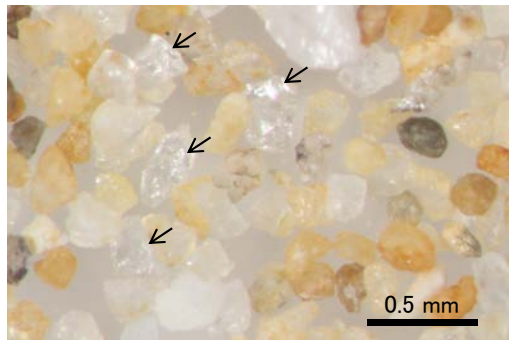


安部屋表土はぎ 測線2 調査結果

- ・M I 段丘堆積物の石英粒子の含有に関する調査結果は次頁を参照。
- ・火山灰分析結果については、P.5.1-1-31参照。

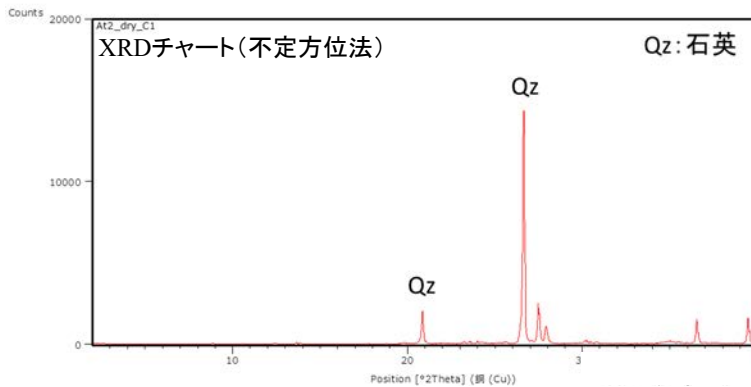
地質調査結果 安部屋表土はぎ③

M I 段丘堆積物(砂層)

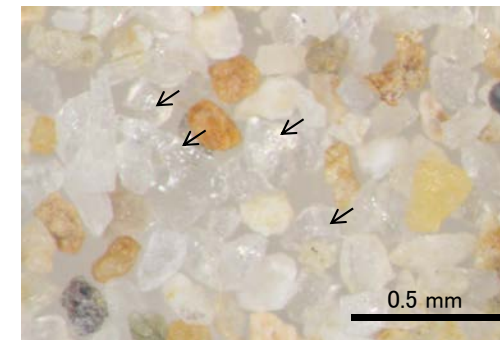


粒径0.1~0.2mm主体の石英粒子を含む。

実体顕微鏡写真 ← 石英粒子の例

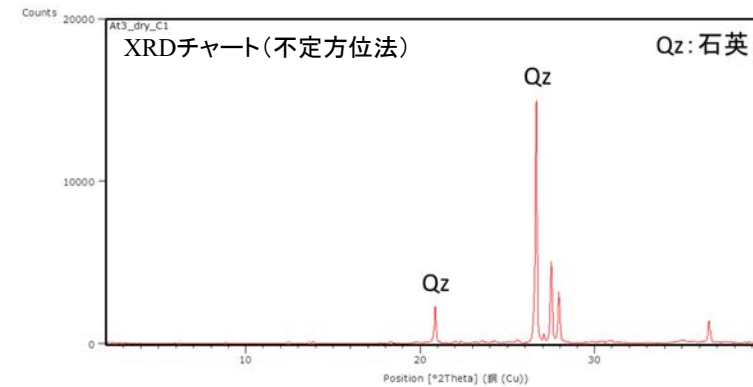


M I 段丘堆積物(砂礫層)



粒径0.1~0.2mm主体の石英粒子を含む。

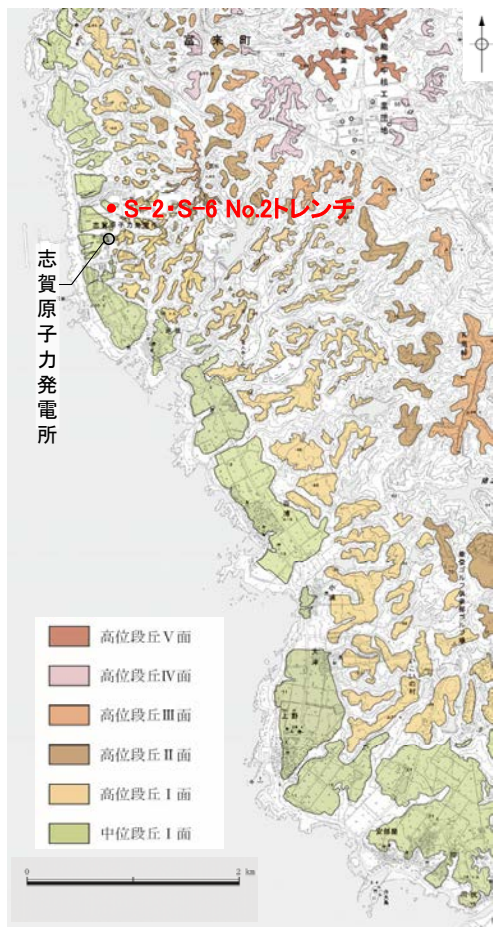
実体顕微鏡写真 ← 石英粒子の例



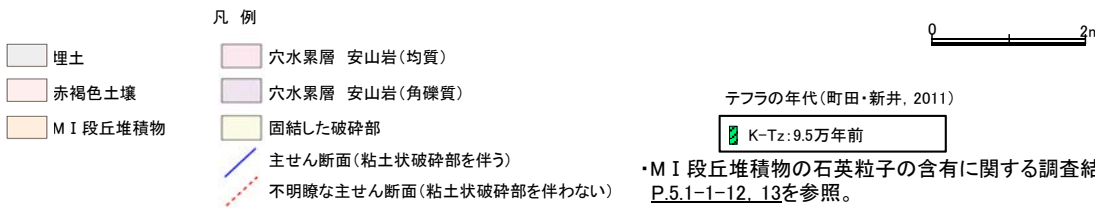
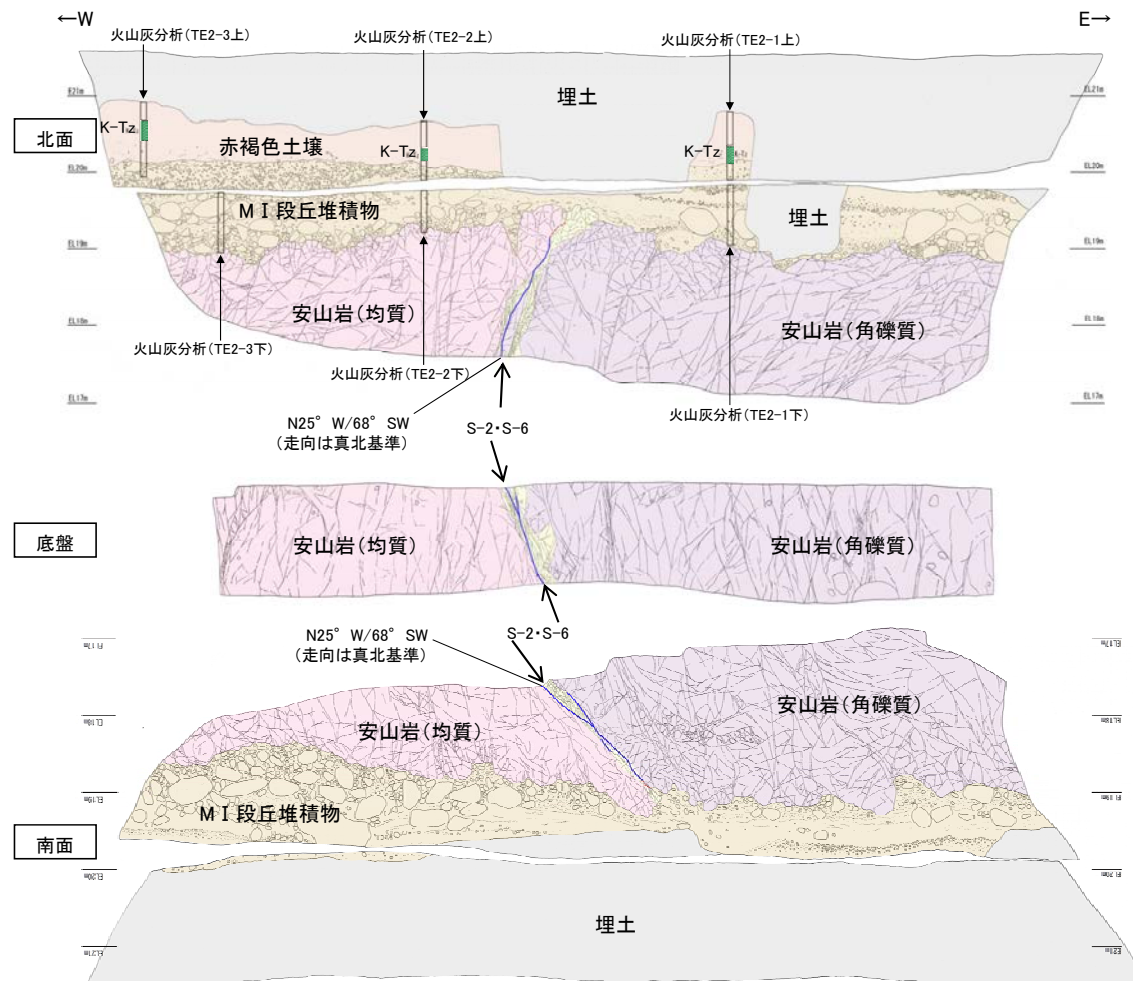
【石英同定方法】

- ・未乾燥試料約20gを供試
- ・乳鉢で軽くほぐした試料に蒸留水を加え、パンニング(わん掛け法)しながら細粒分を少しずつ除去し、粗粒分(ほぼ細粒砂以上)を分離
- ・パンニングの途中で上澄みがほぼ透明になるまで超音波洗浄(30秒, 20kHz)を繰り返し実施
- ・細粒分の除去が終了後、スミアスライド用試料とXRD分析用試料に区分
- ・作成したスミアスライドは実体顕微鏡で観察し、写真を撮影
- ・XRD分析用試料は60°Cで乾燥後、メノウ乳鉢で粉砕し、粉末法により右記の条件で分析

装置名:スペクトリス(株)社(PANalytical)製 PW3040
X線管球:Cu、波長:CuK α , 1.54178 Å
電圧・電流:40kV・50mA
測定角度・測定速度:2~40°, 2° /分
サンプリング幅:0.02°
スリット条件:DS:AS:RS=15 mm:15 mm:0.2mm
※DS(発散スリット), AS(散乱防止スリット), RS(受光スリット)



調査位置図



赤褐色土壌

- ・色調5YR4/8及び7.5YR5/6, ごく一部でトラ斑が認められる。
- ・シルト質粘土からなる。よく締まっており, 中程度の亜角塊状土壌構造が認められる。

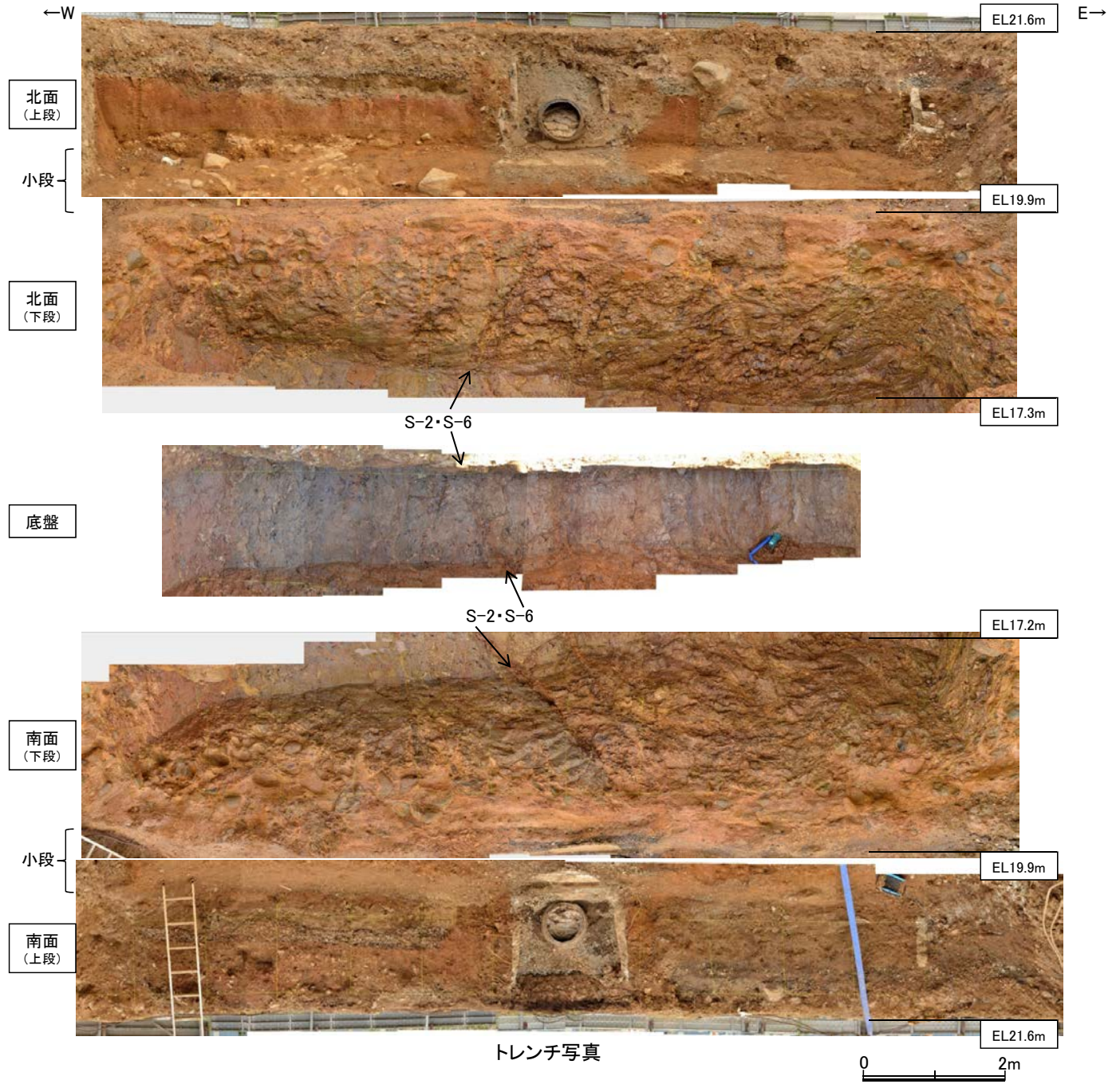
MI段丘堆積物

- ・砂礫層からなり, 色調は7.5YR5/8~10YR5/8で, 基質はシルト質中~粗粒砂であり, 径5~20cmの安山岩歪円~亜角礫を25~50%含む。また, 最大80cmの礫がわずかに混じる。上部20~40cm間では, 比較的小さな径(2~8cm程度)の礫を40~60%含む。径5cm以下の礫はくさり礫化が進む。
- ・よく締まっており, 強い指圧でわずかに跡が残る。一部で白色細粒物(ギブサイト)が認められる。
- ・径数mm~10cm以下の礫等からなる層理が複数認められる。

・MI段丘堆積物の石英粒子の含有に関する調査結果は, P.5.1-1-12, 13を参照。
・火山灰分析結果については, P.5.1-1-32参照。

No.2トレンチスケッチ(展開図)

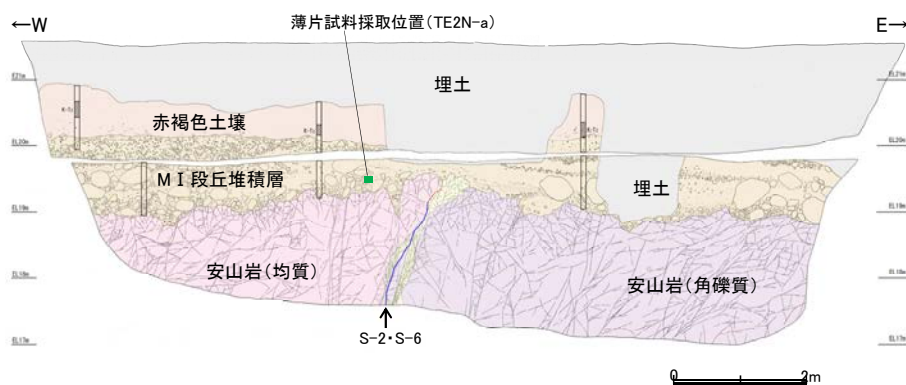
地質調査結果 S-2・S-6 No.2トレンチ②



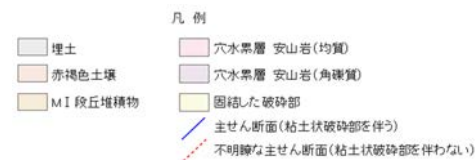
小段 トレンチ状況写真(西側から撮影) 小段

トレンチ写真

【薄片観察】



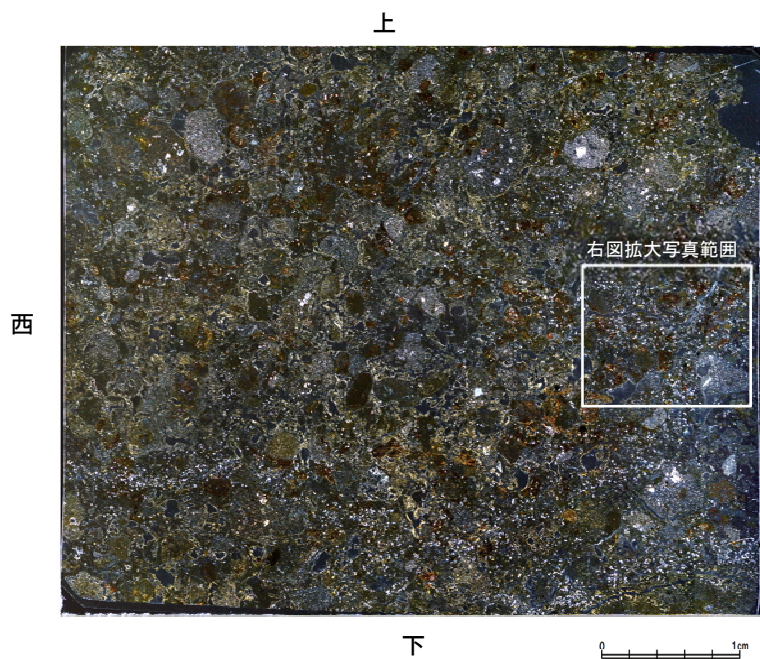
No.2トレンチ 北面スケッチ



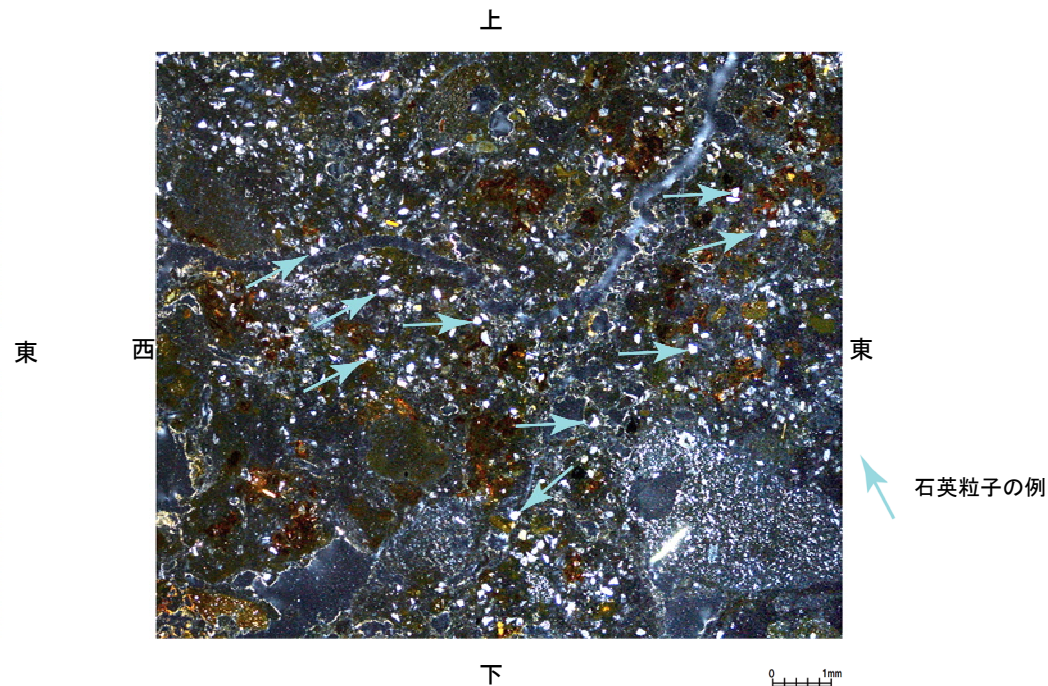
(顕微鏡下における観察結果)※
 拡大写真中の基質中に白く見えるものの大部分が石英で、
 その粒径は0.1~0.2mm主体である。
 その他白く見えるものとして斜長石やカリ長石が含まれる。

※基質中に白く見える粒子の鉱物を定量的に確認するために実施した
 EPMA分析結果については、次頁参照。

*その他の薄片観察写真については、P.5.1-1-44~80参照。



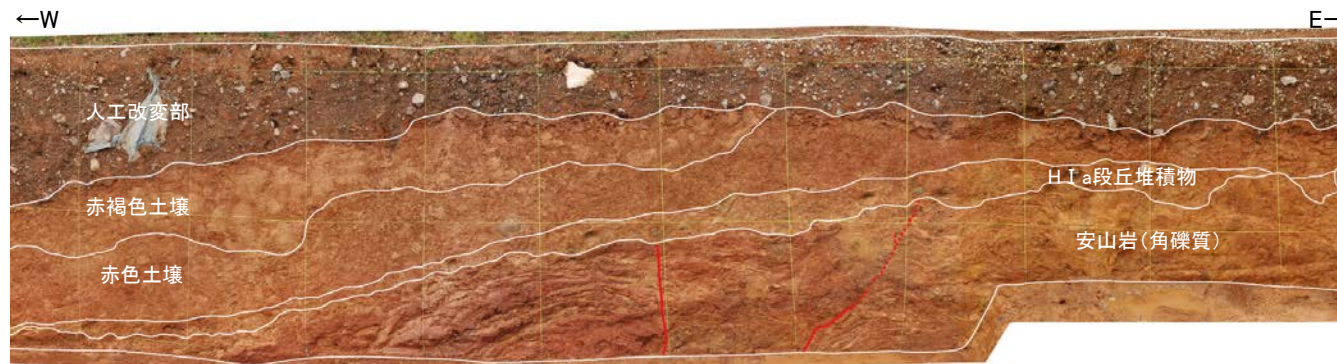
No.2トレンチ薄片例 TE2N-a
 (直交ニコル 東西反転)



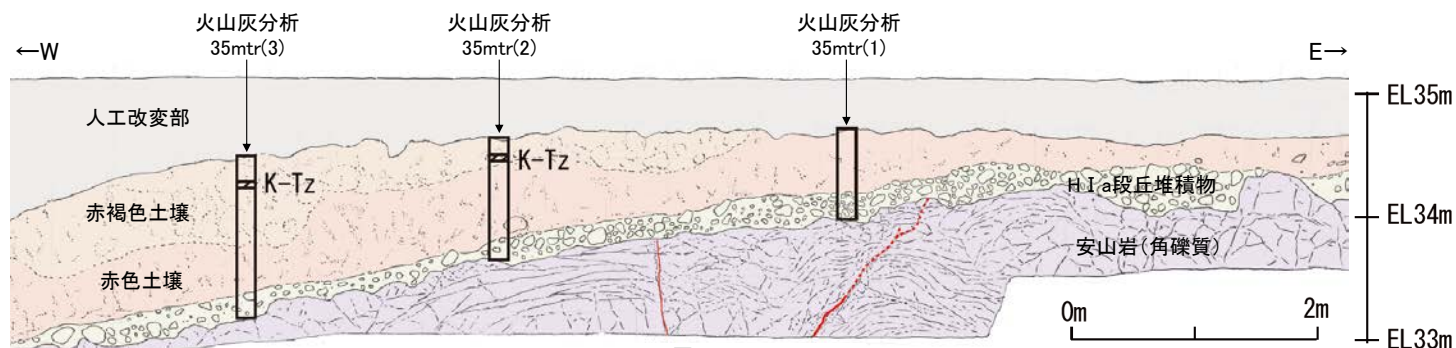
拡大写真



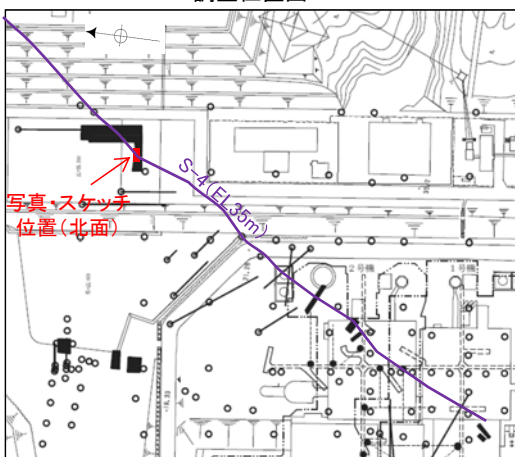
調査位置図



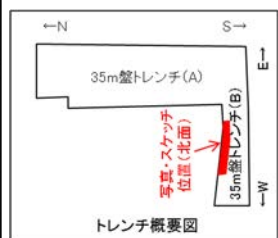
断層 S-4
35m盤トレンチ(B) 北面写真



断層 S-4
N40° W/66° SW N30° E/64° NW (走向は真北基準)
35m盤トレンチ(B) 北面スケッチ



位置図



トレンチ概要図

- 凡例
- 人工改変部
 - 赤褐色土壌
 - 赤色土壌
 - H I a段丘堆積物
 - 穴水累層 安山岩(角礫質)
 - 主せん断面
 - 不明瞭な主せん断面

- H I a段丘堆積物の石英粒子の含有に関する調査結果は次頁, 次々頁を参照。
- 火山灰分析結果については, P.5.1-1-34参照。
- 赤色土壌の遊離酸化鉄分析結果については, P.5.1-1-82参照。

赤褐色土壌

- 色調5YR4/6~7.5YR5/8, 弱いトラ斑を伴う。
- 中程度の角塊~垂角塊状土壌構造が認められる。

赤色土壌

- 色調5YR4/6~7.5YR5/8, トラ斑を伴う。
 - 中程度の角塊状土壌構造が認められる。
- (トラ斑を伴う赤色土壌は, 松井・加藤(1965), 成瀬(1974), 阿部ほか(1985), Nagatsuka, S. and Maejima, Y. (2001), 赤木ほか(2003)等によれば, 下末吉期の温暖な気候下で形成されたと考えられ, いずれも高位段丘を識別する重要な特徴とされている。)

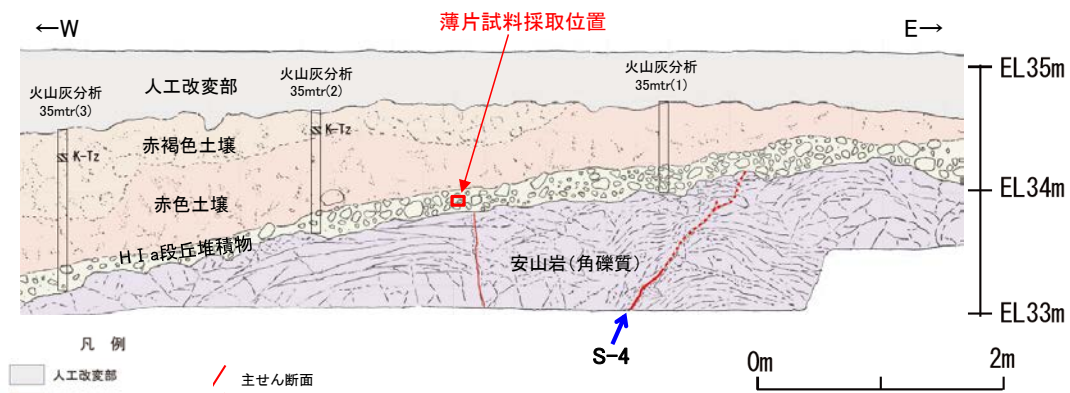
H I a段丘堆積物

- 砂礫層からなる。基質はシルト質細砂であり, 礫は垂円~垂角礫を主体とし, 円礫も混じる。
- 礫は半くさり化している。

【薄片観察】

テフラの年代(町田・新井, 2011)

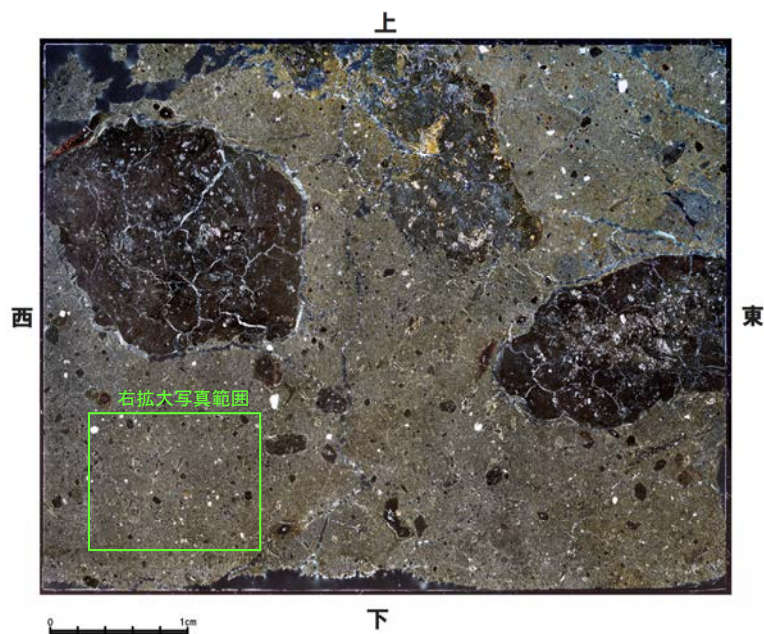
K-Tz: 9.5万年前



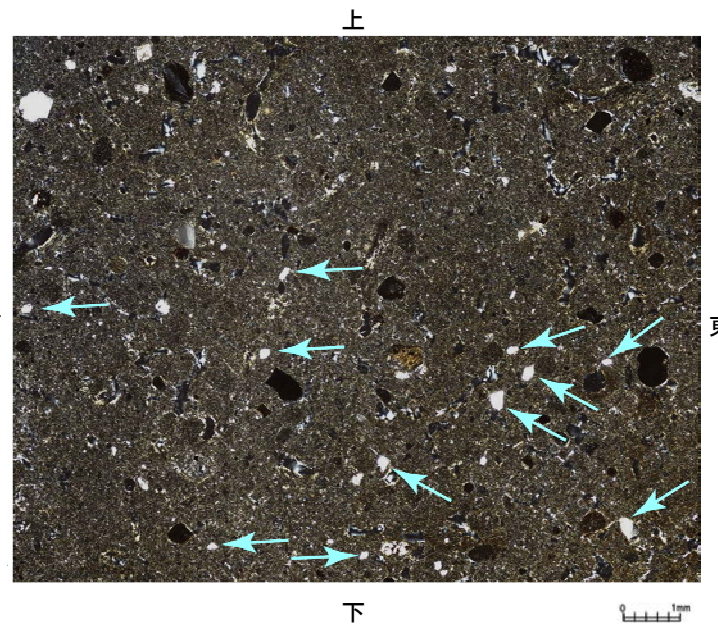
35m盤トレンチ(B) 北面スケッチ

※基質中に白く見える粒子の鉱物を定量的に確認するために実施したEPMA分析結果については、次頁参照。

(顕微鏡下における観察結果)※
拡大写真中の基質中に白く見えるものの大部分が石英で、その粒径は0.1~0.2mm主体である。その他白く見えるものとしてカリ長石が含まれる。



薄片写真(直交ニコル 東西反転)



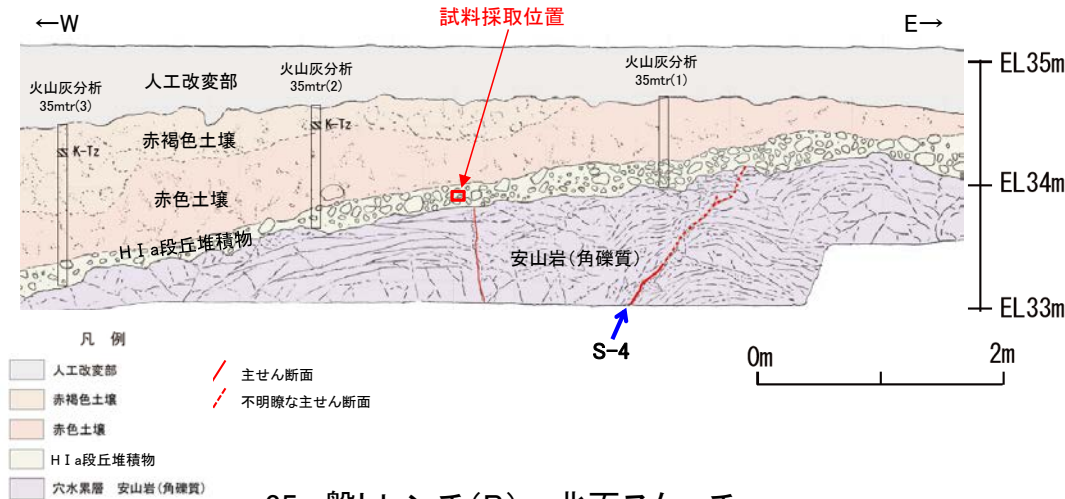
← 石英粒子の例

拡大写真

【EPMA分析】

テフラの年代(町田・新井, 2011)

K-Tz: 9.5万年前



35m盤トレンチ(B) 北面スケッチ

EPMA分析結果(50粒子)

| | 鉱物名 | | | 合計 |
|----|------|-----|------|-------|
| | 石英 | 斜長石 | カリ長石 | |
| 個数 | 46 | 0 | 4 | 50 |
| % | 92.0 | 0.0 | 8.0 | 100.0 |

(EPMA分析結果)

○EPMA分析の結果、基質中に白く見える粒子は、石英を主体とし、その他の鉱物としてカリ長石を含むことが定量的に確認され、顕微鏡下の薄片による観察結果と整合する。

EPMA分析結果(100%ノーマライズデータ)

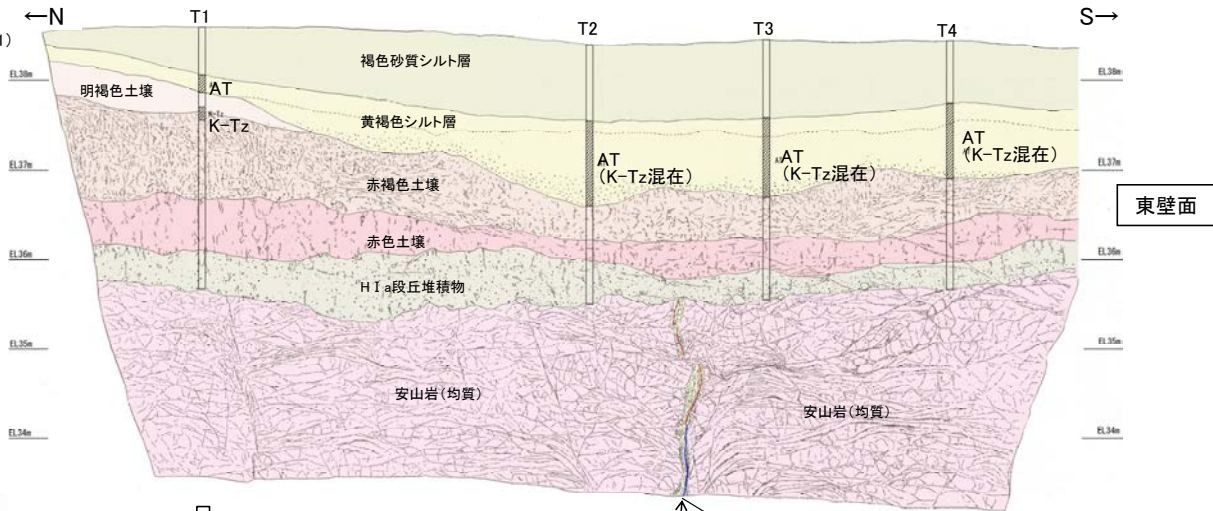
| 鉱物名 | (wt.%) | | | | | | | | | |
|-----|--------|------|-------|------|------|------|------|------|-------|--------|
| | SiO2 | TiO2 | Al2O3 | FeO | MnO | MgO | CaO | Na2O | K2O | Total |
| Qz | 99.80 | 0.01 | 0.05 | 0.13 | 0.00 | 0.00 | 0.00 | 0.00 | 0.00 | 100.00 |
| Qz | 99.03 | 0.01 | 0.58 | 0.13 | 0.00 | 0.00 | 0.08 | 0.04 | 0.13 | 100.00 |
| Qz | 99.85 | 0.02 | 0.02 | 0.09 | 0.01 | 0.00 | 0.00 | 0.00 | 0.00 | 100.00 |
| Qz | 99.78 | 0.00 | 0.08 | 0.07 | 0.02 | 0.00 | 0.01 | 0.01 | 0.03 | 100.00 |
| Qz | 99.85 | 0.02 | 0.03 | 0.08 | 0.00 | 0.00 | 0.00 | 0.01 | 0.00 | 100.00 |
| Qz | 99.94 | 0.00 | 0.03 | 0.02 | 0.00 | 0.01 | 0.00 | 0.00 | 0.00 | 100.00 |
| Qz | 99.88 | 0.00 | 0.03 | 0.08 | 0.00 | 0.01 | 0.01 | 0.00 | 0.00 | 100.00 |
| Qz | 99.85 | 0.00 | 0.05 | 0.05 | 0.00 | 0.02 | 0.01 | 0.01 | 0.01 | 100.00 |
| Qz | 99.79 | 0.01 | 0.06 | 0.09 | 0.00 | 0.00 | 0.01 | 0.02 | 0.01 | 100.00 |
| Qz | 97.47 | 0.18 | 1.32 | 0.19 | 0.00 | 0.01 | 0.02 | 0.49 | 0.31 | 100.00 |
| Qz | 99.93 | 0.00 | 0.03 | 0.04 | 0.00 | 0.00 | 0.00 | 0.00 | 0.00 | 100.00 |
| Qz | 99.81 | 0.03 | 0.06 | 0.09 | 0.00 | 0.00 | 0.00 | 0.00 | 0.01 | 100.00 |
| Qz | 99.90 | 0.00 | 0.03 | 0.06 | 0.00 | 0.00 | 0.01 | 0.00 | 0.01 | 100.00 |
| Qz | 99.84 | 0.00 | 0.02 | 0.12 | 0.00 | 0.00 | 0.00 | 0.01 | 0.01 | 100.00 |
| Qz | 99.77 | 0.02 | 0.02 | 0.15 | 0.01 | 0.01 | 0.01 | 0.01 | 0.00 | 100.00 |
| Qz | 99.91 | 0.02 | 0.05 | 0.01 | 0.00 | 0.00 | 0.00 | 0.00 | 0.00 | 100.00 |
| Qz | 99.85 | 0.01 | 0.06 | 0.05 | 0.01 | 0.01 | 0.01 | 0.00 | 0.00 | 100.00 |
| Qz | 99.85 | 0.01 | 0.03 | 0.09 | 0.00 | 0.00 | 0.00 | 0.00 | 0.00 | 100.00 |
| Qz | 99.92 | 0.01 | 0.04 | 0.02 | 0.00 | 0.00 | 0.00 | 0.00 | 0.01 | 100.00 |
| Kf | 65.74 | 0.02 | 17.66 | 0.04 | 0.00 | 0.00 | 0.01 | 0.82 | 15.72 | 100.00 |
| Qz | 99.74 | 0.02 | 0.07 | 0.11 | 0.00 | 0.04 | 0.00 | 0.01 | 0.01 | 100.00 |
| Qz | 99.89 | 0.01 | 0.02 | 0.06 | 0.00 | 0.00 | 0.01 | 0.01 | 0.00 | 100.00 |
| Qz | 99.85 | 0.01 | 0.02 | 0.08 | 0.01 | 0.00 | 0.01 | 0.01 | 0.01 | 100.00 |
| Qz | 99.86 | 0.03 | 0.06 | 0.03 | 0.00 | 0.00 | 0.00 | 0.00 | 0.02 | 100.00 |
| Qz | 99.63 | 0.01 | 0.23 | 0.10 | 0.00 | 0.01 | 0.02 | 0.00 | 0.00 | 100.00 |
| Qz | 99.83 | 0.00 | 0.07 | 0.07 | 0.00 | 0.01 | 0.01 | 0.00 | 0.01 | 100.00 |
| Qz | 99.90 | 0.01 | 0.05 | 0.05 | 0.00 | 0.00 | 0.00 | 0.00 | 0.00 | 100.00 |
| Qz | 99.82 | 0.03 | 0.03 | 0.10 | 0.00 | 0.00 | 0.00 | 0.01 | 0.00 | 100.00 |
| Qz | 99.93 | 0.01 | 0.02 | 0.04 | 0.00 | 0.00 | 0.00 | 0.00 | 0.00 | 100.00 |
| Kf | 65.77 | 0.01 | 17.79 | 0.09 | 0.00 | 0.00 | 0.00 | 0.72 | 15.62 | 100.00 |
| Qz | 99.94 | 0.01 | 0.03 | 0.02 | 0.00 | 0.00 | 0.01 | 0.00 | 0.00 | 100.00 |
| Qz | 99.92 | 0.03 | 0.02 | 0.02 | 0.01 | 0.01 | 0.00 | 0.00 | 0.00 | 100.00 |
| Kf | 65.16 | 0.02 | 17.80 | 0.09 | 0.00 | 0.00 | 0.00 | 0.58 | 16.36 | 100.00 |
| Kf | 65.45 | 0.02 | 17.73 | 0.07 | 0.01 | 0.00 | 0.03 | 0.60 | 16.10 | 100.00 |
| Qz | 99.88 | 0.00 | 0.07 | 0.04 | 0.00 | 0.00 | 0.00 | 0.01 | 0.00 | 100.00 |
| Qz | 99.90 | 0.00 | 0.04 | 0.04 | 0.00 | 0.00 | 0.01 | 0.00 | 0.00 | 100.00 |
| Qz | 99.88 | 0.00 | 0.07 | 0.02 | 0.00 | 0.00 | 0.01 | 0.01 | 0.00 | 100.00 |
| Qz | 99.88 | 0.02 | 0.03 | 0.05 | 0.00 | 0.01 | 0.00 | 0.00 | 0.01 | 100.00 |
| Qz | 99.83 | 0.04 | 0.07 | 0.06 | 0.00 | 0.00 | 0.00 | 0.00 | 0.00 | 100.00 |
| Qz | 99.84 | 0.01 | 0.05 | 0.05 | 0.00 | 0.01 | 0.01 | 0.02 | 0.01 | 100.00 |
| Qz | 99.94 | 0.01 | 0.03 | 0.01 | 0.01 | 0.00 | 0.00 | 0.00 | 0.00 | 100.00 |
| Qz | 99.61 | 0.00 | 0.22 | 0.09 | 0.00 | 0.01 | 0.03 | 0.02 | 0.02 | 100.00 |
| Qz | 99.82 | 0.09 | 0.03 | 0.03 | 0.00 | 0.00 | 0.00 | 0.00 | 0.02 | 100.00 |
| Qz | 99.93 | 0.00 | 0.01 | 0.04 | 0.01 | 0.00 | 0.00 | 0.00 | 0.01 | 100.00 |
| Qz | 99.75 | 0.01 | 0.20 | 0.04 | 0.00 | 0.00 | 0.00 | 0.00 | 0.00 | 100.00 |
| Qz | 99.81 | 0.00 | 0.03 | 0.08 | 0.00 | 0.00 | 0.04 | 0.01 | 0.02 | 100.00 |
| Qz | 99.16 | 0.01 | 0.64 | 0.10 | 0.01 | 0.02 | 0.01 | 0.01 | 0.05 | 100.00 |
| Qz | 98.76 | 0.01 | 0.43 | 0.64 | 0.00 | 0.14 | 0.00 | 0.00 | 0.01 | 100.00 |
| Qz | 99.81 | 0.04 | 0.02 | 0.09 | 0.00 | 0.00 | 0.02 | 0.00 | 0.01 | 100.00 |
| Qz | 99.80 | 0.03 | 0.05 | 0.11 | 0.00 | 0.00 | 0.01 | 0.00 | 0.00 | 100.00 |

Qz : 石英, Kf : カリ長石

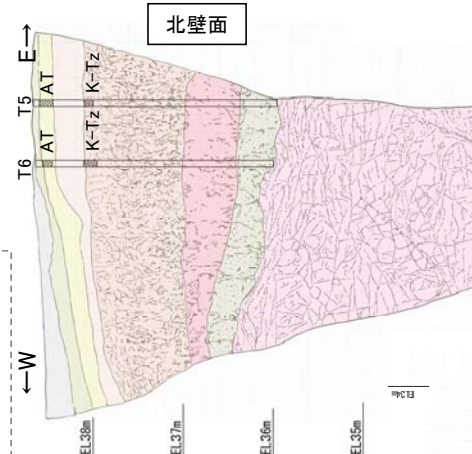


調査位置図

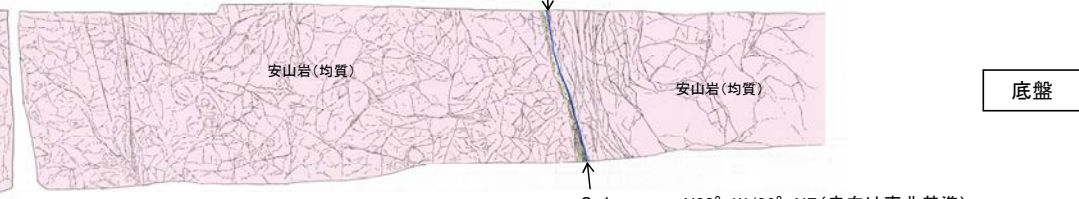
テフラの年代(町田・新井, 2011)
AT: 2.8万~3万年前
K-Tz: 9.5万年前



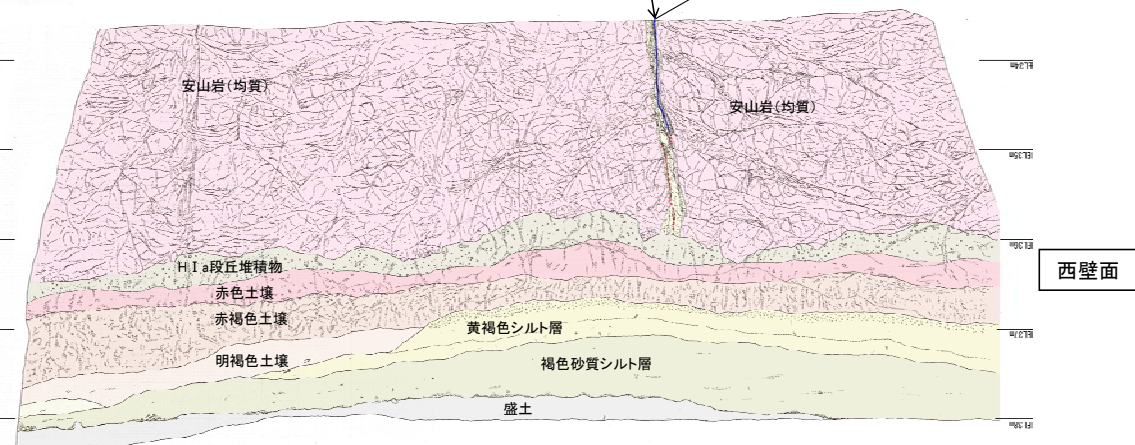
東壁面



北壁面



底盤



西壁面

- 盛土
- 褐色砂質シルト層
- 黄褐色シルト層
- 明褐色土壌
- 赤褐色土壌
- 赤色土壌
- H I a段丘堆積物
- 穴水累層 安山岩(均質)
- 固結した破砕部
- 主せん断面(粘土状破砕部を伴う)
- 不明瞭な主せん断面(粘土状破砕部を伴わない)

- 褐色砂質シルト層**
・色調5YR4/6~7.5YR5/4。
- 黄褐色シルト層**
・色調10YR5/6~7.5YR5/4。
- 明褐色土壌**
・色調7.5YR5/6~4/6。
- 赤褐色土壌**
・色調5YR4/8~2.5YR4/6(赤褐色部), 7.5YR5/3~10YR5/4(淡色部)。
・明瞭なトラ斑あり。赤褐色部と淡色部の割合は同程度。
- 赤色土壌**
・色調2.5YR4/8~10R4/6(赤色部), 7.5YR5/3~10YR5/4(淡色部)。
・トラ斑あり。赤色部が卓越し、淡色部は少ない。
(トラ斑を伴う赤色土壌は、松井・加藤(1965), 成瀬(1974), 阿部ほか(1985), Nagatsuka, S. and Maejima, Y. (2001), 赤木ほか(2003)等によれば、下末吉期の温暖な気候下で形成されたと考えられ、いずれも高位段丘を識別する重要な特徴とされている。)
- H I a段丘堆積物**
・シルト質砂礫層。
・基質はシルト質な細~中粒砂。
・径0.5~5cmの垂角~垂円礫を5~10%含む。
・礫は安山岩くさり礫からなり、軟質である。

えん堤左岸トレンチ スケッチ(展開図)

- ・H I a段丘堆積物の石英粒子の含有に関する調査結果は次々頁を参照。
- ・火山灰分析結果については、P.5.1-1-36参照。
- ・赤色土壌の遊離酸化鉄分析結果については、P.5.1-1-83参照。



東壁面

北壁面

南壁面

S-1

底盤



S-1



西壁面

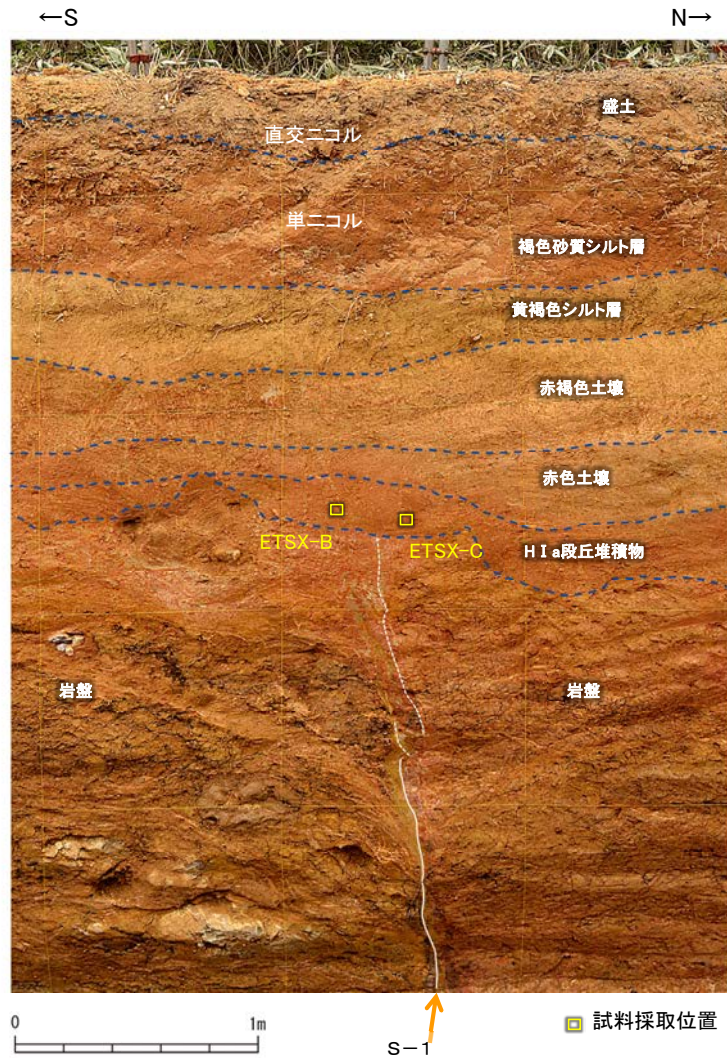


トレンチ写真

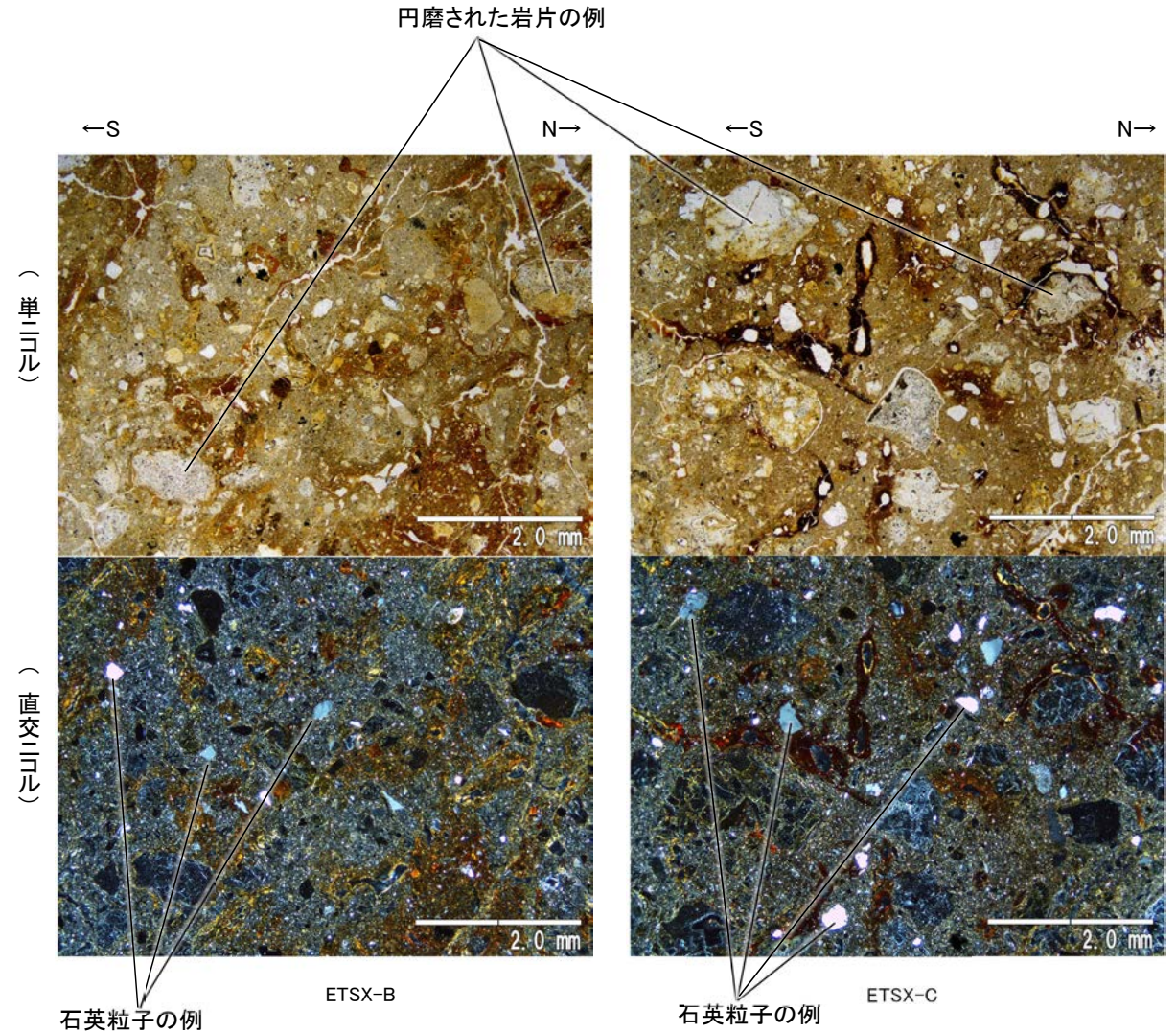


トレンチ状況写真(南側から撮影)

地質調査結果 えん堤左岸トレンチ③



えん堤左岸トレンチ 西壁面写真



薄片写真

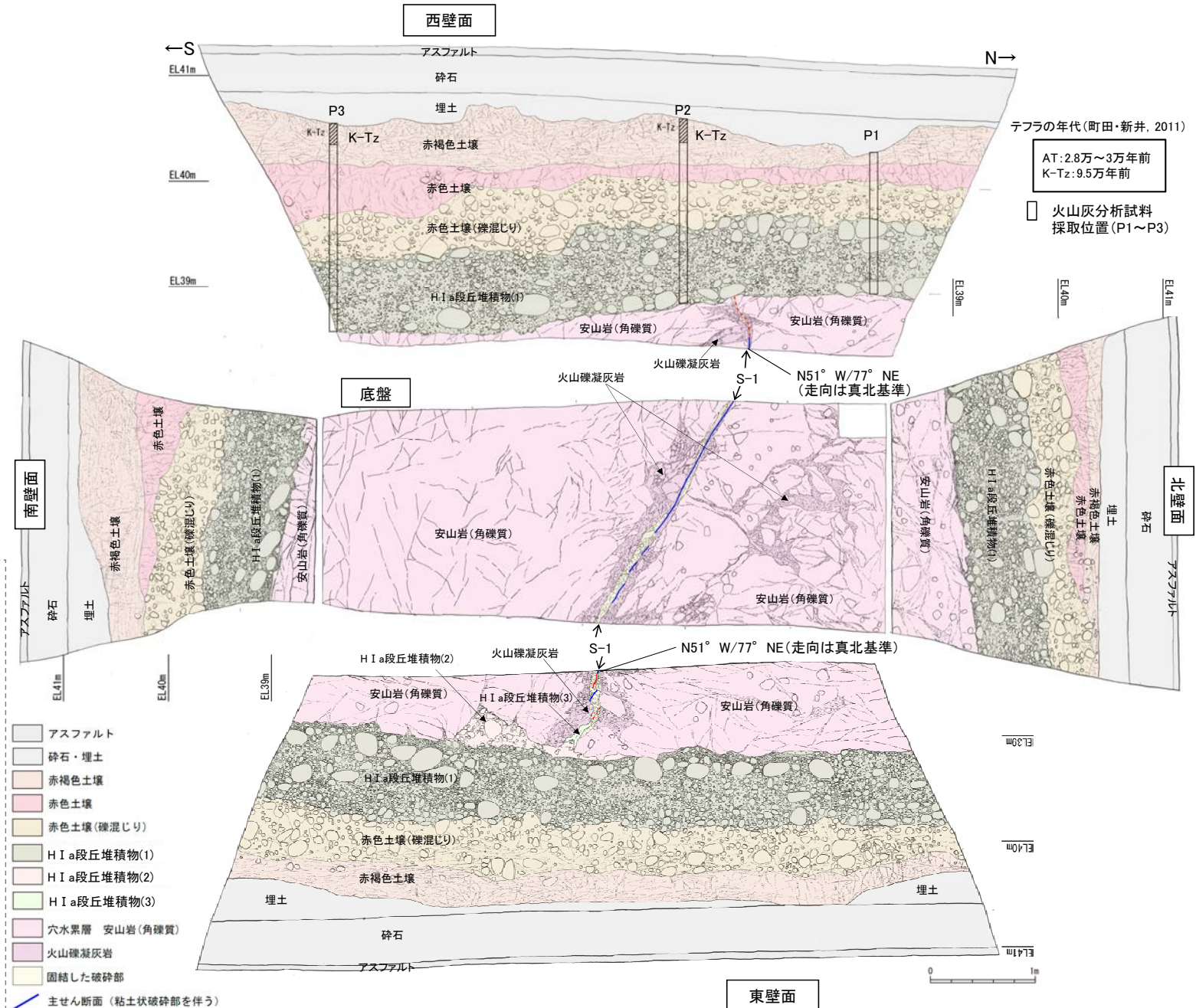
- (特徴)
- ・粒径0.1~0.2mm主体の石英粒子を含む
 - ・円磨された岩片(安山岩, 凝灰岩)を含むことが多い

地質調査結果 駐車場南東方トレンチ①



調査位置図

- 赤褐色土壌**
- ・色調5YR4/6~2.5YR4/6(赤褐色部), 7.5YR5/8(淡色部)。
 - ・水平方向のトラ斑あり。赤褐色部と淡色部の割合は同程度。
- 赤色土壌**
- ・色調5YR4/6~2.5YR4/8(赤色部), 7.5YR5/8(淡色部)。
 - ・トラ斑あり。赤色部が卓越し、淡色部は少ない。
 - ・(トラ斑を伴う赤色土壌は、松井・加藤(1965)、成瀬(1974)、阿部ほか(1985)、Nagatsuka, S. and Maejima, Y. (2001)、赤木ほか(2003)等によれば、下末吉期の温暖な気候下で形成されたと考えられ、いずれも高位段丘を識別する重要な特徴とされている。)
- 赤色土壌(礫混じり)**
- ・基質は砂混じりシルト質粘土。
 - ・色調5YR4/6(赤色部), 7.5YR5/8(淡色部)。
 - ・主に上部にトラ斑あり。
 - ・径3~25cmの安山岩垂円~円礫を20~30%含む。
 - ・径10cm以下の礫は砂粒子とともにくさり礫化し、軟質であり、それ以上の礫は半くさり礫である。
- H I a段丘堆積物(1)**
- ・砂礫層からなり、基質は中~粗粒砂であり、砂粒子の間隙をシルト~粘土分が充填する。
 - ・径2~10cmの安山岩垂円~円礫を50~70%含む、最大40cmの礫が混じる。
 - ・礫は全体に円磨されており、硬質である。
 - ・基質の砂粒子は、一部の礫とともにくさり礫化し、軟質である。
 - ・南壁面において、礫の長軸は西側に傾斜し、西側からの水流を反映するインプリケーションを示す。
- H I a段丘堆積物(2)**
- ・砂礫層からなり、基質はシルト質細~中粒砂である。
 - ・径2~5cmの安山岩垂円~円礫を30~50%含む、最大15cmの礫が混じる。
 - ・礫のほとんどは砂粒子とともにくさり礫化し、軟質である。
- H I a段丘堆積物(3)**
- ・シルト質細~中粒砂からなる。



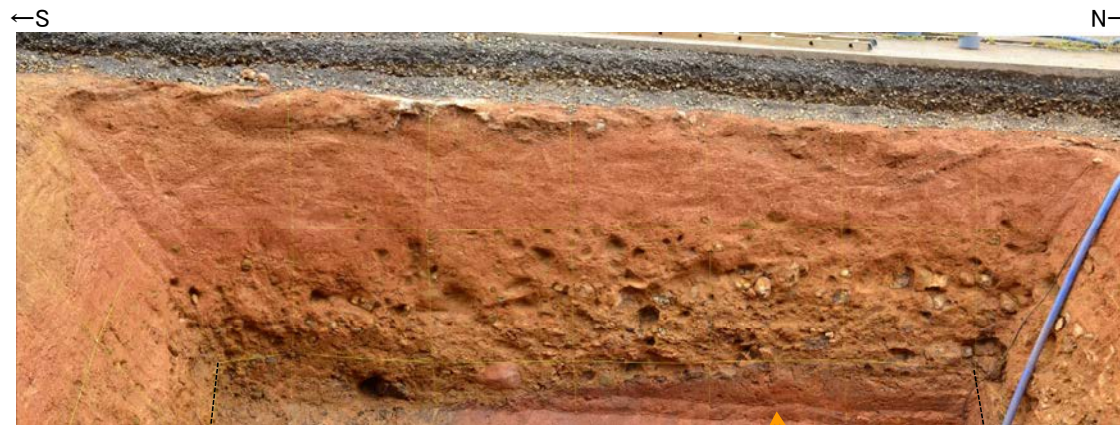
テフラの年代(町田・新井, 2011)

AT: 2.8万~3万年前
K-Tz: 9.5万年前

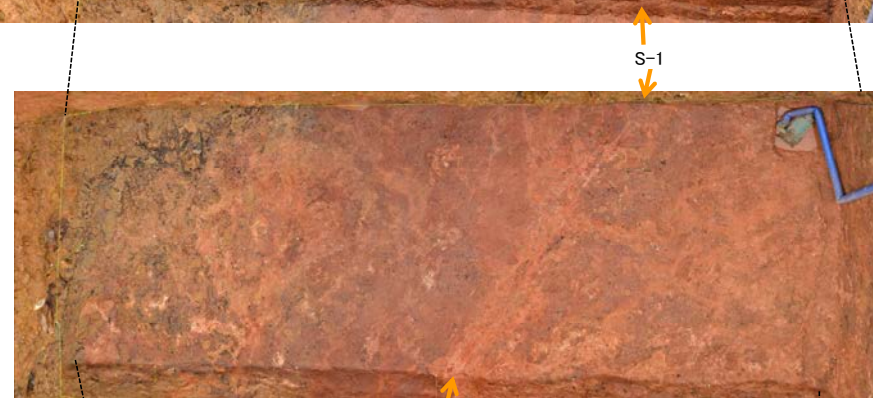
火山灰分析試料採取位置(P1~P3)

駐車場南東方トレンチ スケッチ(展開図)

- ・H I a段丘堆積物の石英粒子の含有に関する調査結果は次頁、次々頁を参照。
- ・火山灰分析結果については、P.5.1-1-38参照。
- ・赤色土壌の遊離酸化鉄分析結果については、P.5.1-1-84参照。



西壁面



底盤



トレンチ状況写真(南西側から撮影)

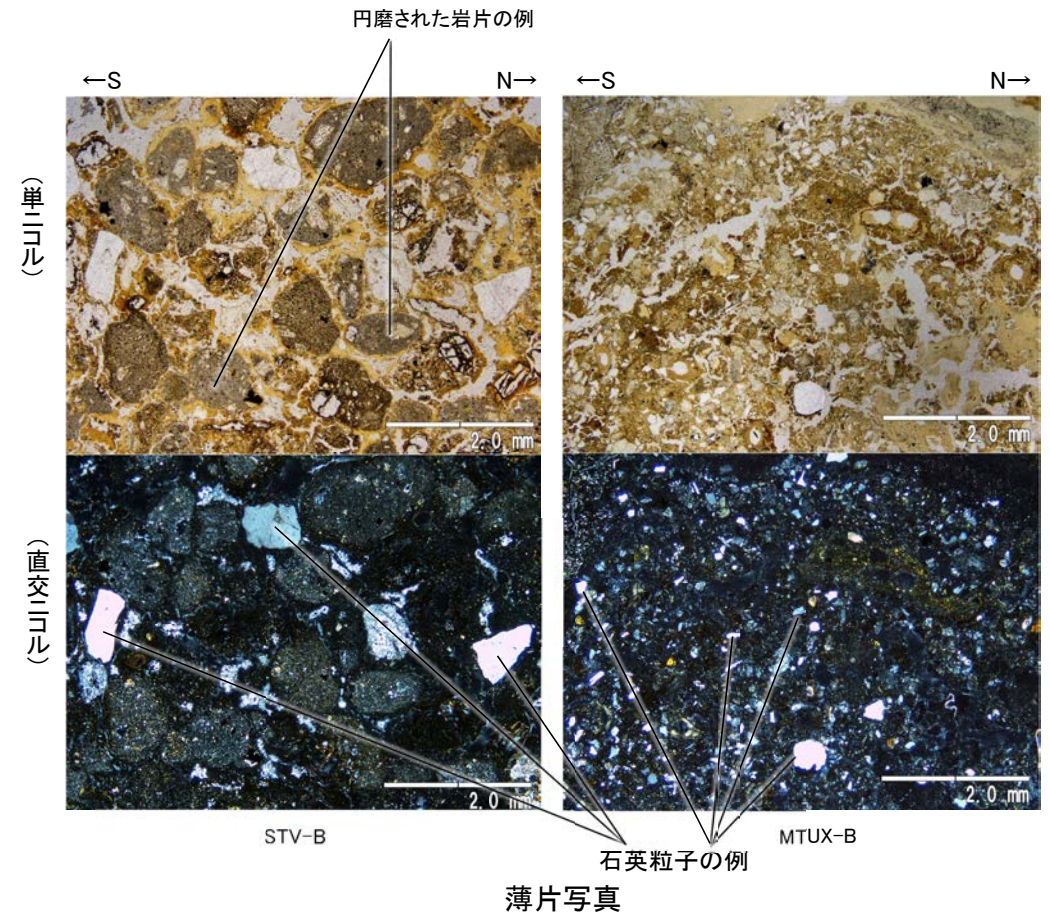
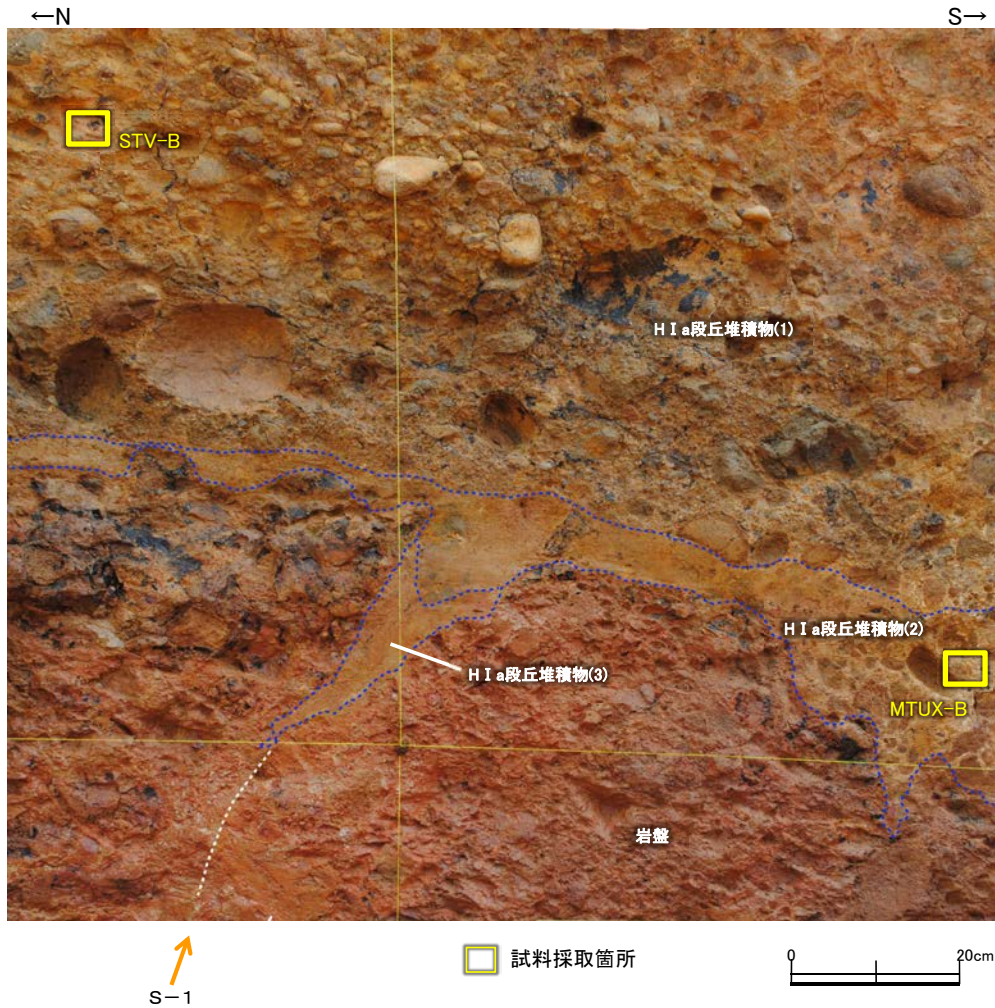


東壁面



トレンチ写真

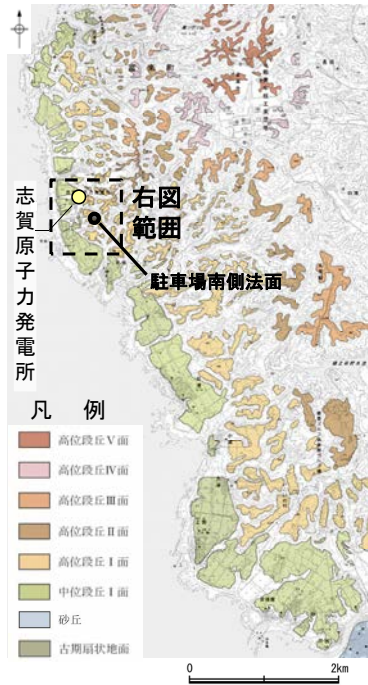
【薄片観察】



駐車場南東方トレンチ東壁面 拡大写真

- (特徴)
- ・粒径0.1~0.8mm主体の石英粒子を含む
 - ・円磨された岩片(安山岩)を含む

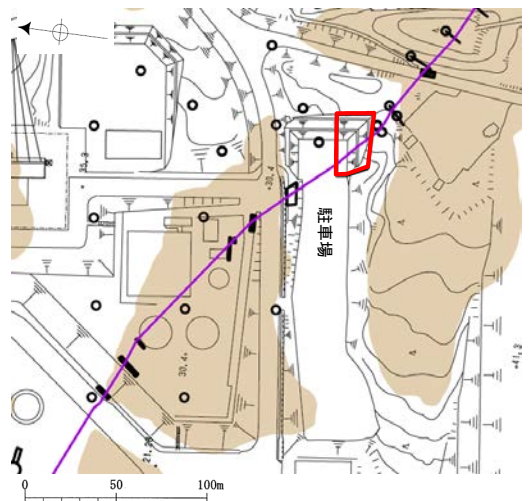
地質調查結果 駐車場南側法面①



位置図

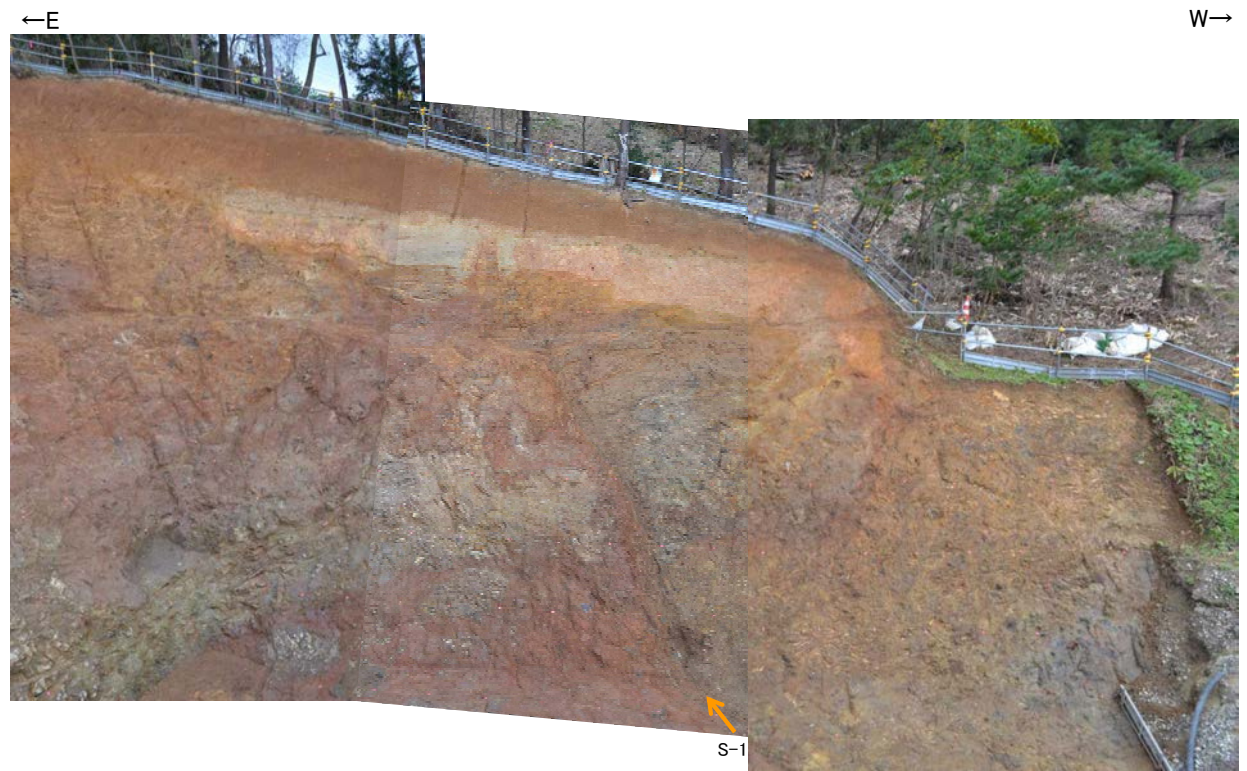


地質調査結果 駐車場南側法面②

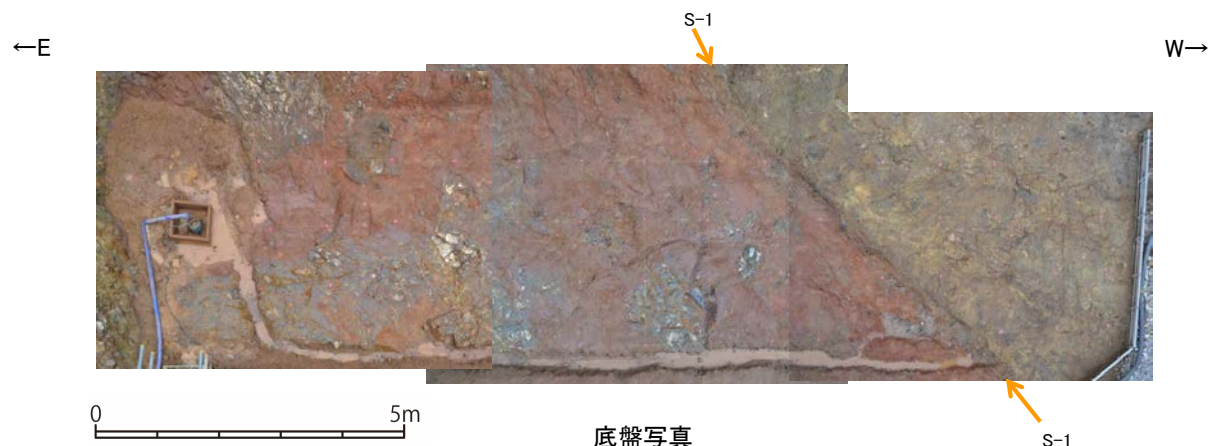


位置図

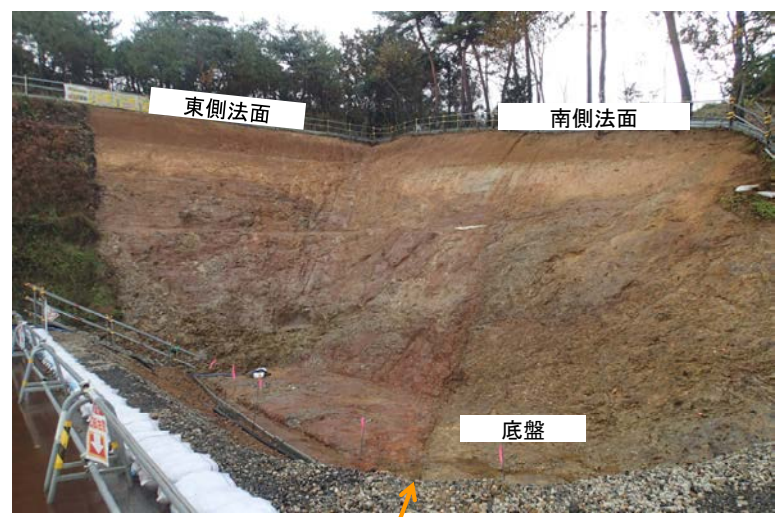
- S-1 (EL28m)
- 高位段丘 I a 面
- 表土はぎ箇所



法面写真(南側法面)

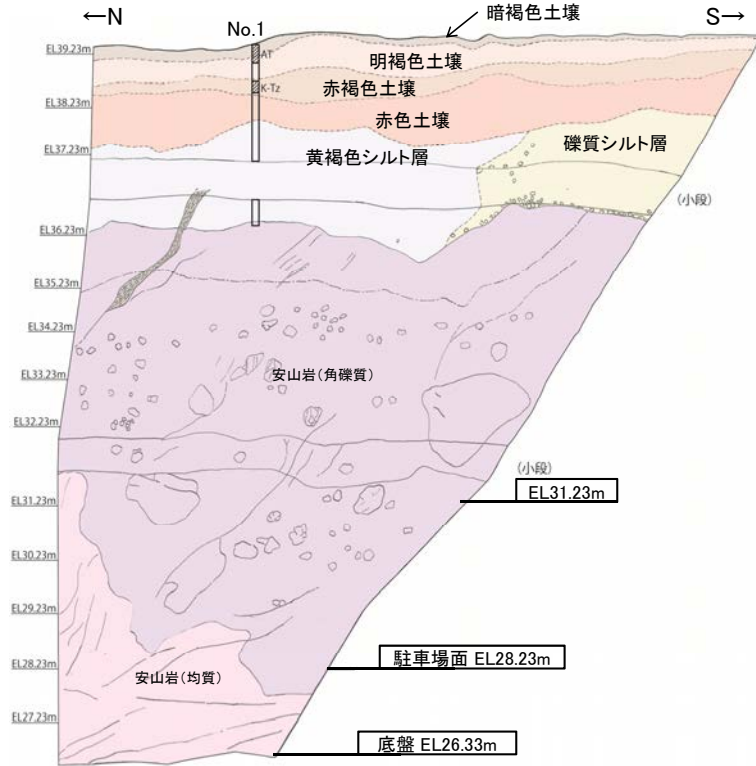


底盤写真

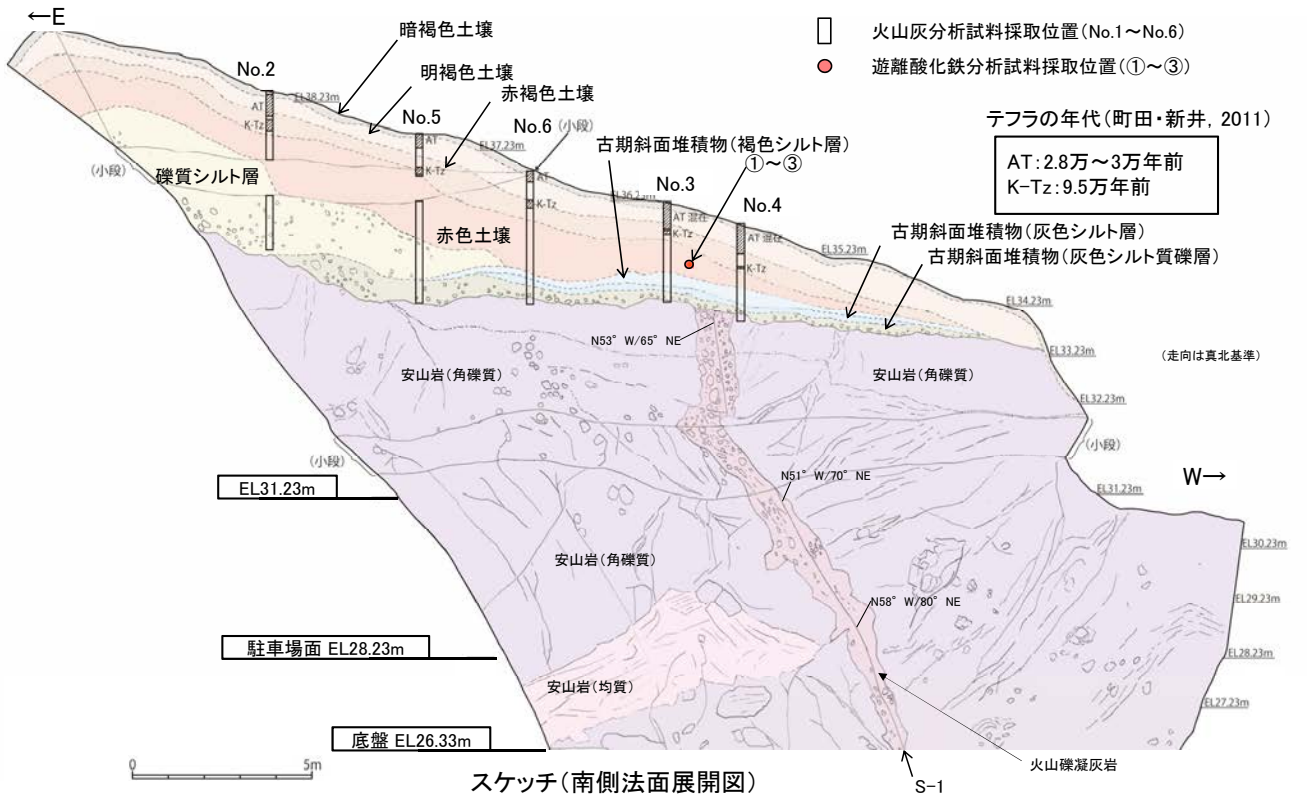


表土はぎ状況写真(北西側から撮影)

地質調査結果 駐車場南側法面③



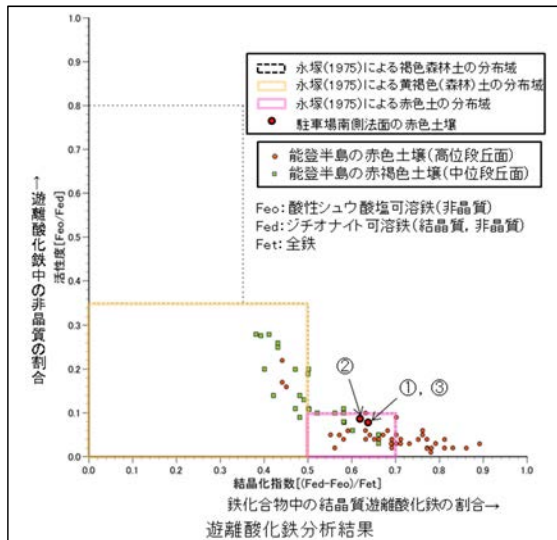
スケッチ(東側法面展開図)



スケッチ(南側法面展開図)

□ 火山灰分析試料採取位置(No.1~No.6)
● 遊離酸化鉄分析試料採取位置(①~③)

テフラの年代(町田・新井, 2011)
AT: 2.8万~3万年前
K-Tz: 9.5万年前



【遊離酸化鉄分析・火山灰分析結果】

- 赤色土壌について実施した遊離酸化鉄分析の結果、能登半島の赤色土壌と同程度である。
- 火山灰分析の結果、主に明褐色土壌中からAT、赤褐色土壌中からK-Tzが認められる。また、斜面下側のNo.3及びNo.4では赤褐色土壌中にAT混在が分布する(P.5.1-1~40参照)。

【露頭観察結果】

- 暗褐色土壌**
 - ・色調7.5YR5/3。
- 明褐色土壌**
 - ・色調7.5YR4/6。
- 赤褐色土壌**
 - ・色調5YR4/8。
 - ・淡いトラ斑あり。
- 赤色土壌**
 - ・色調2.5YR4/6(赤色部)~7.5YR6/4(淡色部)。
 - ・明瞭なトラ斑あり。
 - ・縦方向のクラックが分布する。(トラ斑を伴う赤色土壌は、松井・加藤(1965), 成瀬(1974), 阿部他(1985), Nagatsuka, S. and Maejima, Y. (2001), 赤木他(2003)等によれば、下末吉期の温暖な気候下で形成されたと考えられ、いずれも高位段丘を識別する重要な特徴とされている。)

礫質シルト層

- ・径3~8cm程度の黄灰色歪角~角礫を30%程度含む。

黄褐色シルト層

- ・クラックが発達する。

古期斜面堆積物(褐色シルト層)

- ・クラックが発達し、1~2cmの角礫状に分離する。

古期斜面堆積物(灰色シルト層)

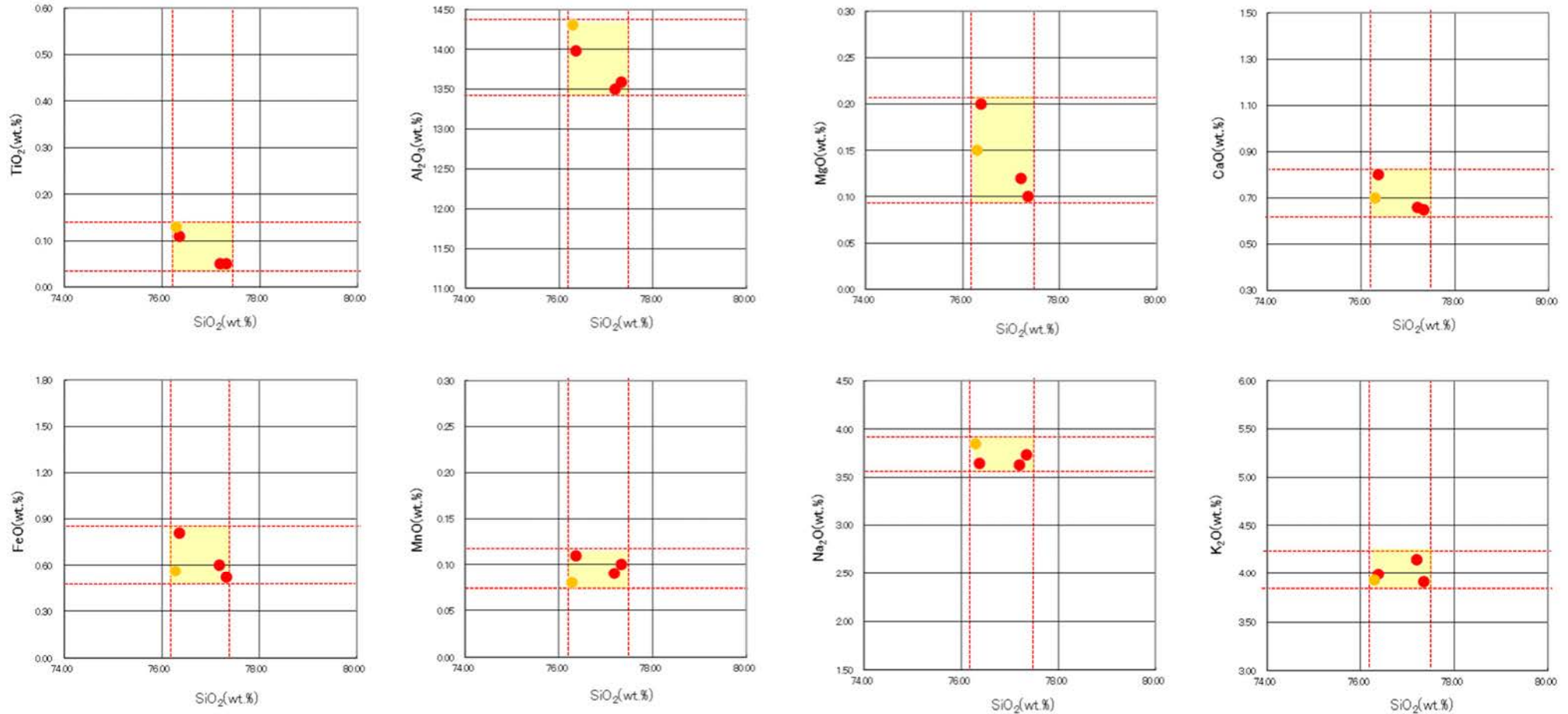
- ・クラックが発達し、1~3cmの角礫状に分離する。

古期斜面堆積物(灰色シルト質礫層)

- ・基底部に径1~10cm程度の円~垂円礫(一部歪角礫)を含む。
- ・礫は安山岩くさり礫からなる。

(2) 火山灰分析結果

○文献によるSKテフラの火山ガラスに関する主成分分析結果を示す。



- 文献によるSKの分布範囲
- 青木・町田(2006)におけるSKに含まれる火山ガラス (採取地:鳥取, 島根, 山形)
- 長橋ほか(2007)におけるSKに含まれる火山ガラス (採取地:島根)

SKの火山ガラスの主成分分析結果

| 試料番号 | テフラ名 | 火山ガラスの 形態別含有量 (/3000粒子) | 重鉱物の含有量 (/3000粒子) | | | β石英 (/3000粒子) | 備考 | 火山ガラスの屈折率 (nd) | | 斜方輝石の屈折率 (γ) | | | 角閃石の屈折率 (n2) | | |
|------|-------|-------------------------------|----------------------|-----|-----|------------------|----|----------------|-------|--------------|-------|-------|--------------|-------|-------|
| | | | Opx | GHo | Cum | | | 1.500 | 1.510 | 1.700 | 1.710 | 1.720 | 1.670 | 1.680 | 1.690 |
| 1 | DKP混在 | | | | | | | | | | | | | | |
| 2 | | | | | | | | | | | | | | | |
| 3 | | | | | | | | | | | | | | | |
| 4 | | | | | | | | | | | | | | | |
| 5 | | | | | | | | | | | | | | | |
| 6 | Aso-4 | | | | | | | | | | | | | | |
| 7 | | | | | | | | | | | | | | | |
| 8 | | | | | | | | | | | | | | | |
| 9 | | | | | | | | | | | | | | | |
| 10 | K-Tz | | | | | | | | | | | | | | |
| 11 | SK | | | | | | | | | | | | | | |
| 12 | | | | | | | | | | | | | | | |
| 13 | | | | | | | | | | | | | | | |
| 14 | | | | | | | | | | | | | | | |
| 15 | | | | | | | | | | | | | | | |
| 16 | | | | | | | | | | | | | | | |
| 17 | | | | | | | | | | | | | | | |
| 18 | | | | | | | | | | | | | | | |
| 19 | | | | | | | | | | | | | | | |
| 20 | | | | | | | | | | | | | | | |
| 21 | | | | | | | | | | | | | | | |
| 22 | | | | | | | | | | | | | | | |
| 23 | | | | | | | | | | | | | | | |
| 24 | | | | | | | | | | | | | | | |
| 25 | | | | | | | | | | | | | | | |

試料は10cm間隔

■ バブルウォール (Bw) タイプ
■ 低堯泡 (O) タイプ

Opx: 斜方輝石
GHo: 緑色普通角閃石
Cum: カンエン角閃石

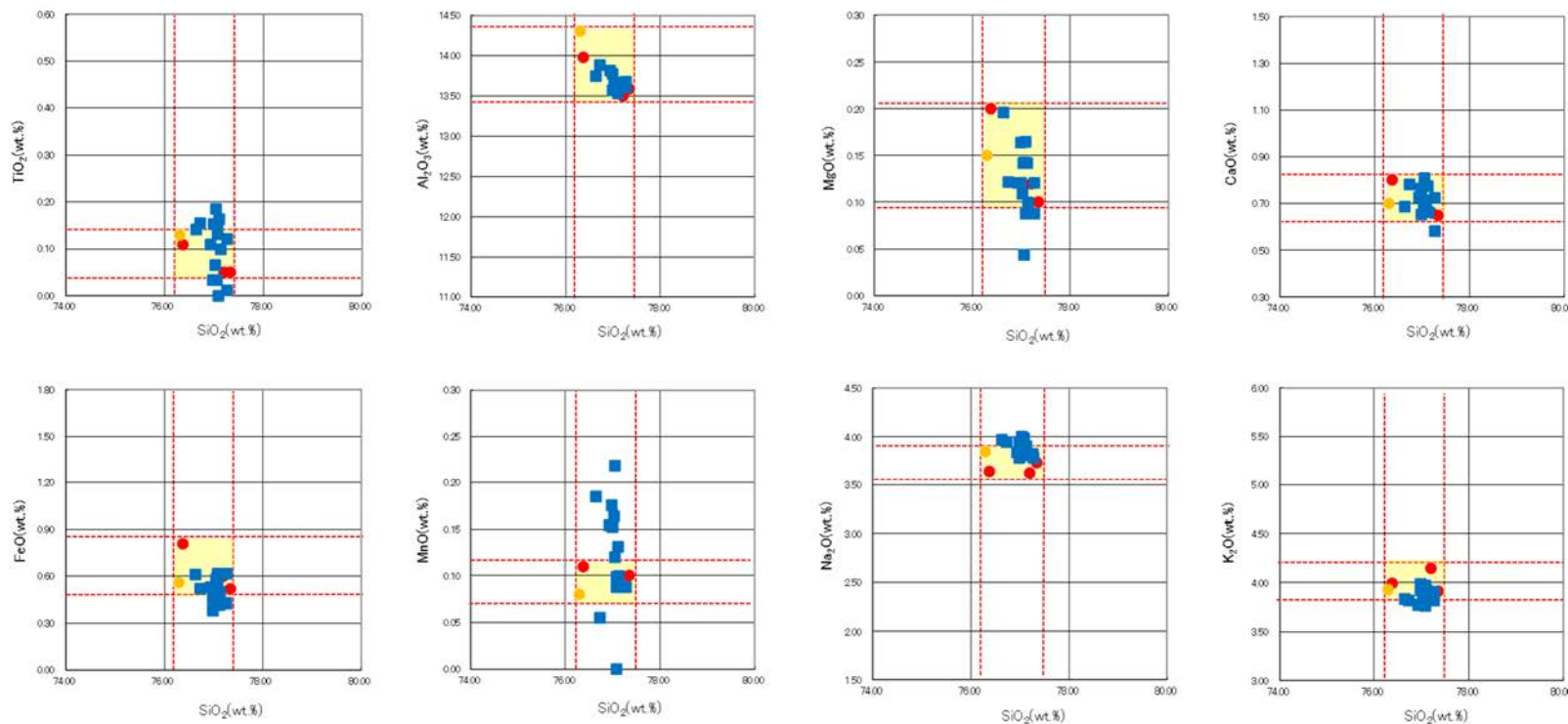
Counting

※K-Tzの降灰層準と認定した箇所よりも
下位に検出されたβ石英は、浸透等によるものと判断。

火山灰確認用ボーリング 火山灰分析結果

【SKの岩石記載的特徴(町田・新井, 2011)】

- ・火山ガラス屈折率 1.494-1.498
- ・黒雲母流紋岩質の降下軽石



■ 文献によるSKの分布範囲

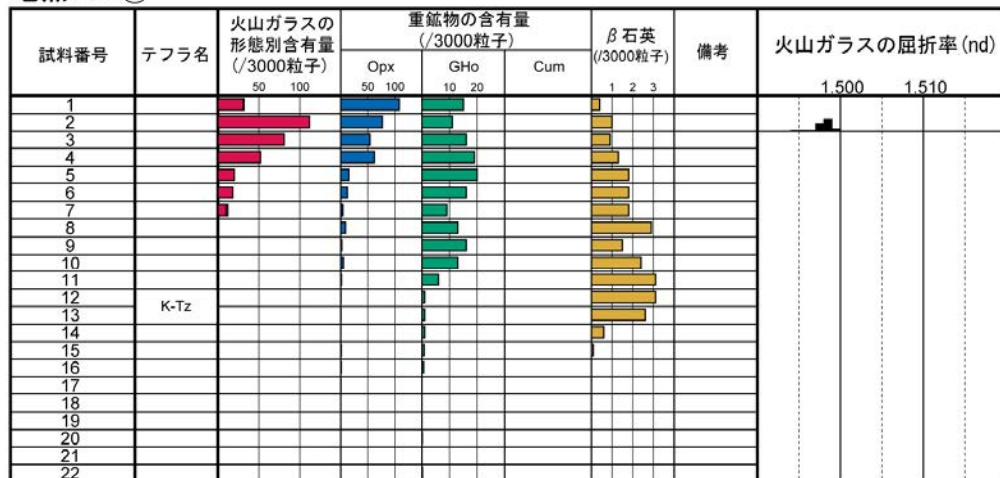
- 試料番号14におけるSKの火山ガラス
- 青木・町田(2006)におけるSKに含まれる火山ガラス
- 長橋ほか(2007)におけるSKに含まれる火山ガラス

火山ガラスの主成分分析結果: 試料番号14

試料採取箇所についてはP.5.1-1-4参照

火山灰分析結果 敷地北方ピット②

地点: SH①



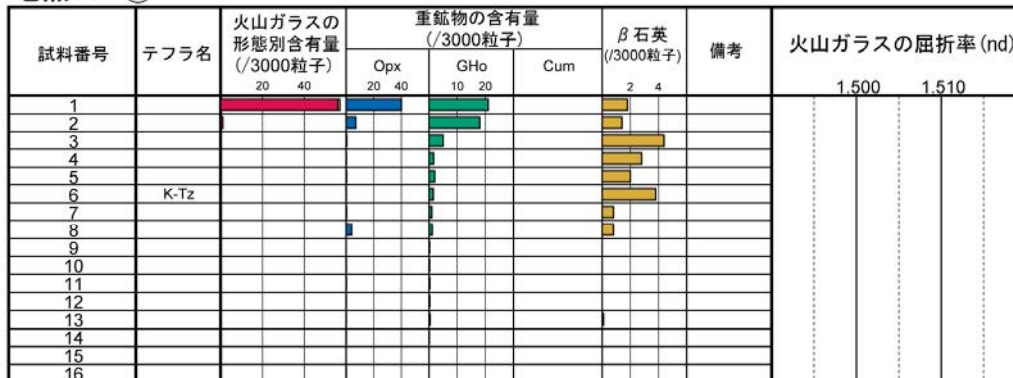
試料は10cm間隔

■ バブルウォール (Bw) タイプ
□ 低発泡 (O) タイプ

Opx: 斜方輝石
GHo: 緑色普通角閃石
Cum: カミングトン閃石



地点: SH③



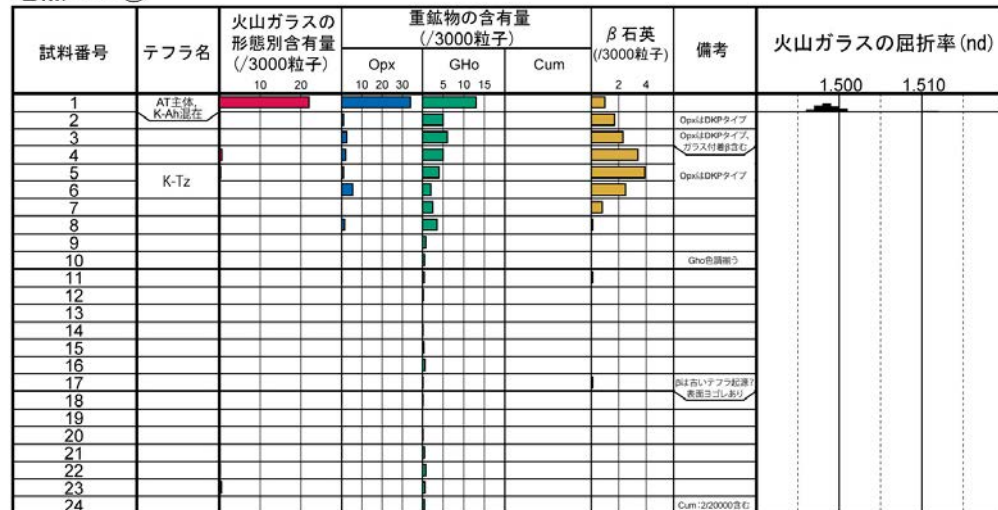
試料は10cm間隔

■ バブルウォール (Bw) タイプ
□ 低発泡 (O) タイプ

Opx: 斜方輝石
GHo: 緑色普通角閃石
Cum: カミングトン閃石



地点: SH②



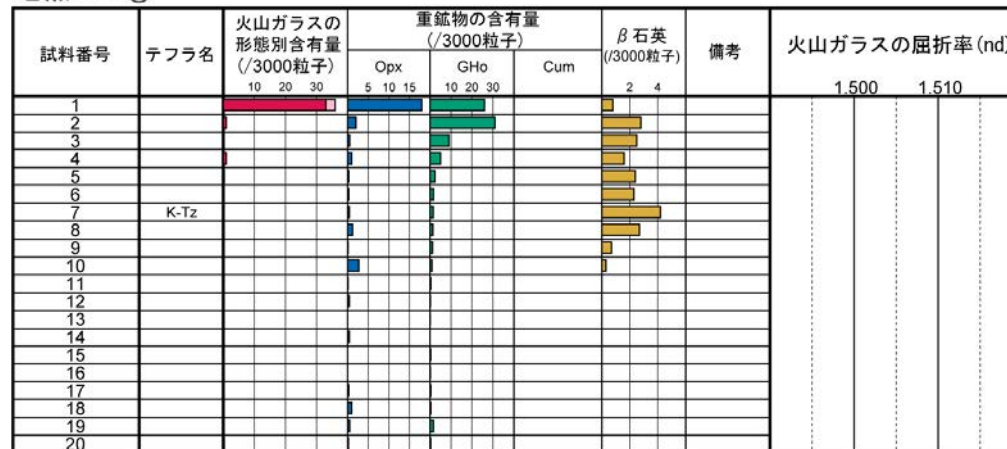
試料は10cm間隔

■ バブルウォール (Bw) タイプ
□ 低発泡 (O) タイプ

Opx: 斜方輝石
GHo: 緑色普通角閃石
Cum: カミングトン閃石



地点: SH④



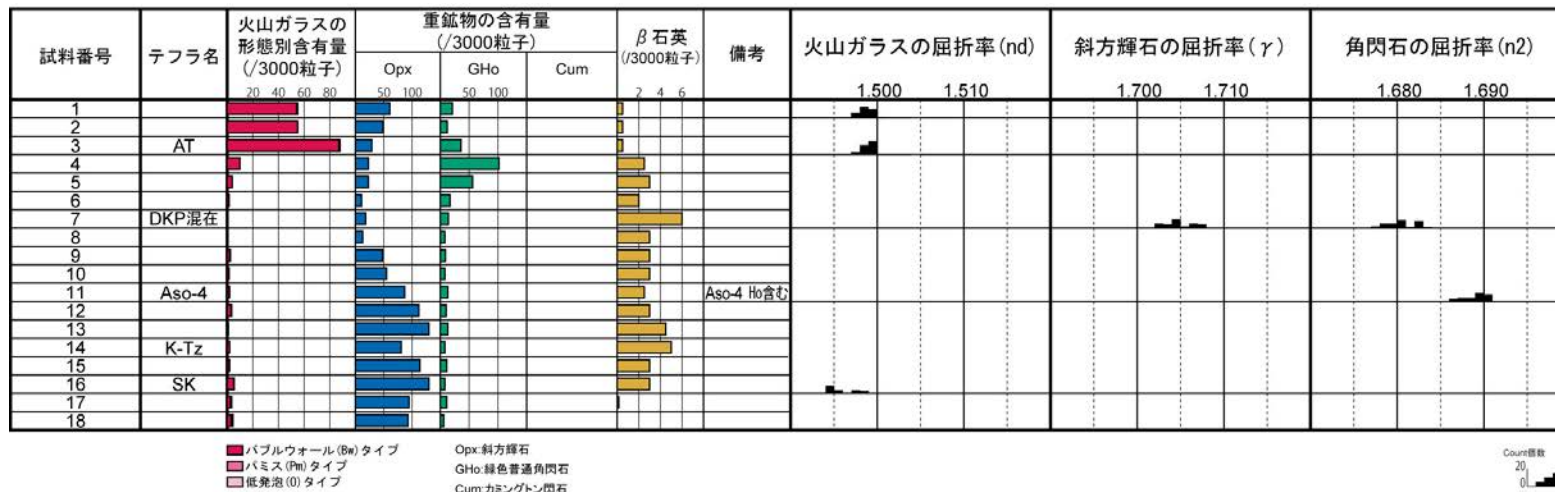
試料は10cm間隔

■ バブルウォール (Bw) タイプ
□ 低発泡 (O) タイプ

Opx: 斜方輝石
GHo: 緑色普通角閃石
Cum: カミングトン閃石

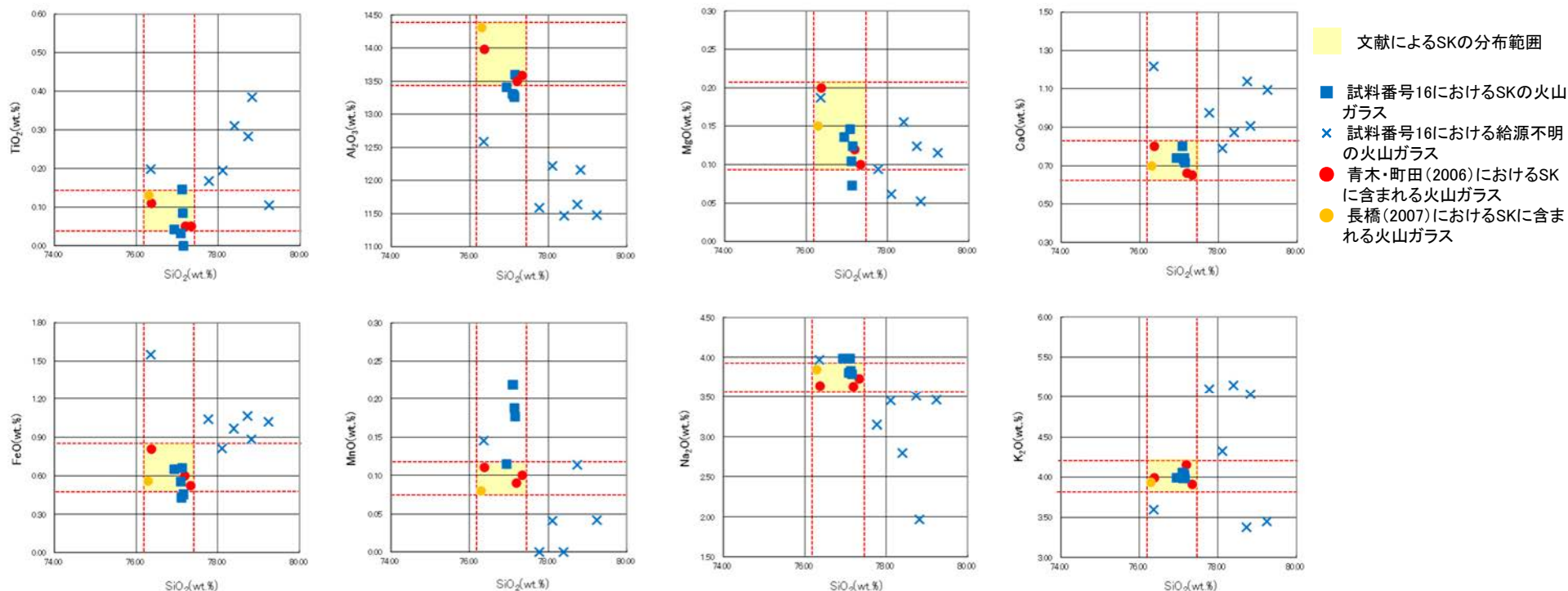


火山灰分析結果 安部屋表土はぎ①



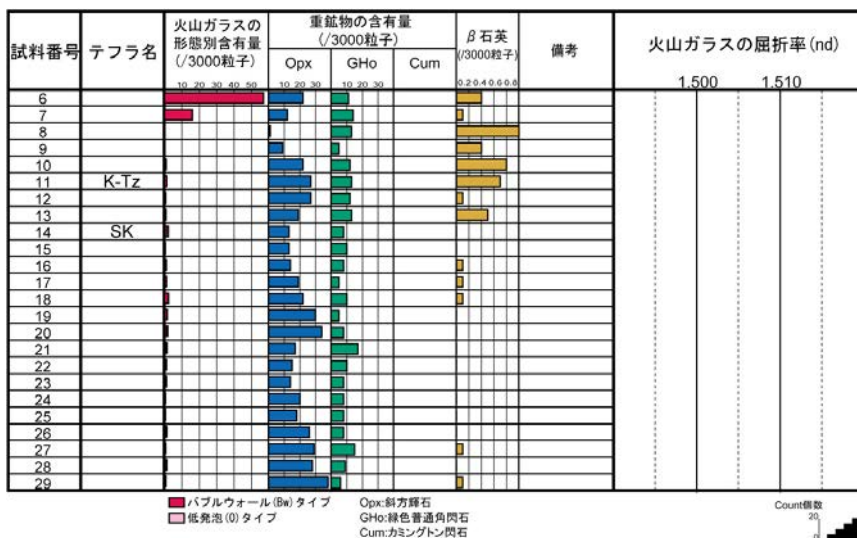
【SKの岩石記載的特徴(町田・新井, 2011)】
 ・火山ガラス屈折率 1.494-1.498
 ・黒雲母流紋岩質の降下軽石

火山灰分析結果(安部屋表土はぎ 測線1)



火山ガラスの主成分分析結果：安部屋表土はぎ 測線1 試料番号16

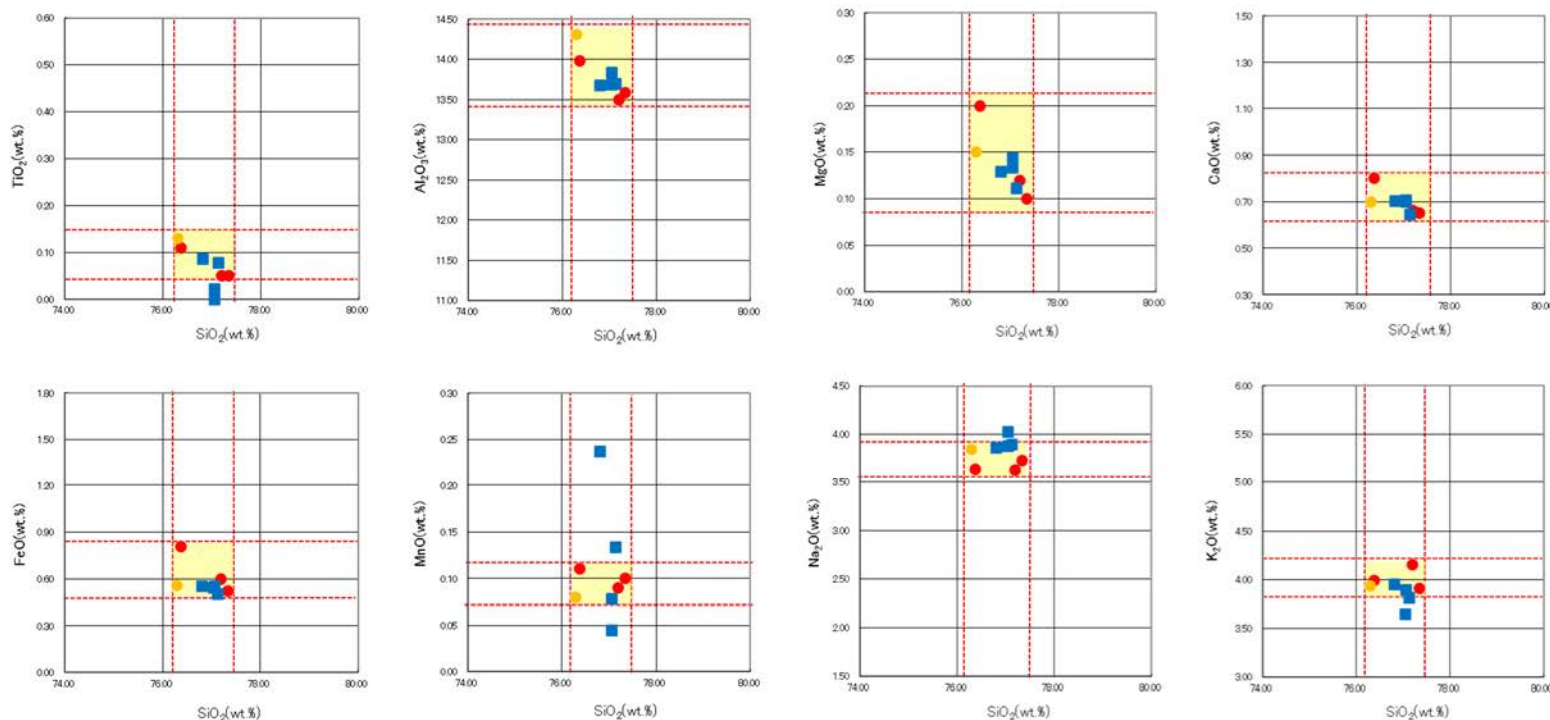
火山灰分析結果 安部屋表土はぎ②



火山灰分析結果 (安部屋表土はぎ 測線2)

【SKの岩石記載的特徴 (町田・新井, 2011)】

- ・火山ガラス屈折率 1.494-1.498
- ・黒雲母流紋岩質の降下軽石



火山ガラスの主成分分析結果 : 安部屋表土はぎ 測線2 試料番号14

試料採取箇所についてはP.5.1-1-8参照

火山灰分析結果 S-2・S-6 No.2トレンチ①

地点: TE2-1上

| 試料番号 | テフラ名 | 火山ガラスの形態別含有量 (/3000粒子) | 重鉱物の含有量 (/3000粒子) | | | β石英 (/3000粒子) | 備考 | 火山ガラスの屈折率 (nd) | | 角閃石の屈折率 (n2) | | |
|------|------|------------------------|-------------------|-------|---------|---------------|----|----------------|-------|--------------|-------|-------|
| | | | Opx | GHo | Cum | | | 1.500 | 1.510 | 1.670 | 1.680 | 1.690 |
| 1 | AT混在 | 50 100 150 | 100 200 | 10 20 | 1 2 3 4 | | | | | | | |
| 2 | | | | | | | | | | | | |
| 3 | | | | | | | | | | | | |
| 4 | | | | | | | | | | | | |
| 5 | | | | | | | | | | | | |
| 6 | | | | | | | | | | | | |
| 7 | K-Tz | 50 100 150 | 100 200 | 10 20 | 1 2 3 4 | | | | | | | |
| 8 | | | | | | | | | | | | |
| 9 | | | | | | | | | | | | |
| 10 | | | | | | | | | | | | |
| 11 | | | | | | | | | | | | |
| 12 | | | | | | | | | | | | |
| 13 | | | | | | | | | | | | |
| 14 | | | | | | | | | | | | |
| 15 | | | | | | | | | | | | |
| 16 | | | | | | | | | | | | |

地点: TE2-1下

| 試料番号 | テフラ名 | 火山ガラスの形態別含有量 (/3000粒子) | 重鉱物の含有量 (/3000粒子) | | | β石英 (/3000粒子) | 備考 | 火山ガラスの屈折率 (nd) | | 角閃石の屈折率 (n2) | | |
|------|------|------------------------|-------------------|-------|---------|---------------|----|----------------|-------|--------------|-------|-------|
| | | | Opx | GHo | Cum | | | 1.500 | 1.510 | 1.670 | 1.680 | 1.690 |
| 1 | | 50 100 150 | 100 200 | 10 20 | 1 2 3 4 | | | | | | | |
| 2 | | | | | | | | | | | | |
| 3 | | | | | | | | | | | | |
| 4 | | | | | | | | | | | | |
| 5 | | | | | | | | | | | | |
| 6 | | | | | | | | | | | | |
| 7 | | | | | | | | | | | | |
| 8 | | | | | | | | | | | | |
| 9 | | | | | | | | | | | | |
| 10 | | | | | | | | | | | | |
| 11 | | | | | | | | | | | | |
| 12 | | | | | | | | | | | | |
| 13 | | | | | | | | | | | | |
| 14 | | | | | | | | | | | | |
| 15 | | | | | | | | | | | | |
| 16 | | | | | | | | | | | | |
| 17 | | | | | | | | | | | | |
| 18 | | | | | | | | | | | | |
| 19 | | | | | | | | | | | | |
| 20 | | | | | | | | | | | | |
| 21 | | | | | | | | | | | | |

試料は5cm間隔 ■ バブルウォール (B) タイプ
Opx: 斜方輝石
GHo: 緑色普通角閃石
Cum: カルシウム角閃石



地点: TE2-2上

| 試料番号 | テフラ名 | 火山ガラスの形態別含有量 (/3000粒子) | 重鉱物の含有量 (/3000粒子) | | | β石英 (/3000粒子) | 備考 | 火山ガラスの屈折率 (nd) | | 角閃石の屈折率 (n2) | | |
|------|------|------------------------|-------------------|-------|---------|---------------|----|----------------|-------|--------------|-------|-------|
| | | | Opx | GHo | Cum | | | 1.500 | 1.510 | 1.670 | 1.680 | 1.690 |
| 1 | AT混在 | 50 100 150 | 100 200 | 10 20 | 1 2 3 4 | | | | | | | |
| 2 | | | | | | | | | | | | |
| 3 | | | | | | | | | | | | |
| 4 | | | | | | | | | | | | |
| 5 | | | | | | | | | | | | |
| 6 | | | | | | | | | | | | |
| 7 | K-Tz | 50 100 150 | 100 200 | 10 20 | 1 2 3 4 | | | | | | | |
| 8 | | | | | | | | | | | | |
| 9 | | | | | | | | | | | | |
| 10 | | | | | | | | | | | | |
| 11 | | | | | | | | | | | | |
| 12 | | | | | | | | | | | | |
| 13 | | | | | | | | | | | | |
| 14 | | | | | | | | | | | | |
| 15 | | | | | | | | | | | | |

地点: TE2-2下

| 試料番号 | テフラ名 | 火山ガラスの形態別含有量 (/3000粒子) | 重鉱物の含有量 (/3000粒子) | | | β石英 (/3000粒子) | 備考 | 火山ガラスの屈折率 (nd) | | 角閃石の屈折率 (n2) | | |
|------|------|------------------------|-------------------|-------|---------|---------------|----|----------------|-------|--------------|-------|-------|
| | | | Opx | GHo | Cum | | | 1.500 | 1.510 | 1.670 | 1.680 | 1.690 |
| 1 | | 50 100 150 | 100 200 | 10 20 | 1 2 3 4 | | | | | | | |
| 2 | | | | | | | | | | | | |
| 3 | | | | | | | | | | | | |
| 4 | | | | | | | | | | | | |
| 5 | | | | | | | | | | | | |
| 6 | | | | | | | | | | | | |
| 7 | | | | | | | | | | | | |
| 8 | | | | | | | | | | | | |
| 9 | | | | | | | | | | | | |
| 10 | | | | | | | | | | | | |
| 11 | | | | | | | | | | | | |
| 12 | | | | | | | | | | | | |
| 13 | | | | | | | | | | | | |
| 14 | | | | | | | | | | | | |

試料は5cm間隔 ■ バブルウォール (B) タイプ
Opx: 斜方輝石
GHo: 緑色普通角閃石
Cum: カルシウム角閃石



地点: TE2-3上

| 試料番号 | テフラ名 | 火山ガラスの形態別含有量 (/3000粒子) | 重鉱物の含有量 (/3000粒子) | | | β石英 (/3000粒子) | 備考 | 火山ガラスの屈折率 (nd) | | 角閃石の屈折率 (n2) | | |
|------|------|------------------------|-------------------|-------------|---------|---------------|----|----------------|-------|--------------|-------|-------|
| | | | Opx | GHo | Cum | | | 1.500 | 1.510 | 1.670 | 1.680 | 1.690 |
| 1 | AT混在 | 50 100 150 | 100 200 | 10 20 30 40 | 1 2 3 4 | | | | | | | |
| 2 | | | | | | | | | | | | |
| 3 | | | | | | | | | | | | |
| 4 | | | | | | | | | | | | |
| 5 | | | | | | | | | | | | |
| 6 | | | | | | | | | | | | |
| 7 | K-Tz | 50 100 150 | 100 200 | 10 20 30 40 | 1 2 3 4 | | | | | | | |
| 8 | | | | | | | | | | | | |
| 9 | | | | | | | | | | | | |
| 10 | | | | | | | | | | | | |
| 11 | | | | | | | | | | | | |
| 12 | | | | | | | | | | | | |
| 13 | | | | | | | | | | | | |
| 14 | | | | | | | | | | | | |
| 15 | | | | | | | | | | | | |
| 16 | | | | | | | | | | | | |
| 17 | | | | | | | | | | | | |
| 18 | | | | | | | | | | | | |

地点: TE2-3下

| 試料番号 | テフラ名 | 火山ガラスの形態別含有量 (/3000粒子) | 重鉱物の含有量 (/3000粒子) | | | β石英 (/3000粒子) | 備考 | 火山ガラスの屈折率 (nd) | | 角閃石の屈折率 (n2) | | |
|------|------|------------------------|-------------------|-------------|---------|---------------|----|----------------|-------|--------------|-------|-------|
| | | | Opx | GHo | Cum | | | 1.500 | 1.510 | 1.670 | 1.680 | 1.690 |
| 1 | | 50 100 150 | 100 200 | 10 20 30 40 | 1 2 3 4 | | | | | | | |
| 2 | | | | | | | | | | | | |
| 3 | | | | | | | | | | | | |
| 4 | | | | | | | | | | | | |
| 5 | | | | | | | | | | | | |
| 6 | | | | | | | | | | | | |
| 7 | | | | | | | | | | | | |
| 8 | | | | | | | | | | | | |
| 9 | | | | | | | | | | | | |
| 10 | | | | | | | | | | | | |
| 11 | | | | | | | | | | | | |
| 12 | | | | | | | | | | | | |
| 13 | | | | | | | | | | | | |
| 14 | | | | | | | | | | | | |
| 15 | | | | | | | | | | | | |
| 16 | | | | | | | | | | | | |
| 17 | | | | | | | | | | | | |

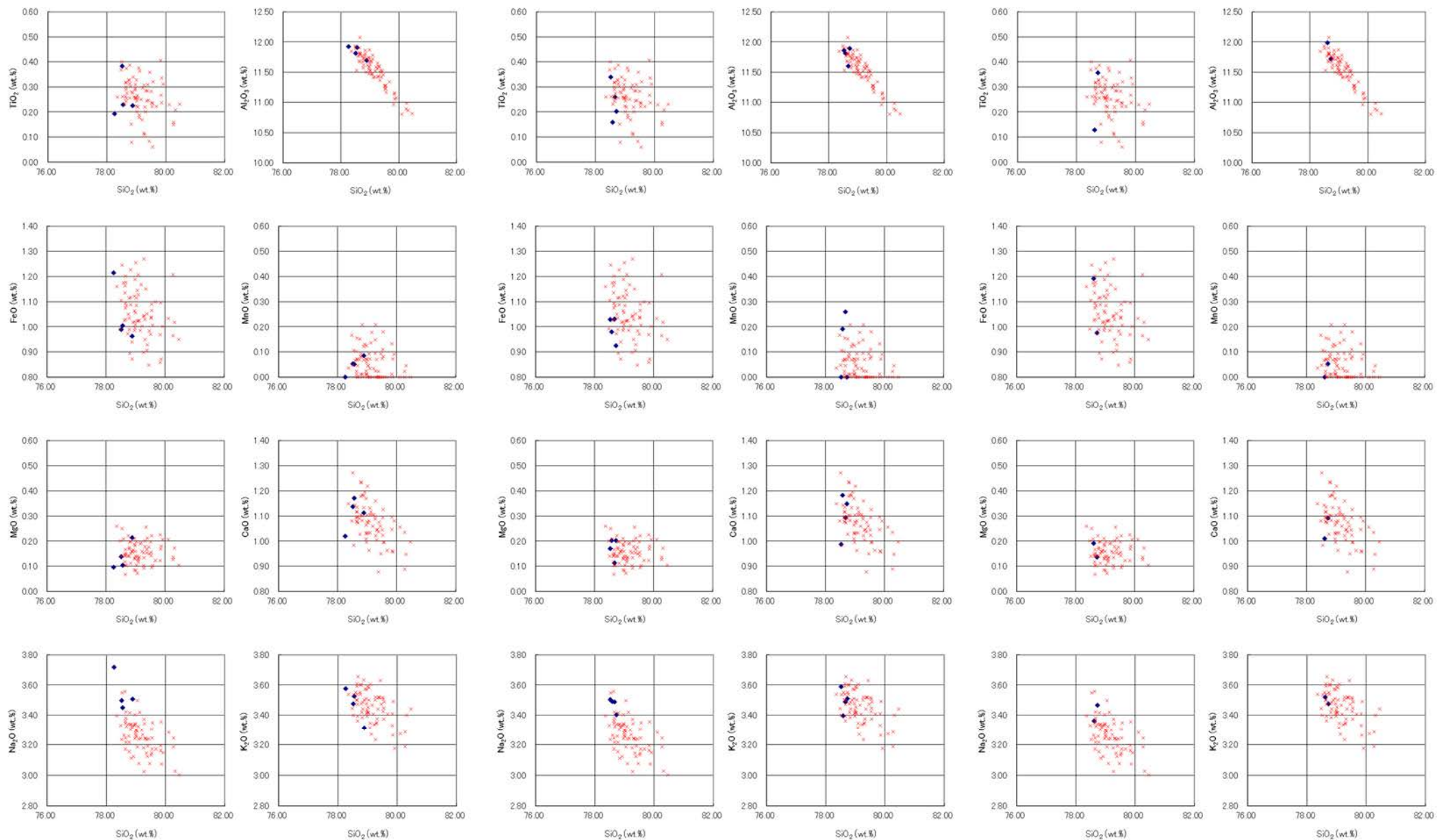
試料は5cm間隔 ■ バブルウォール (B) タイプ
Opx: 斜方輝石
GHo: 緑色普通角閃石
Cum: カルシウム角閃石



● β石英中のガラス包有物の主成分分析結果については、次頁を参照

試料採取箇所についてはP.5.1-1-10参照

火山灰分析結果 S-2・S-6 No.2トレンチ②



TE2-1上, 試料番号12

TE2-2上, 試料番号9

TE2-3上, 試料番号7

- ◆ No.2トレンチにおけるK-Tzに含まれるβ石英中のガラス包有物の主成分
- * 古澤・中村(2009)におけるK-Tzに含まれるβ石英中のガラス包有物の主成分

火山灰分析結果 35m盤トレンチ①

35mtr(1)

| 試料番号 | テフラ名 | 火山ガラスの 形態別含有量 (/3000粒子) | 重鉱物の含有量 (/3000粒子) | | | β石英 (/3000粒子) | 備考 |
|--------------|------|-------------------------------|----------------------|-----|-----|------------------|----|
| | | | Opx | GHo | Cum | | |
| 35m tr(1)-01 | | | | | | | |
| 35m tr(1)-02 | | | | | | | |
| 35m tr(1)-03 | | | | | | | |
| 35m tr(1)-04 | | | | | | | |
| 35m tr(1)-05 | | | | | | | |
| 35m tr(1)-06 | | | | | | | |
| 35m tr(1)-07 | | | | | | | |
| 35m tr(1)-08 | | | | | | | |
| 35m tr(1)-09 | | | | | | | |
| 35m tr(1)-10 | | | | | | | |
| 35m tr(1)-11 | | | | | | | |
| 35m tr(1)-12 | | | | | | | |
| 35m tr(1)-13 | | | | | | | |
| 35m tr(1)-14 | | | | | | | |
| 35m tr(1)-15 | | | | | | | |
| 35m tr(1)-16 | | | | | | | |

試料は5cm間隔

35mtr(3)

| 試料番号 | テフラ名 | 火山ガラスの 形態別含有量 (/3000粒子) | 重鉱物の含有量 (/3000粒子) | | | β石英 (/3000粒子) | 備考 |
|--------------|------|-------------------------------|----------------------|-----|-----|------------------|----|
| | | | Opx | GHo | Cum | | |
| 35m tr(3)-01 | | | | | | | |
| 35m tr(3)-02 | | | | | | | |
| 35m tr(3)-03 | | | | | | | |
| 35m tr(3)-04 | | | | | | | |
| 35m tr(3)-05 | | | | | | | |
| 35m tr(3)-06 | K-Tz | | | | | | |
| 35m tr(3)-07 | | | | | | | |
| 35m tr(3)-08 | | | | | | | |
| 35m tr(3)-09 | | | | | | | |
| 35m tr(3)-10 | | | | | | | |
| 35m tr(3)-11 | | | | | | | |
| 35m tr(3)-12 | | | | | | | |
| 35m tr(3)-13 | | | | | | | |
| 35m tr(3)-14 | | | | | | | |
| 35m tr(3)-15 | | | | | | | |
| 35m tr(3)-16 | | | | | | | |
| 35m tr(3)-17 | | | | | | | |
| 35m tr(3)-18 | | | | | | | |
| 35m tr(3)-19 | | | | | | | |
| 35m tr(3)-20 | | | | | | | |
| 35m tr(3)-21 | | | | | | | |
| 35m tr(3)-22 | | | | | | | |
| 35m tr(3)-23 | | | | | | | |
| 35m tr(3)-24 | | | | | | | |
| 35m tr(3)-25 | | | | | | | |

試料は5cm間隔

35mtr(2)

| 試料番号 | テフラ名 | 火山ガラスの 形態別含有量 (/3000粒子) | 重鉱物の含有量 (/3000粒子) | | | β石英 (/3000粒子) | 備考 |
|--------------|------|-------------------------------|----------------------|-----|-----|------------------|----|
| | | | Opx | GHo | Cum | | |
| 35m tr(2)-01 | | | | | | | |
| 35m tr(2)-02 | | | | | | | |
| 35m tr(2)-03 | K-Tz | | | | | | |
| 35m tr(2)-04 | | | | | | | |
| 35m tr(2)-05 | | | | | | | |
| 35m tr(2)-06 | | | | | | | |
| 35m tr(2)-07 | | | | | | | |
| 35m tr(2)-08 | | | | | | | |
| 35m tr(2)-09 | | | | | | | |
| 35m tr(2)-10 | | | | | | | |
| 35m tr(2)-11 | | | | | | | |
| 35m tr(2)-12 | | | | | | | |
| 35m tr(2)-13 | | | | | | | |
| 35m tr(2)-14 | | | | | | | |
| 35m tr(2)-15 | | | | | | | |
| 35m tr(2)-16 | | | | | | | |
| 35m tr(2)-17 | | | | | | | |
| 35m tr(2)-18 | | | | | | | |

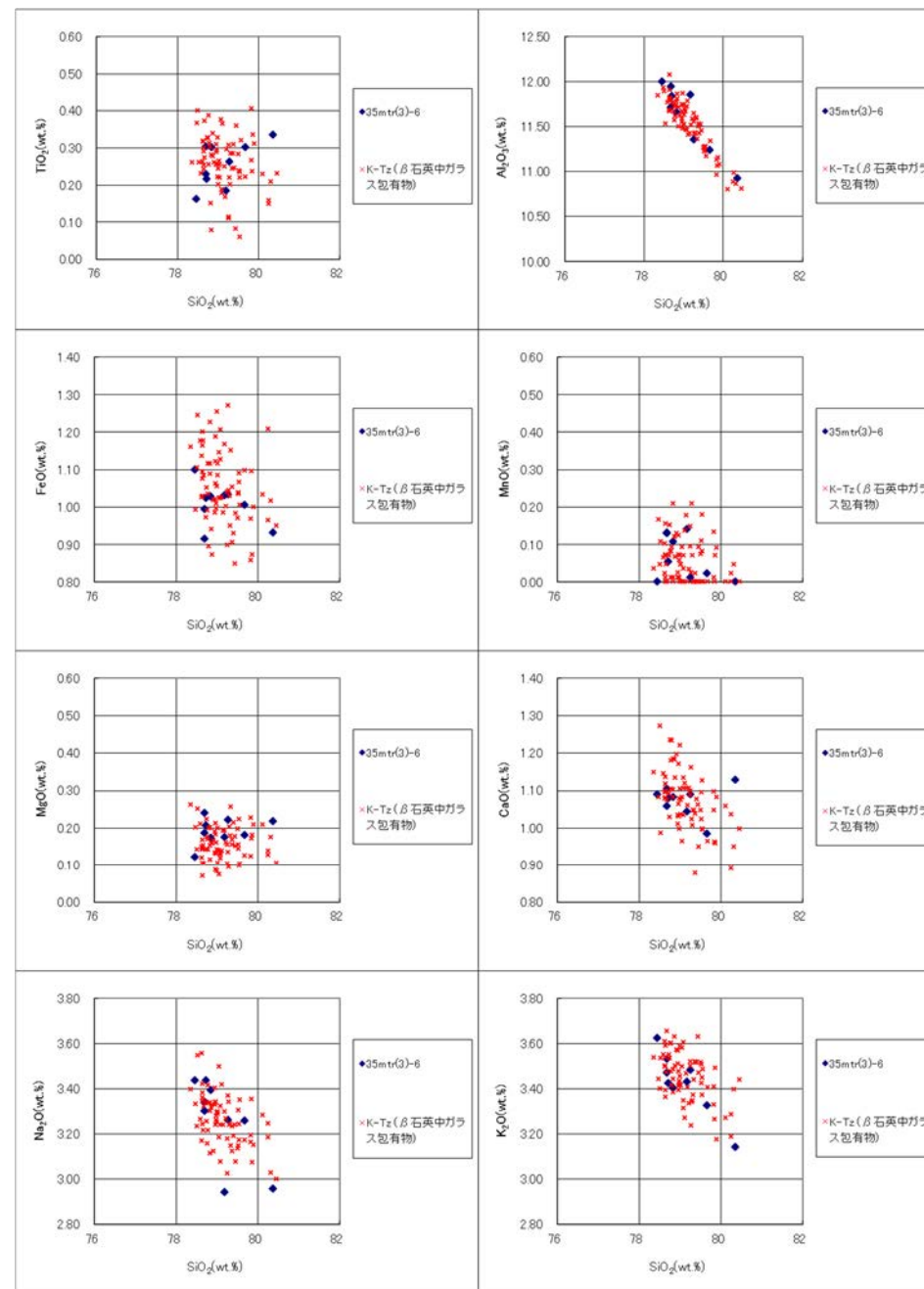
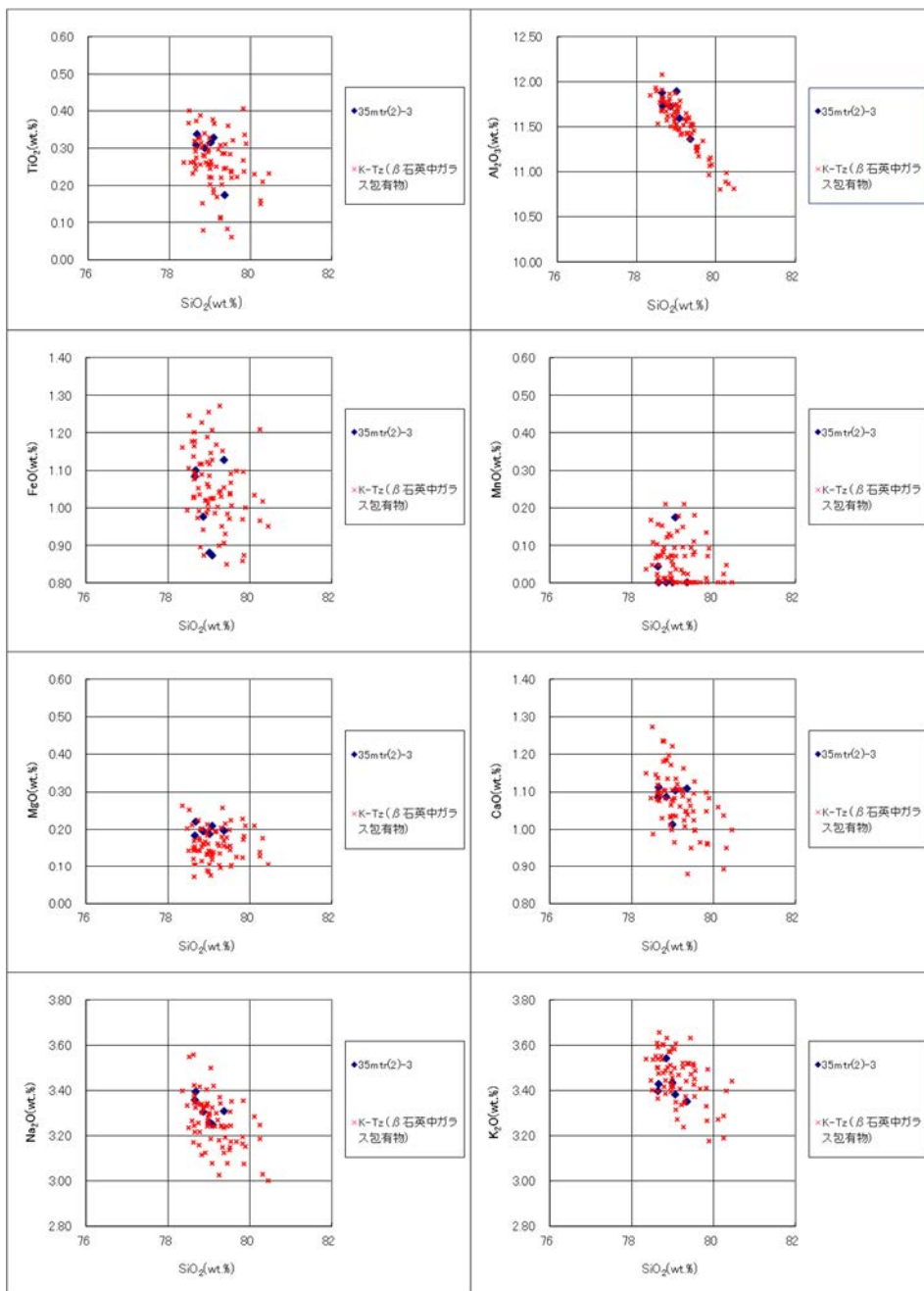
試料は5cm間隔

Opx:斜方輝石
GHo:緑色普通角閃石
Cum:カミングトン閃石

● β石英中のガラス包有物の主成分分析結果については、次頁を参照

試料採取箇所についてはP.5.1-1-14参照

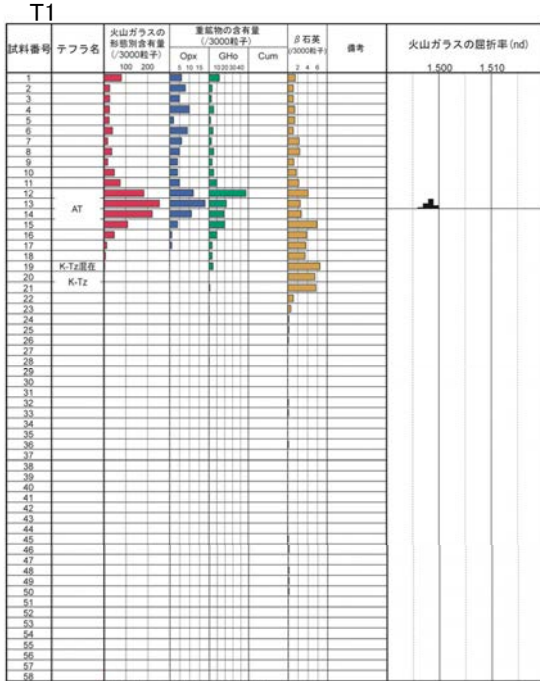
火山灰分析結果 35m盤トレンチ②



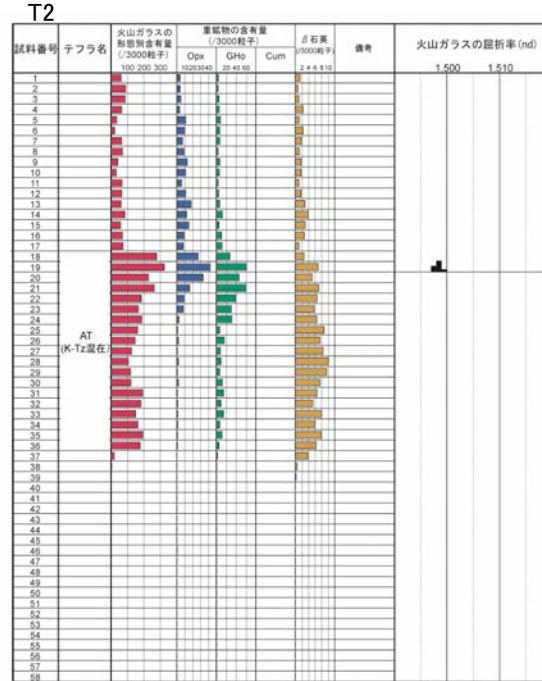
- ◆ 35m盤トレンチにおけるK-Tzに含まれるβ石英中のガラス包有物の主成分
- * 古澤・中村(2009)におけるK-Tzに含まれるβ石英中のガラス包有物の主成分

火山灰分析結果 えん堤左岸トレンチ①

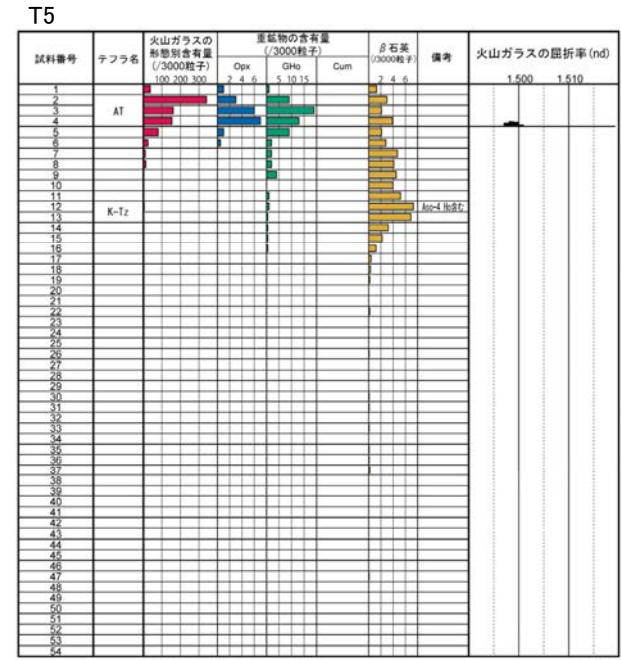
第597回審査会合資料2-2
P.3-30 再掲



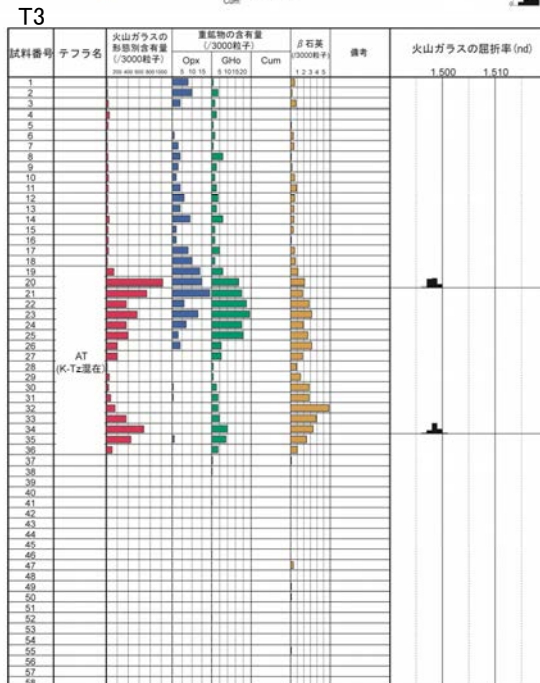
試料は5cm間隔 ■パフルウォール形タイプ Opx:斜方輝石 GHo:緑色普通角閃石 Cum:カラングン閃石

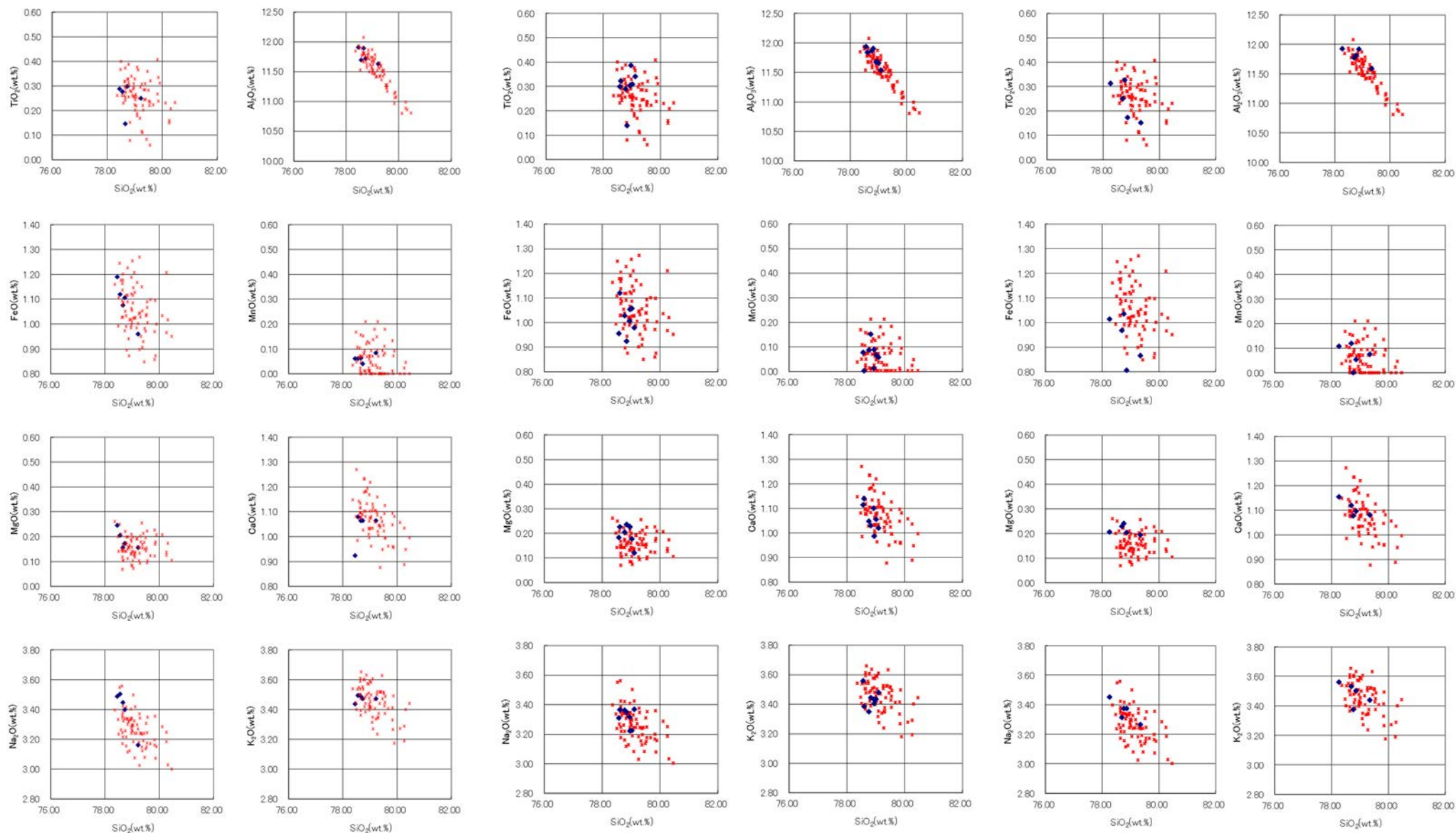


試料は5cm間隔 ■パフルウォール形タイプ Opx:斜方輝石 GHo:緑色普通角閃石 Cum:カラングン閃石



試料は5cm間隔 ■パフルウォール形タイプ Opx:斜方輝石 GHo:緑色普通角閃石 Cum:カラングン閃石





T1, 試料番号21

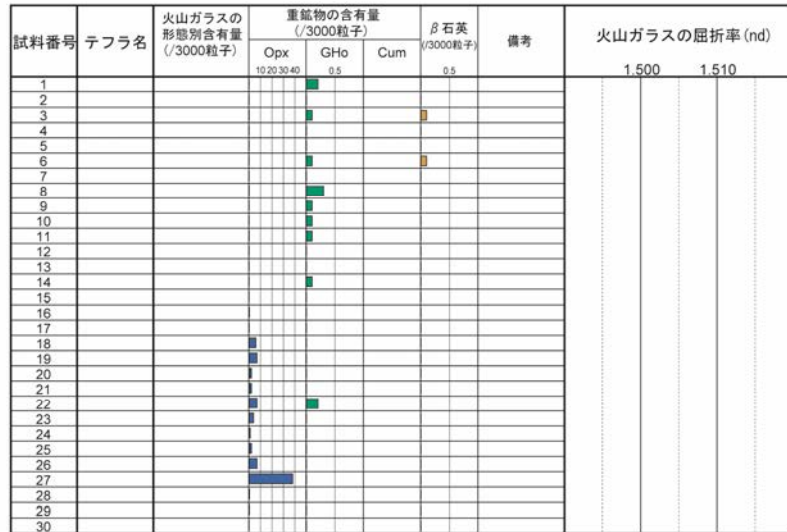
T5, 試料番号12

T6, 試料番号14

- ◆ えん堤左岸トレンチにおけるK-Tzに含まれるβ石英中のガラス包有物の主成分
- * 古澤・中村(2009)におけるK-Tzに含まれるβ石英中のガラス包有物の主成分

火山灰分析結果 駐車場南東方トレンチ①

P1



試料は5cm間隔

Opx:斜方輝石
GHo:緑色普通角閃石
Cum:カミングトン閃石

Count回数
20
0

P2



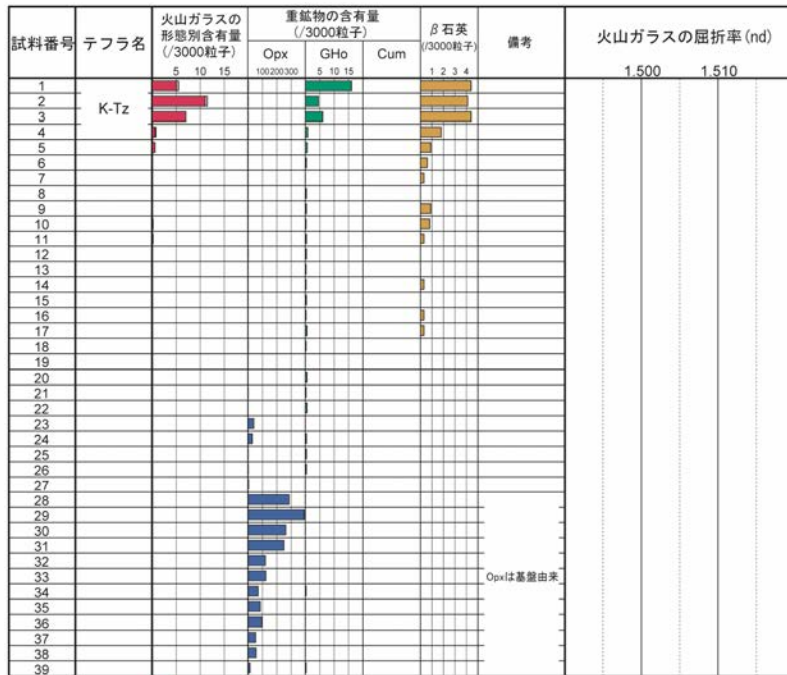
試料は5cm間隔

■ バブルウォール (Bw) タイプ

Opx:斜方輝石
GHo:緑色普通角閃石
Cum:カミングトン閃石

Count回数
20
0

P3



試料は5cm間隔

■ バブルウォール (Bw) タイプ
■ 椀発泡 (O) タイプ

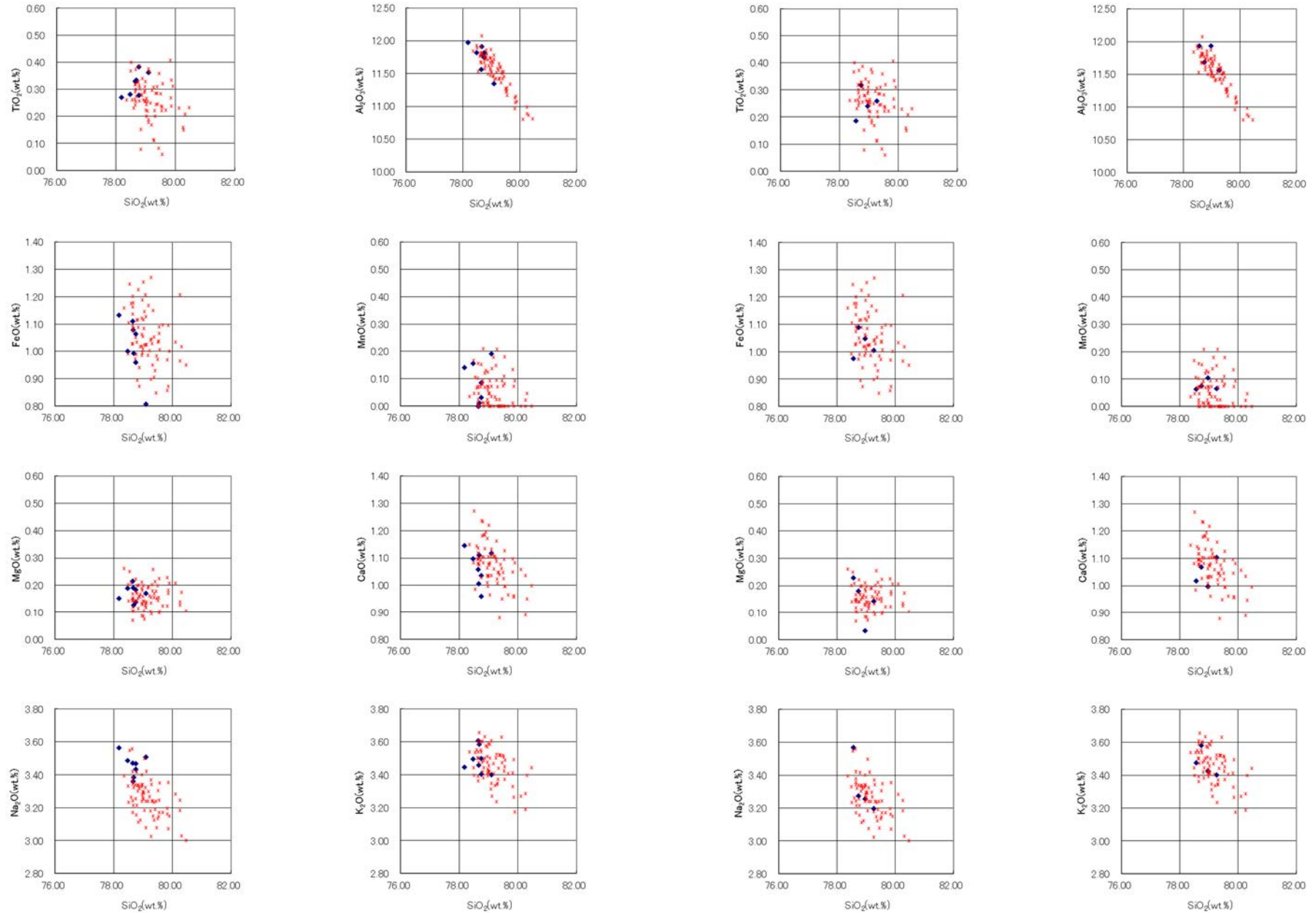
Opx:斜方輝石
GHo:緑色普通角閃石
Cum:カミングトン閃石

Count回数
20
0

Opxは基盤由来

● β石英中のガラス包有物の主成分分析結果については、次頁を参照

試料採取箇所についてはP.5.1-1-20参照



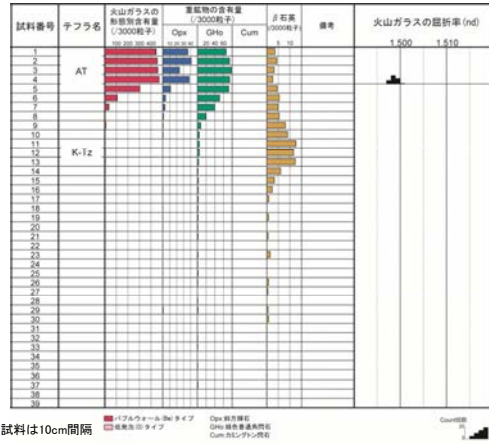
P2, 試料番号1

P3, 試料番号3

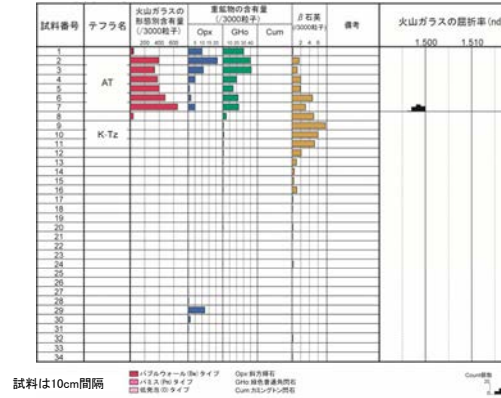
- ◆ 駐車場南東方トレンチにおけるK-Tzに含まれるβ石英中のガラス包有物の主成分
- * 古澤・中村(2009)におけるK-Tzに含まれるβ石英中のガラス包有物の主成分

火山灰分析結果 駐車場南側法面①

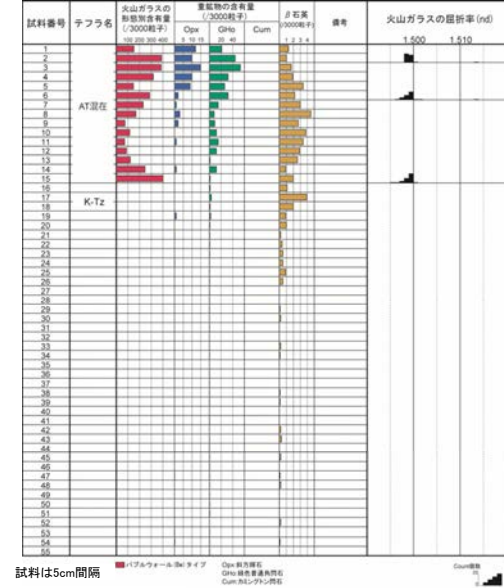
No.1



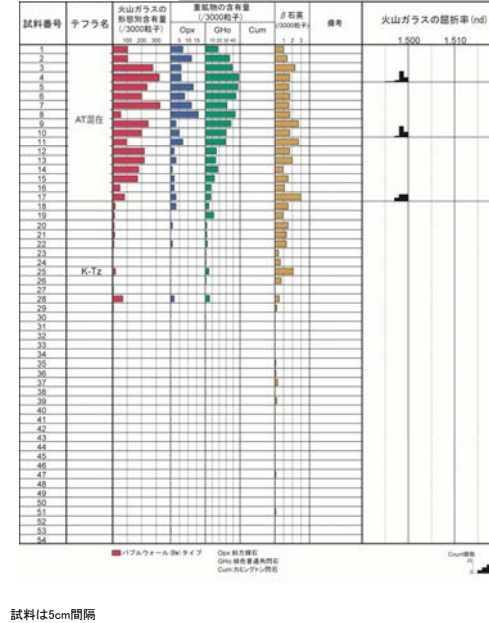
No.2



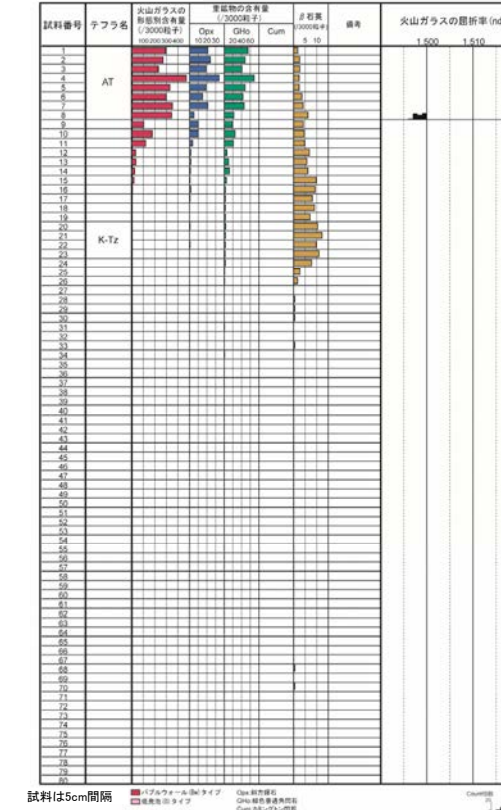
No.3



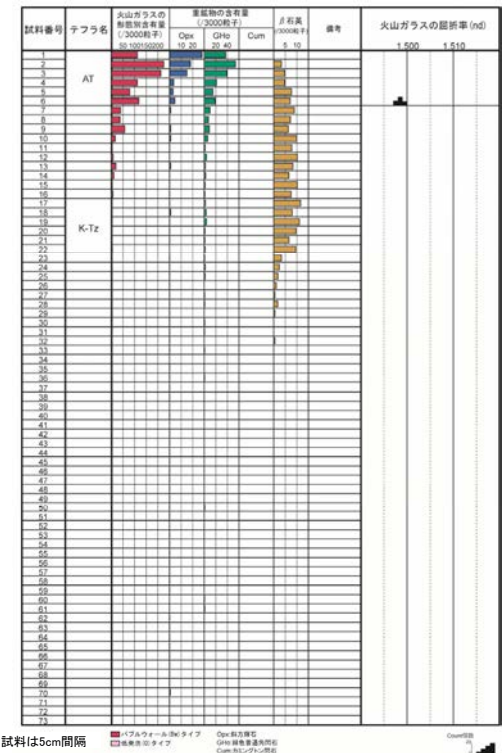
No.4



No.5

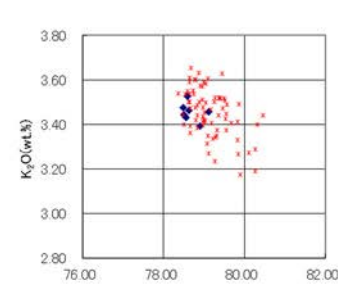
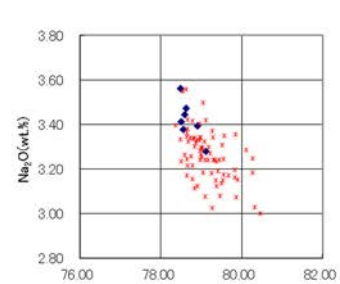
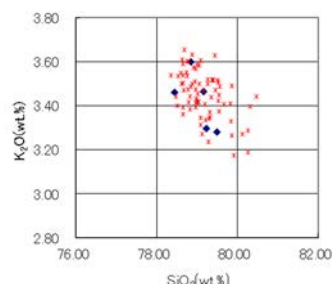
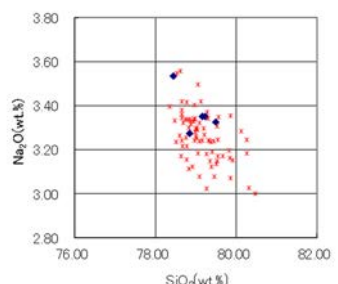
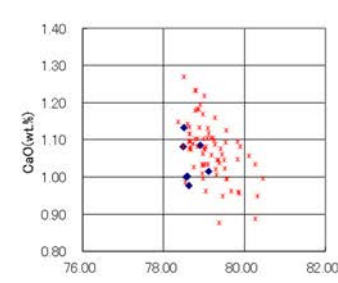
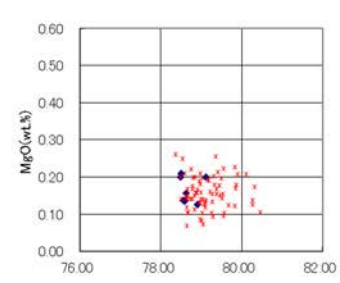
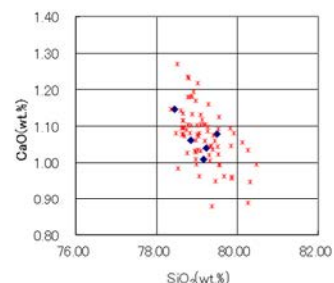
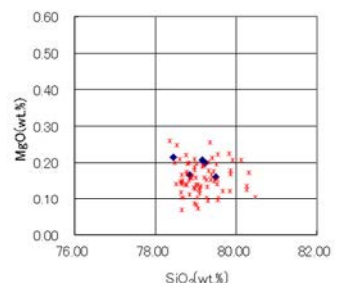
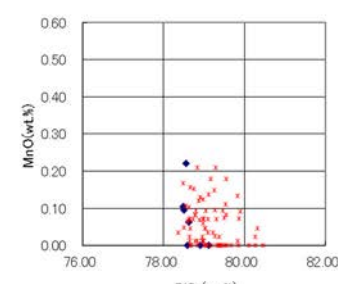
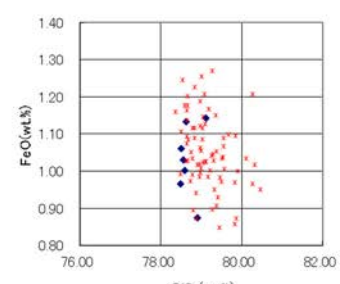
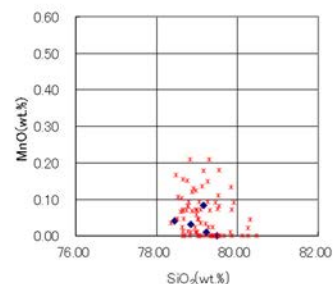
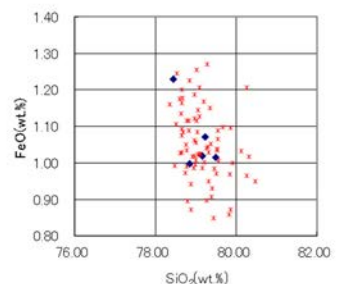
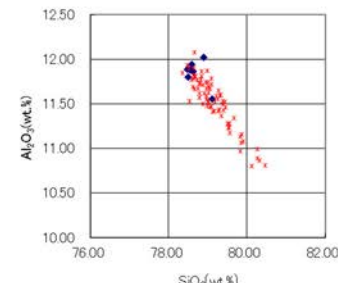
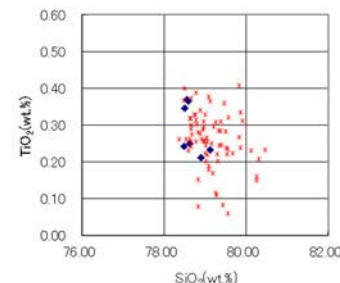
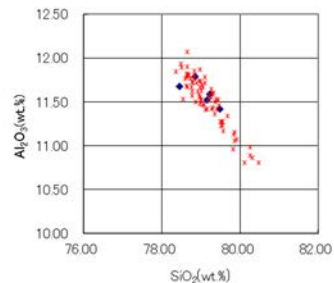
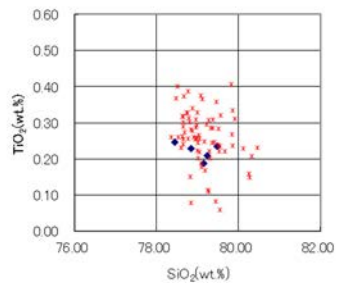


No.6



試料採取箇所についてはP.5.1-1-25参照

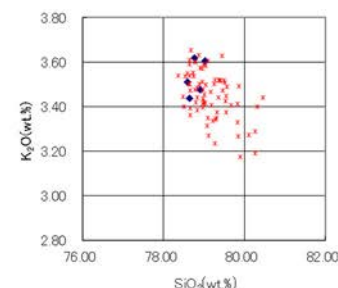
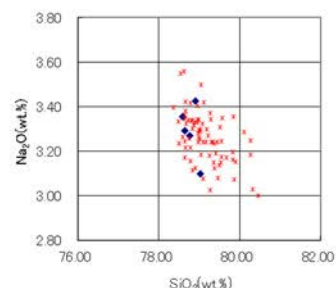
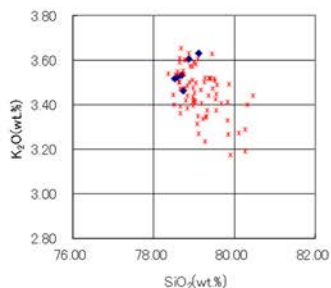
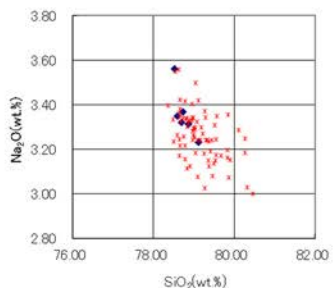
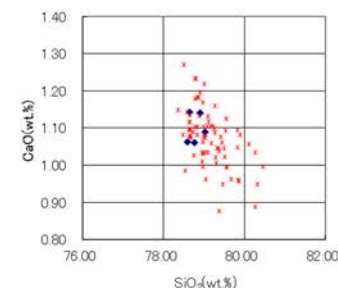
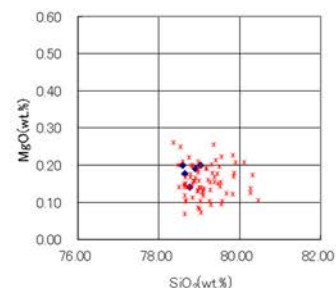
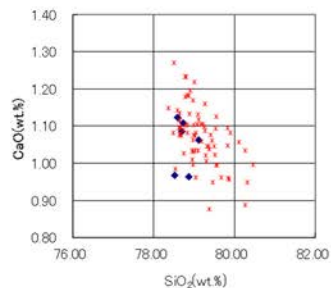
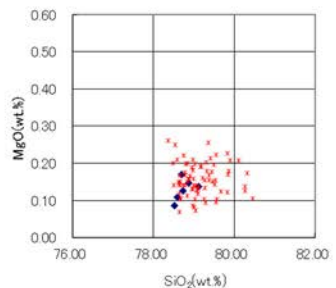
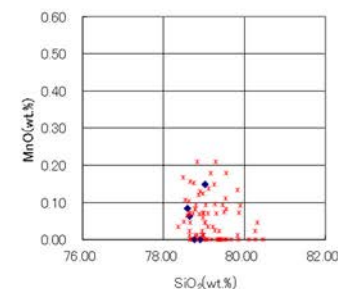
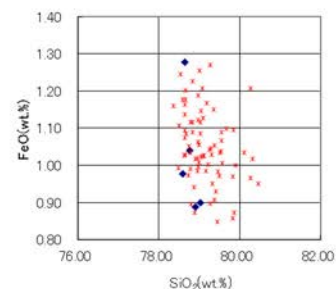
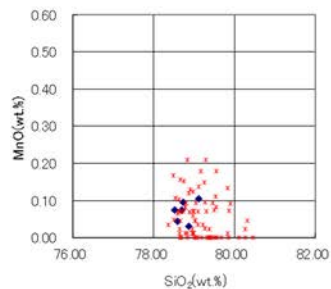
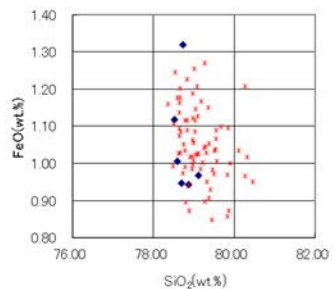
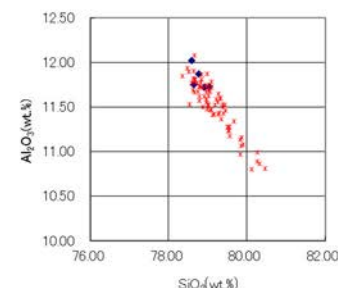
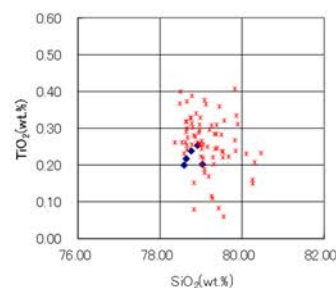
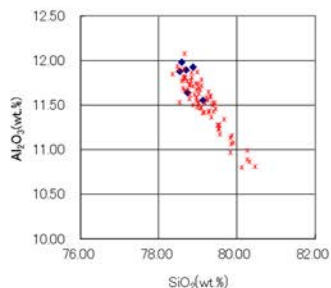
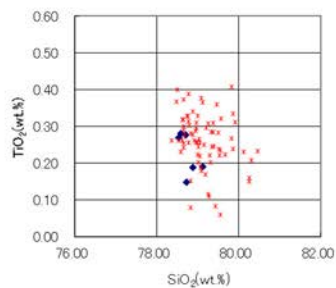
● β 石英中のガラス包有物の主成分分析結果については、
次頁以降を参照



No.1, 試料番号13

No.2, 試料番号11

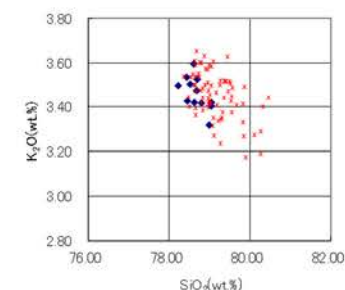
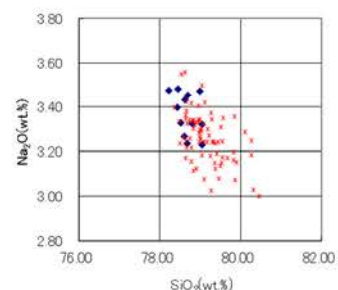
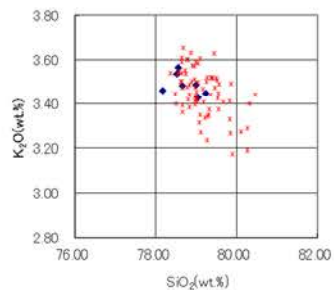
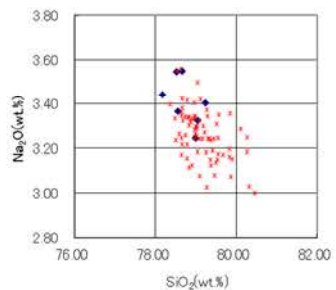
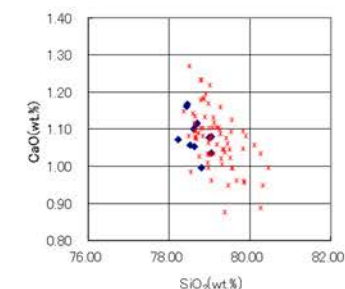
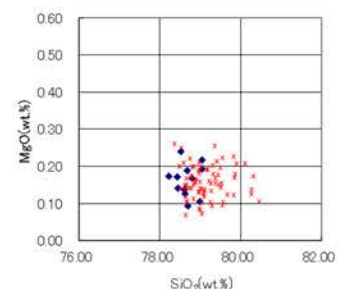
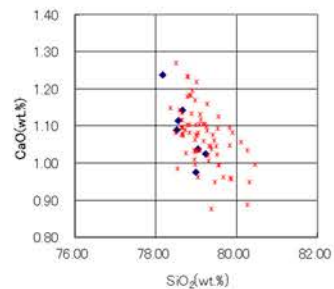
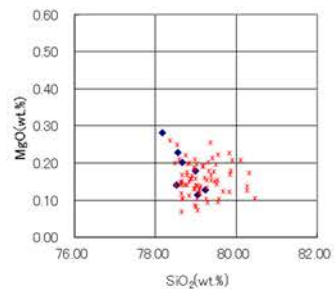
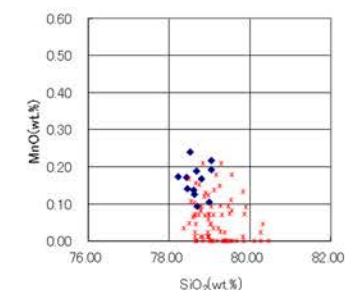
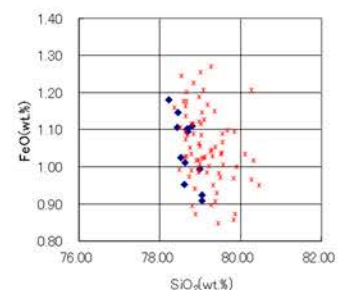
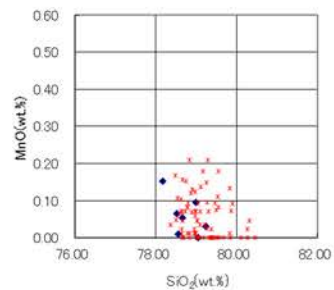
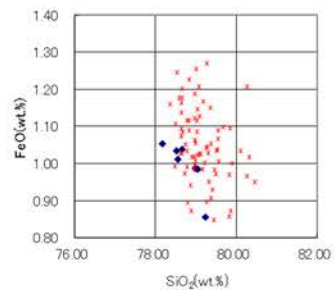
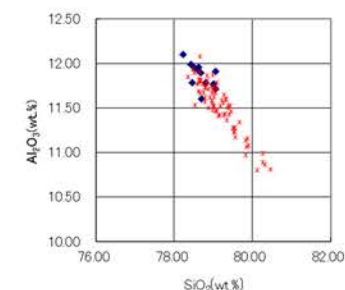
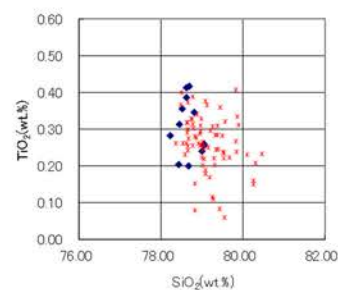
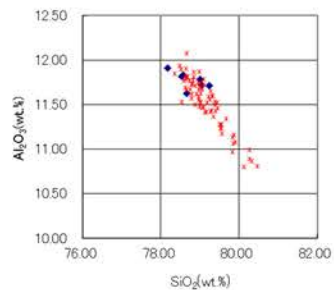
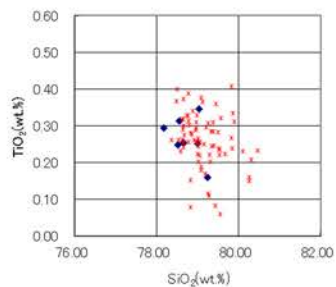
- ◆ 駐車場南側法面におけるK-Tzに含まれるβ石英中のガラス包有物の主成分
- * 古澤・中村(2009)におけるK-Tzに含まれるβ石英中のガラス包有物の主成分



No.3, 試料番号17

No.4, 試料番号25

- ◆ 駐車場南側法面におけるK-Tzに含まれるβ石英中のガラス包有物の主成分
- * 古澤・中村(2009)におけるK-Tzに含まれるβ石英中のガラス包有物の主成分



No.5, 試料番号21

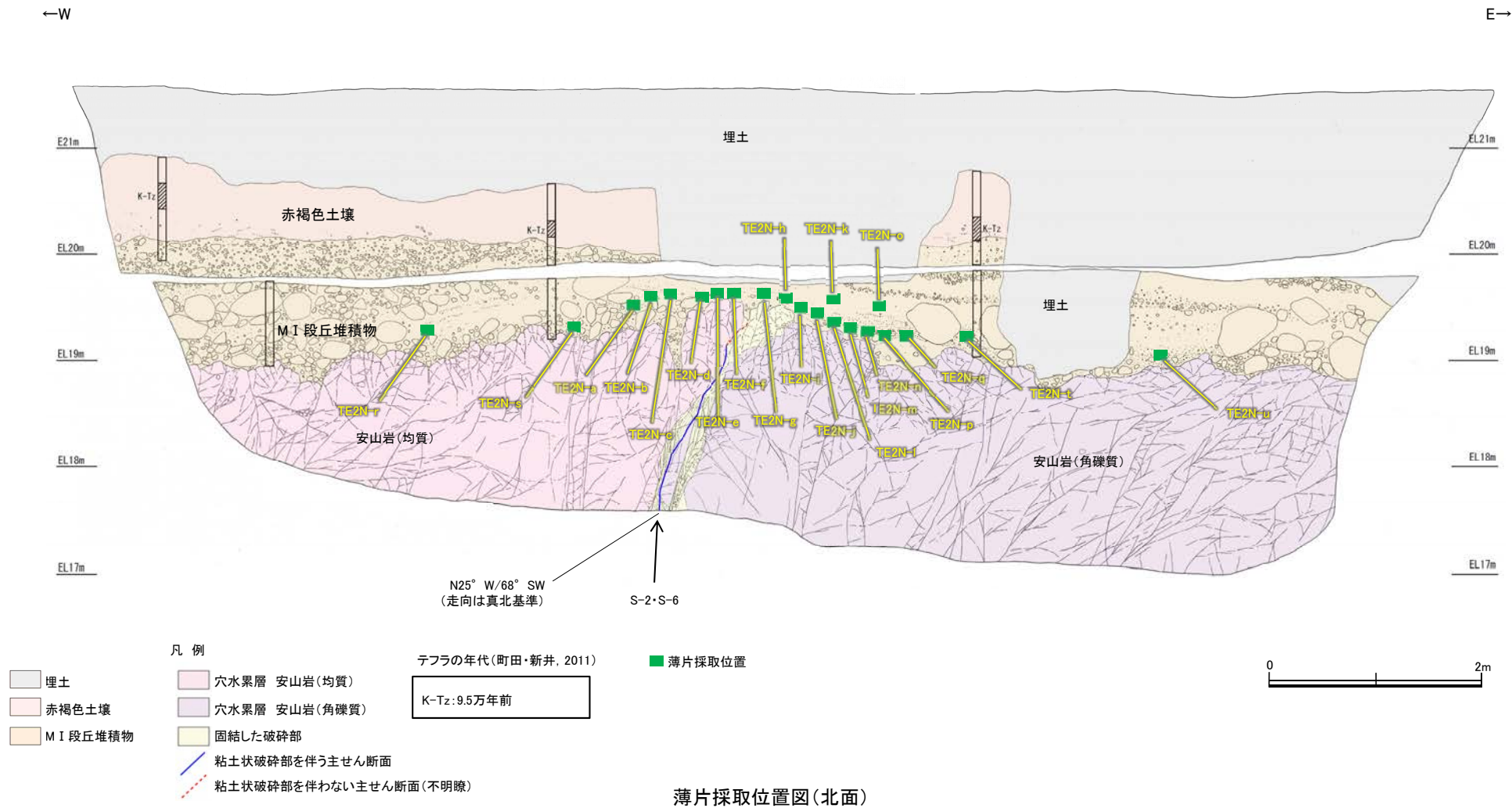
No.6, 試料番号17

◆ 駐車場南側法面におけるK-Tzに含まれるβ石英中のガラス包有物の主成分
* 古澤・中村(2009)におけるK-Tzに含まれるβ石英中のガラス包有物の主成分

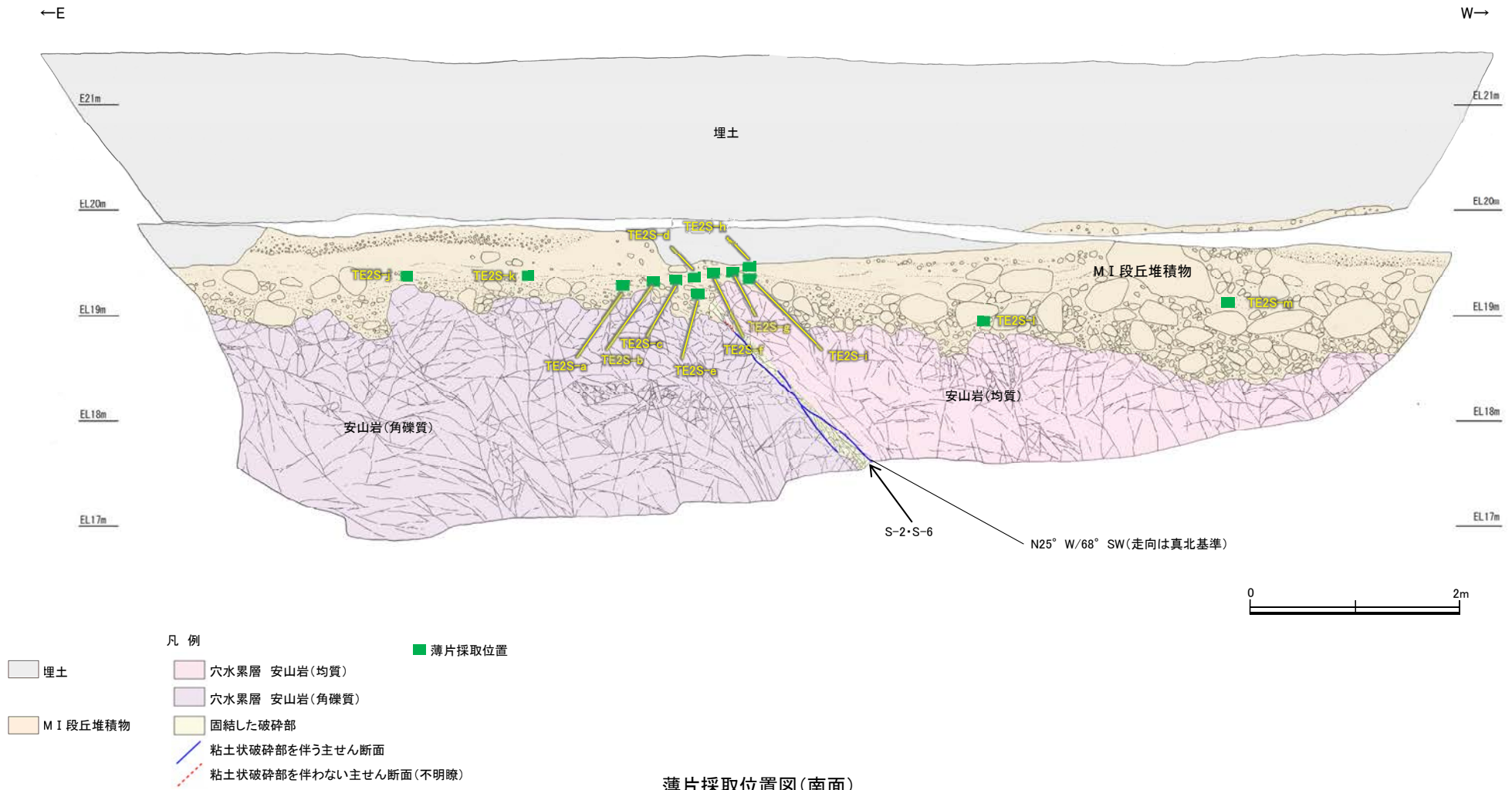
(3) S-2・S-6 No.2トレンチにおける薄片観察結果

鉍物組成分析データ S-2・S-6 No.2トレンチ

— 薄片観察 薄片採取位置図(北面) —



鉱物組成分析データ S-2・S-6 No.2トレンチ ー薄片観察 薄片採取位置図(南面)ー



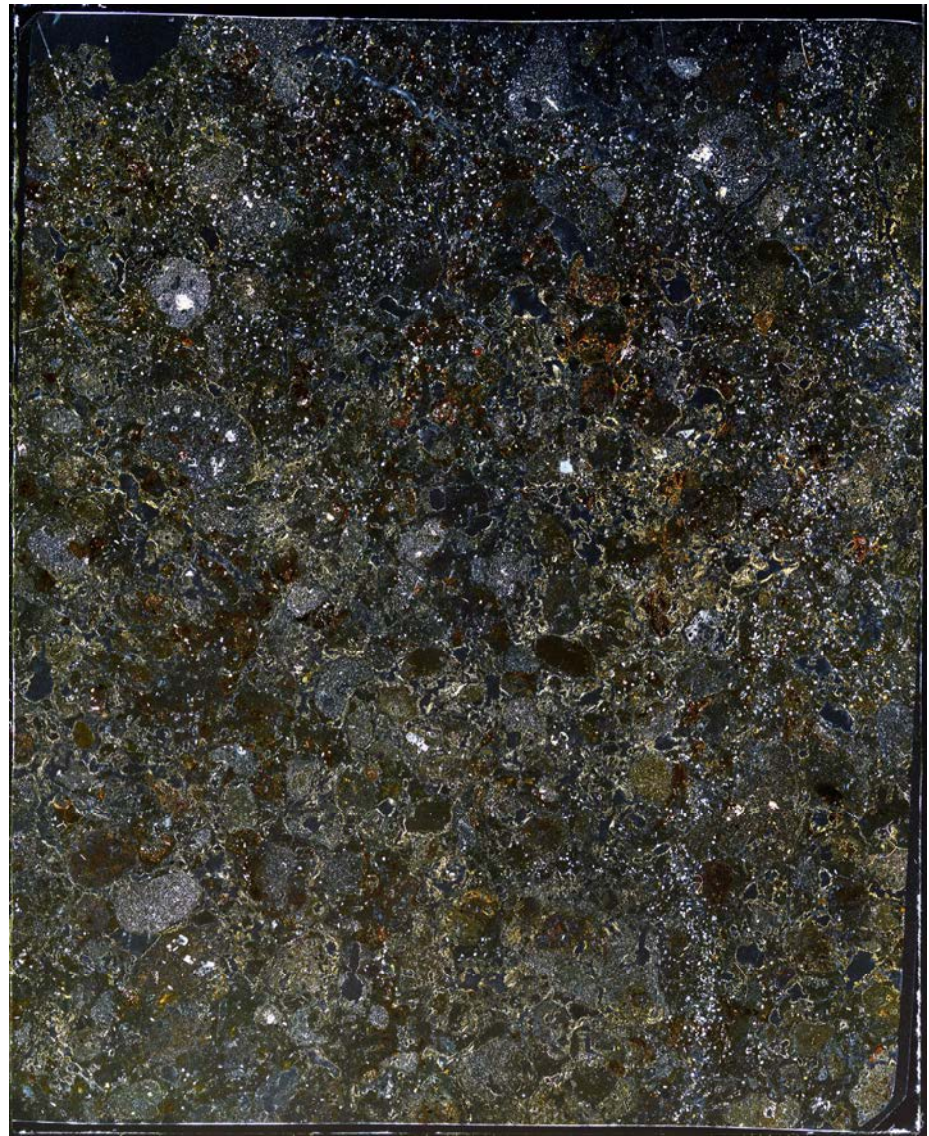
鉱物組成分析データ S-2・S-6 No.2トレンチ(北面)

—薄片観察(TE2N-a)—

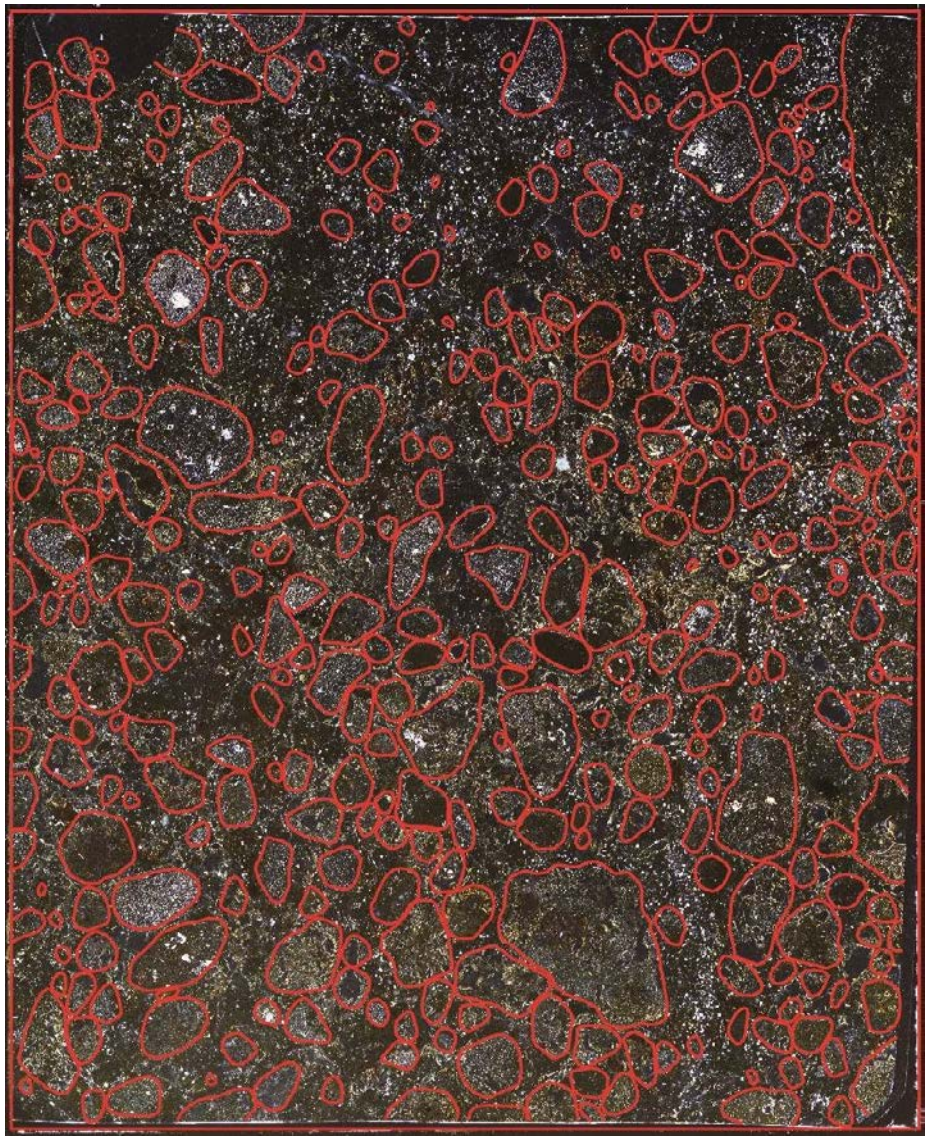
東

東

上

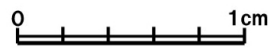


下上

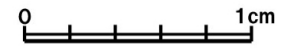


下

西



西



TE2N-a(直交ニコル 東西反転)

TE2N-a(直交ニコル 東西反転 礫等加筆)

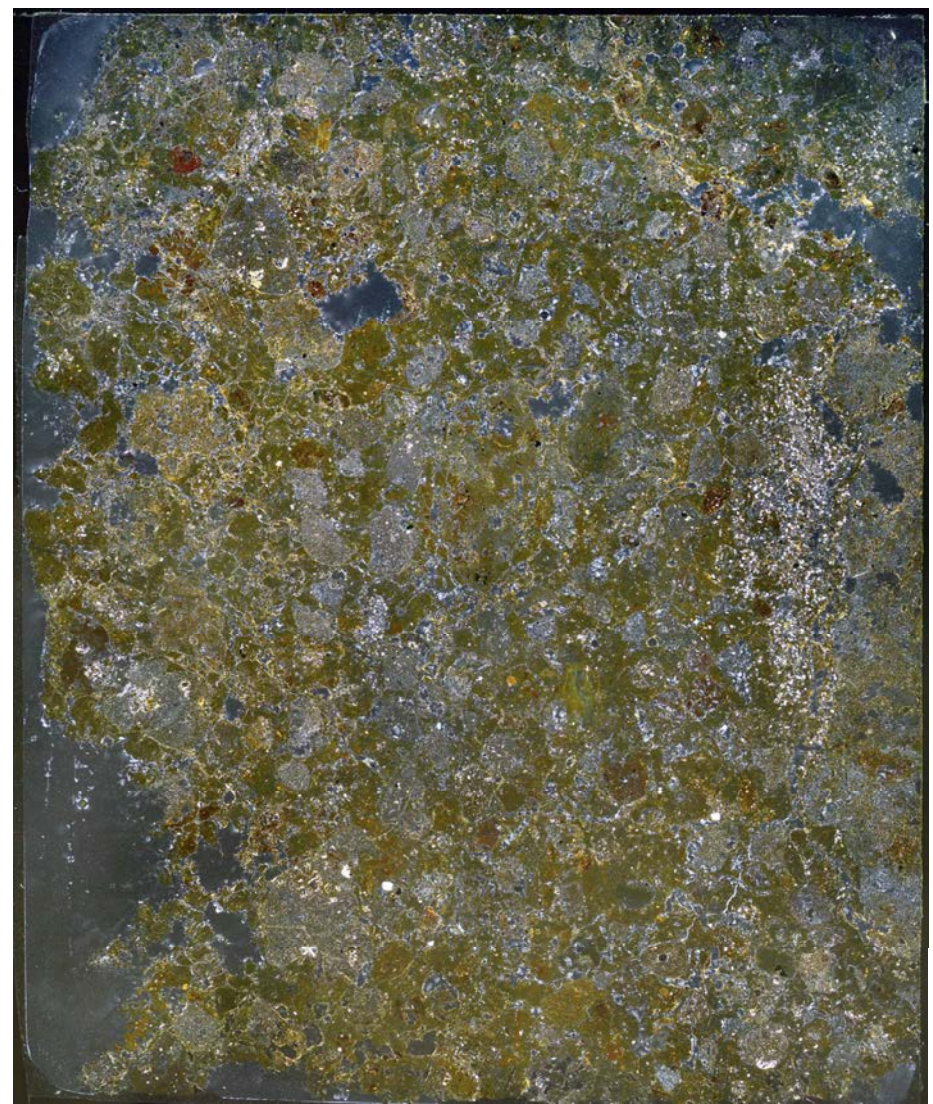
鉱物組成分析データ S-2・S-6 No.2トレンチ(北面)

—薄片観察(TE2N-b)—

東

東

上

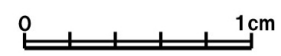


下 上

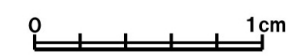


下

西



西



TE2N-b(直交ニコル 東西反転)

TE2N-b(直交ニコル 東西反転 礫等加筆)

鉱物組成分析データ S-2・S-6 No.2トレンチ(北面) -薄片観察(TE2N-c)-

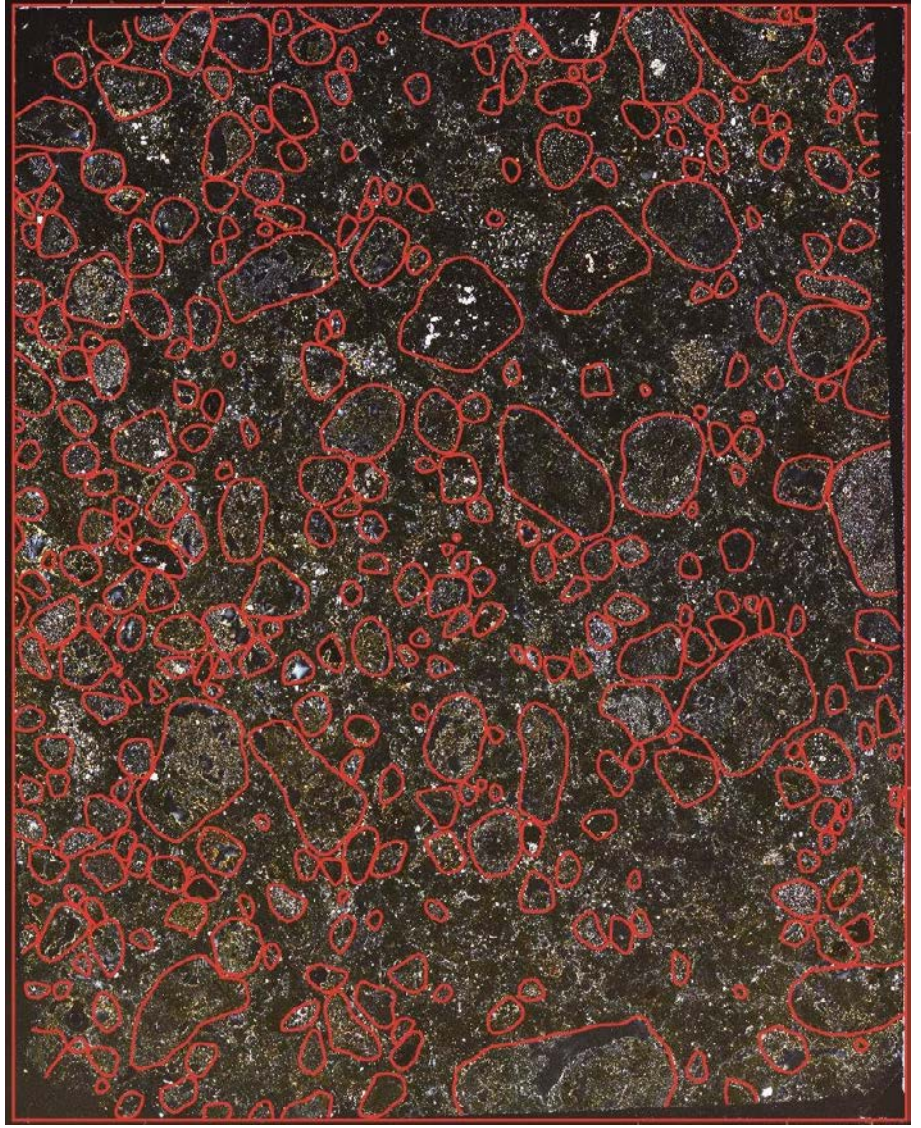
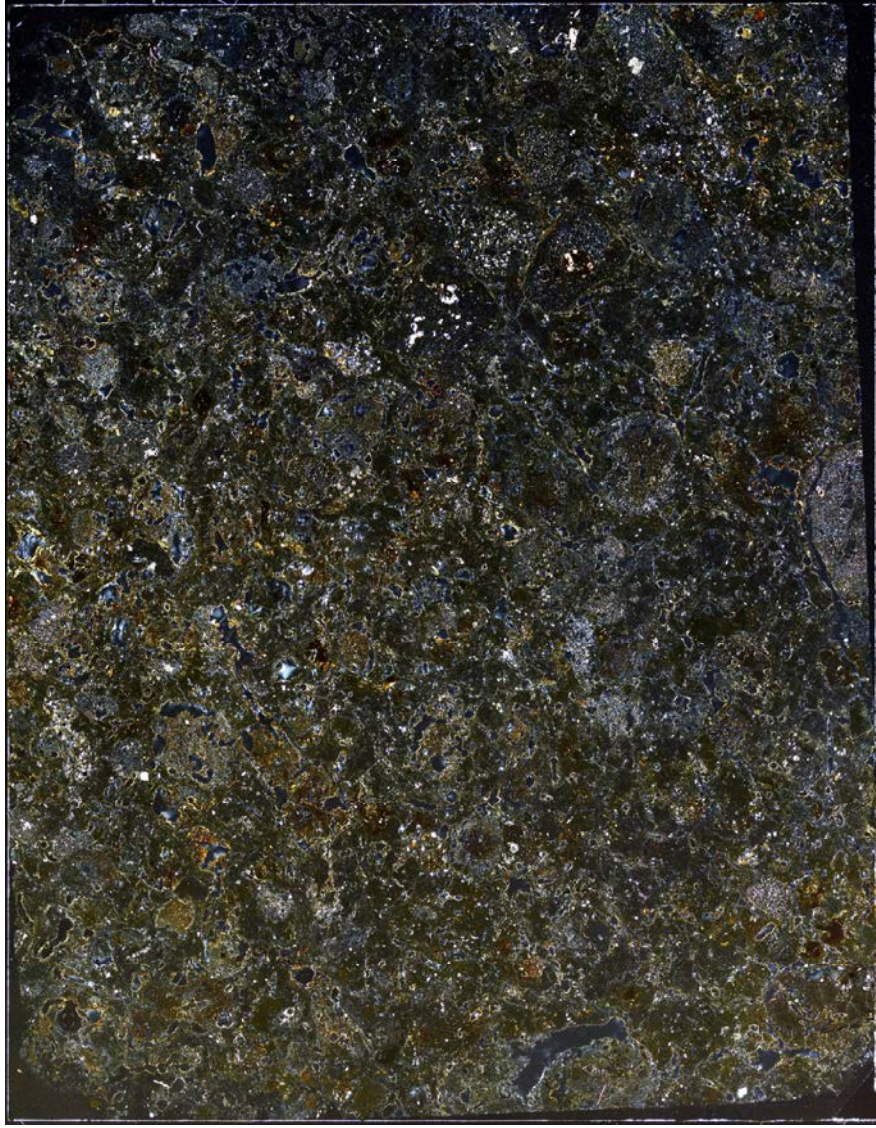
東

東

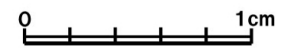
上

下 上

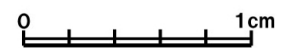
下



西



西



TE2N-c(直交ニコル 東西反転)

TE2N-c(直交ニコル 東西反転 礫等加筆)

鉍物組成分析データ S-2・S-6 No.2トレンチ(北面) -薄片観察(TE2N-d) -

東

東

上

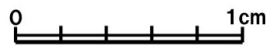


下 上

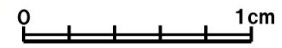


下

西



西



TE2N-d(直交ニコル 東西反転)

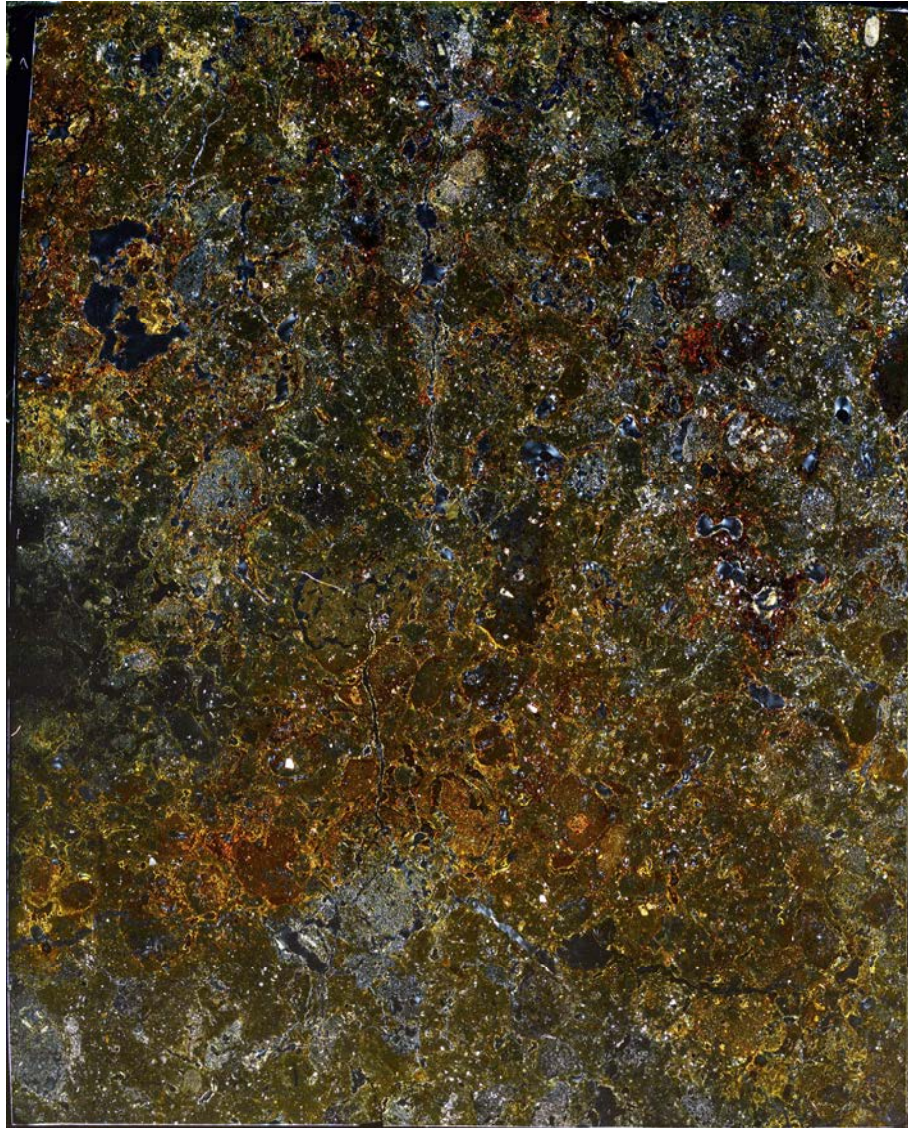
TE2N-d(直交ニコル 東西反転 礫等加筆)

鉍物組成分析データ S-2・S-6 No.2トレンチ(北面) ー薄片観察(TE2N-e)ー

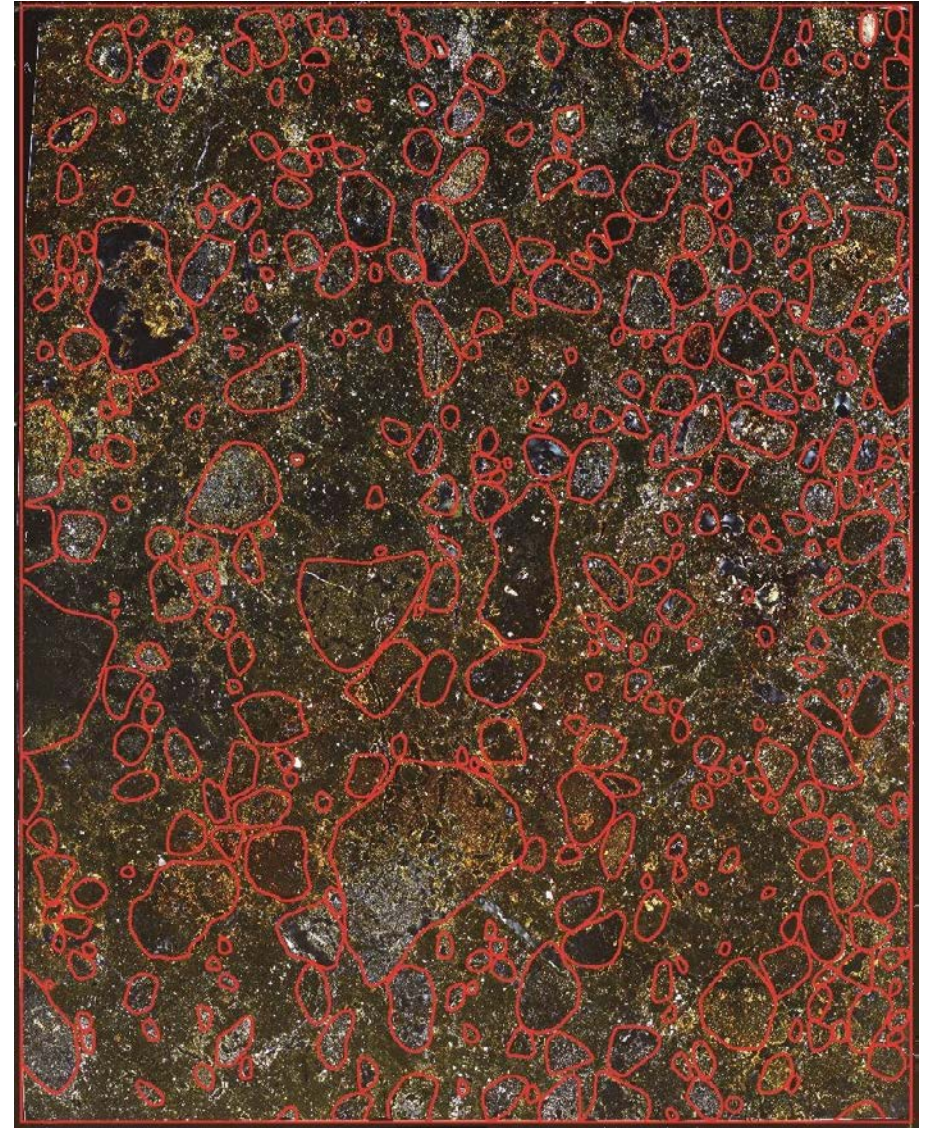
東

東

上

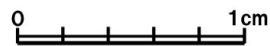


下 上



下

西



西



TE2N-e(直交ニコル 東西反転)

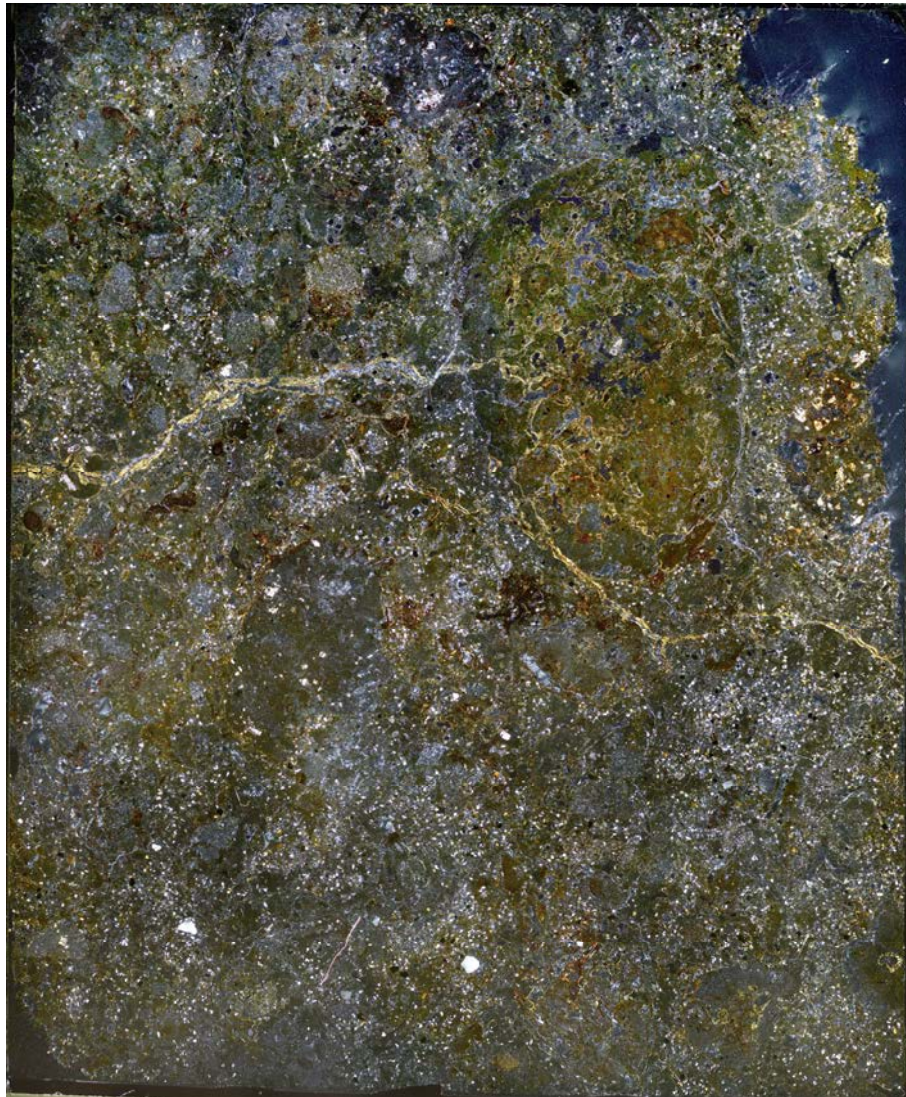
TE2N-e(直交ニコル 東西反転 礫等加筆)

鉍物組成分析データ S-2・S-6 No.2トレンチ(北面) - 薄片観察(TE2N-f) -

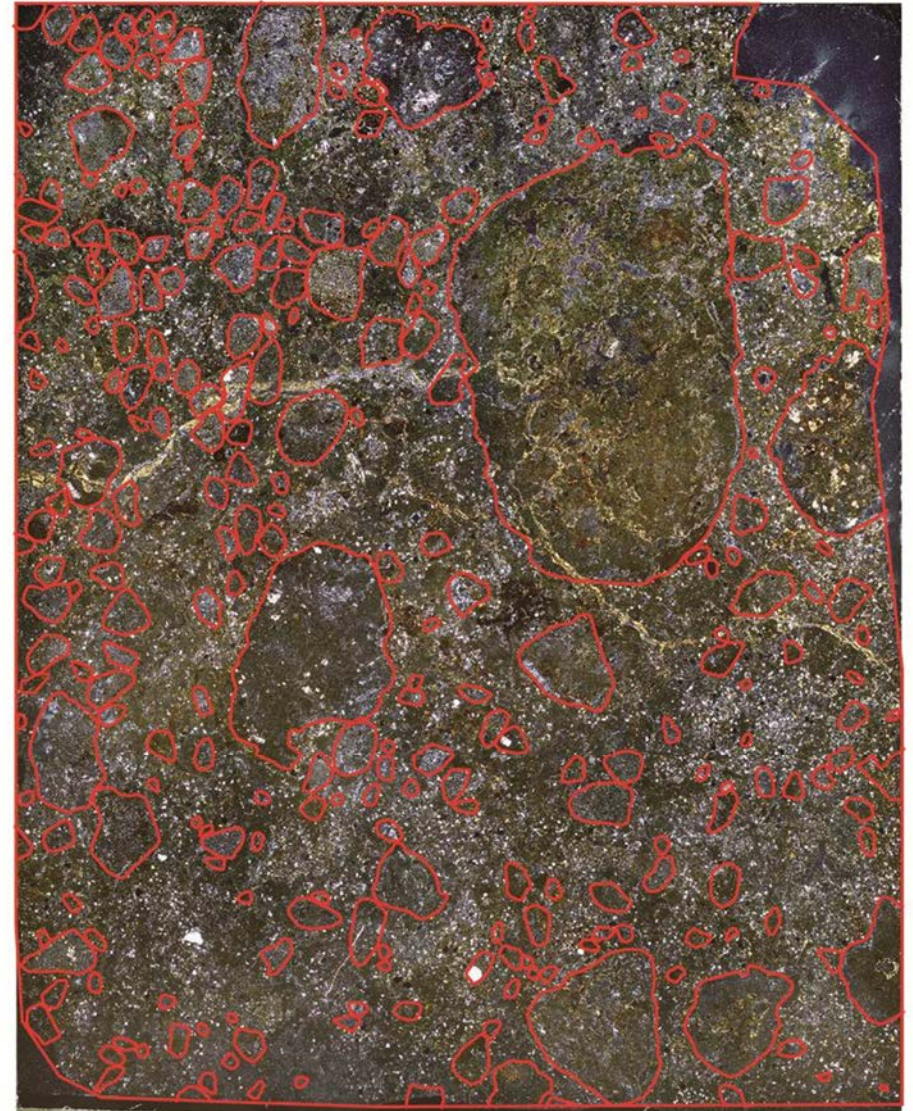
東

東

上

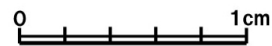


下 上



下

西



TE2N-f(直交ニコル 東西反転)

西



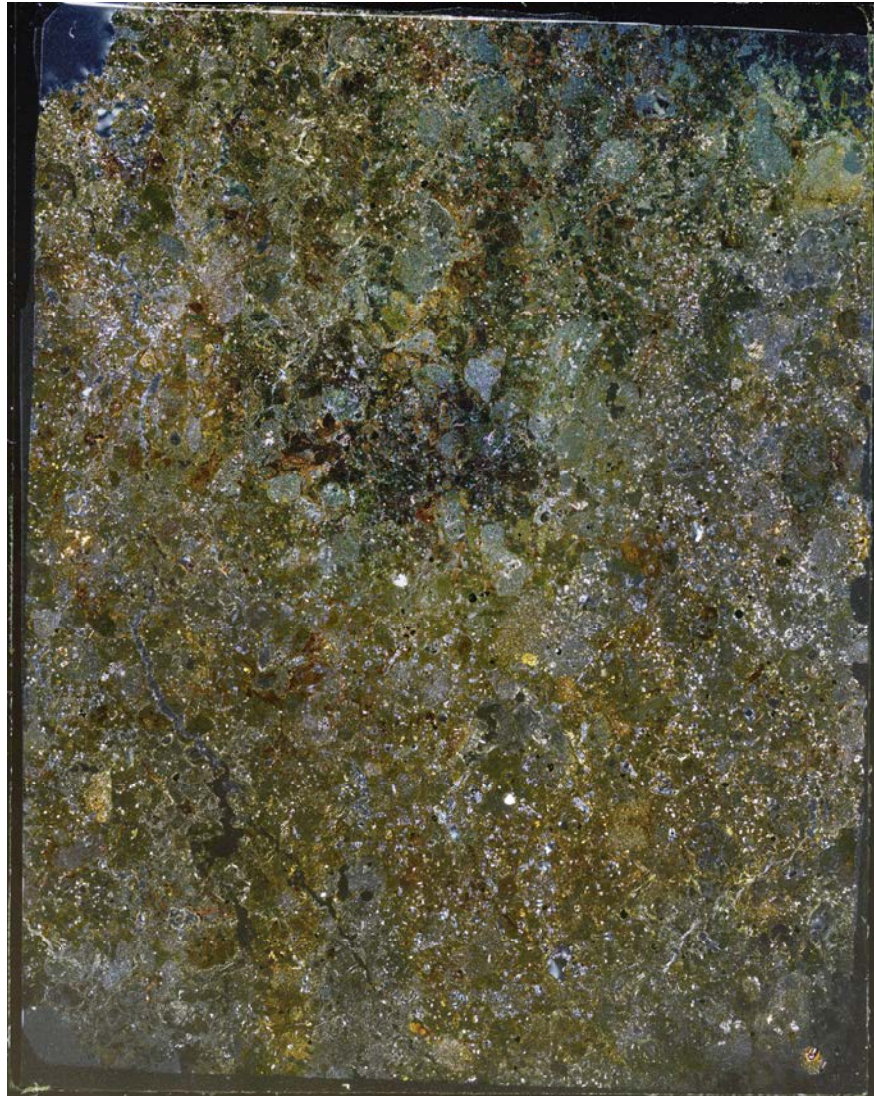
TE2N-f(直交ニコル 東西反転 礫等加筆)

鉱物組成分析データ S-2・S-6 No.2トレンチ(北面) -薄片観察(TE2N-g)-

東

東

上

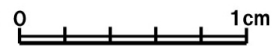


下 上



下

西



西



TE2N-g(直交ニコル 東西反転)

TE2N-g(直交ニコル 東西反転 礫等加筆)

鉱物組成分析データ S-2・S-6 No.2トレンチ(北面) —薄片観察(TE2N-h)—

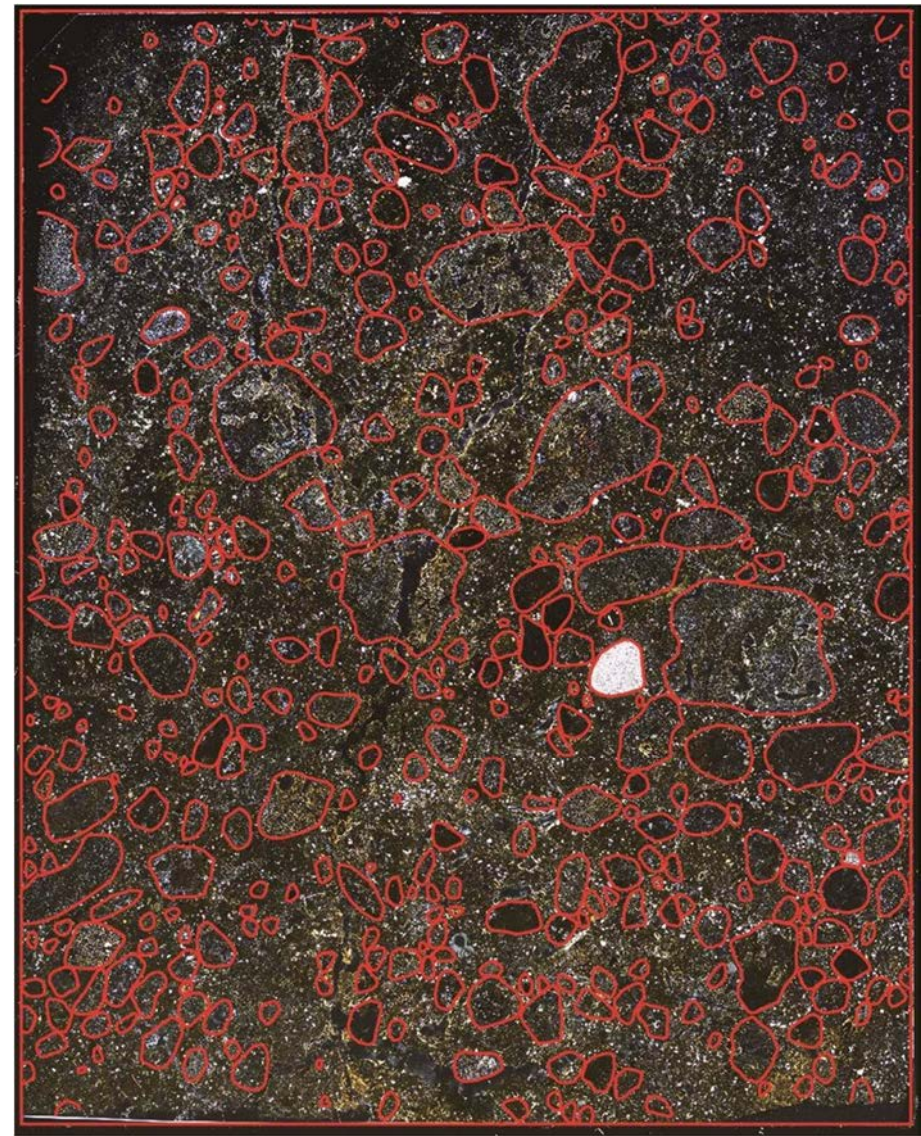
東

東

上

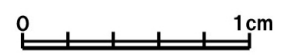


下 上

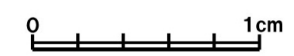


下

西



西



TE2N-h(直交ニコル 東西反転)

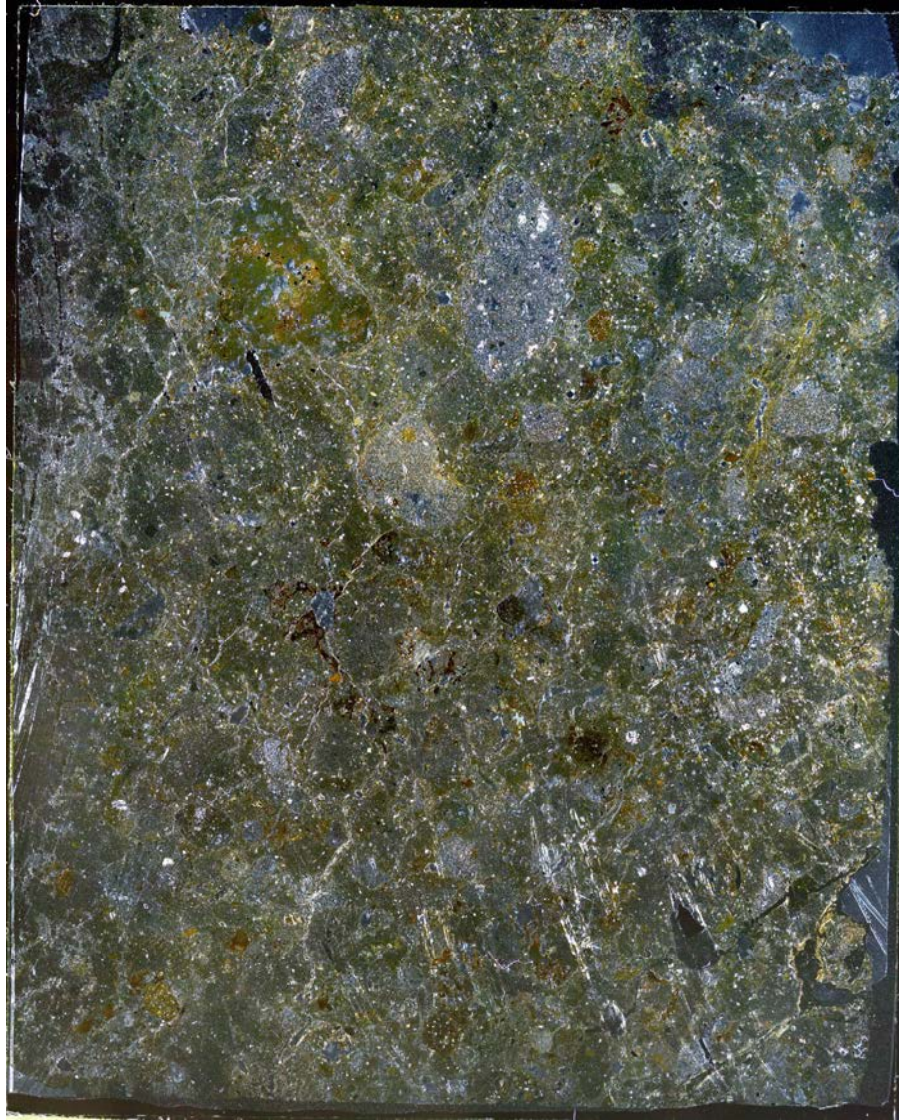
TE2N-h(直交ニコル 東西反転 礫等加筆)

鉱物組成分析データ S-2・S-6 No.2トレンチ(北面) -薄片観察(TE2N-i)-

東

東

上

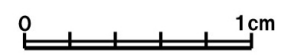


下上

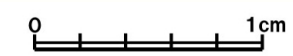


下

西



西



TE2N-i(直交ニコル 東西反転)

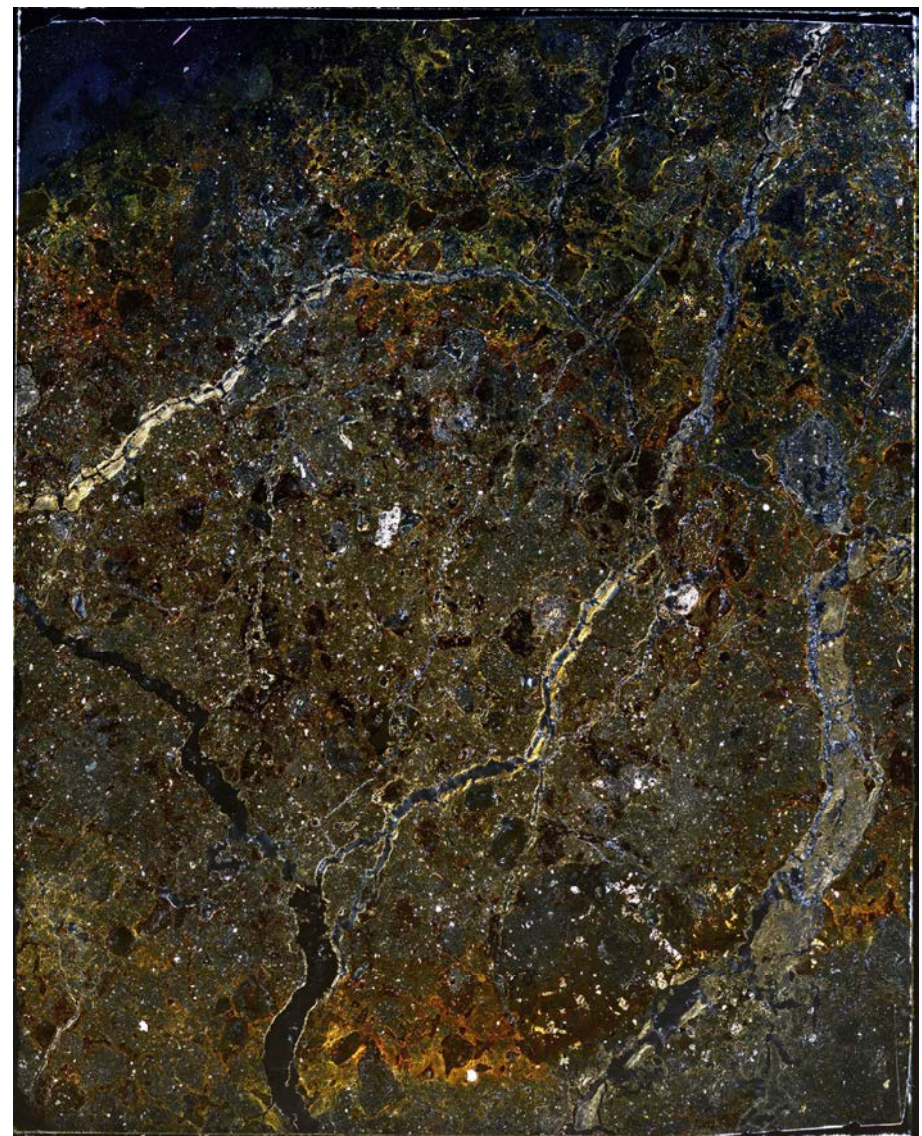
TE2N-i(直交ニコル 東西反転 礫等加筆)

鉍物組成分析データ S-2・S-6 No.2トレンチ(北面) -薄片観察(TE2N-j)-

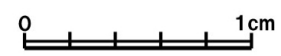
東

東

上



西

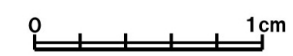


TE2N-j(直交ニコル 東西反転)

下上



西



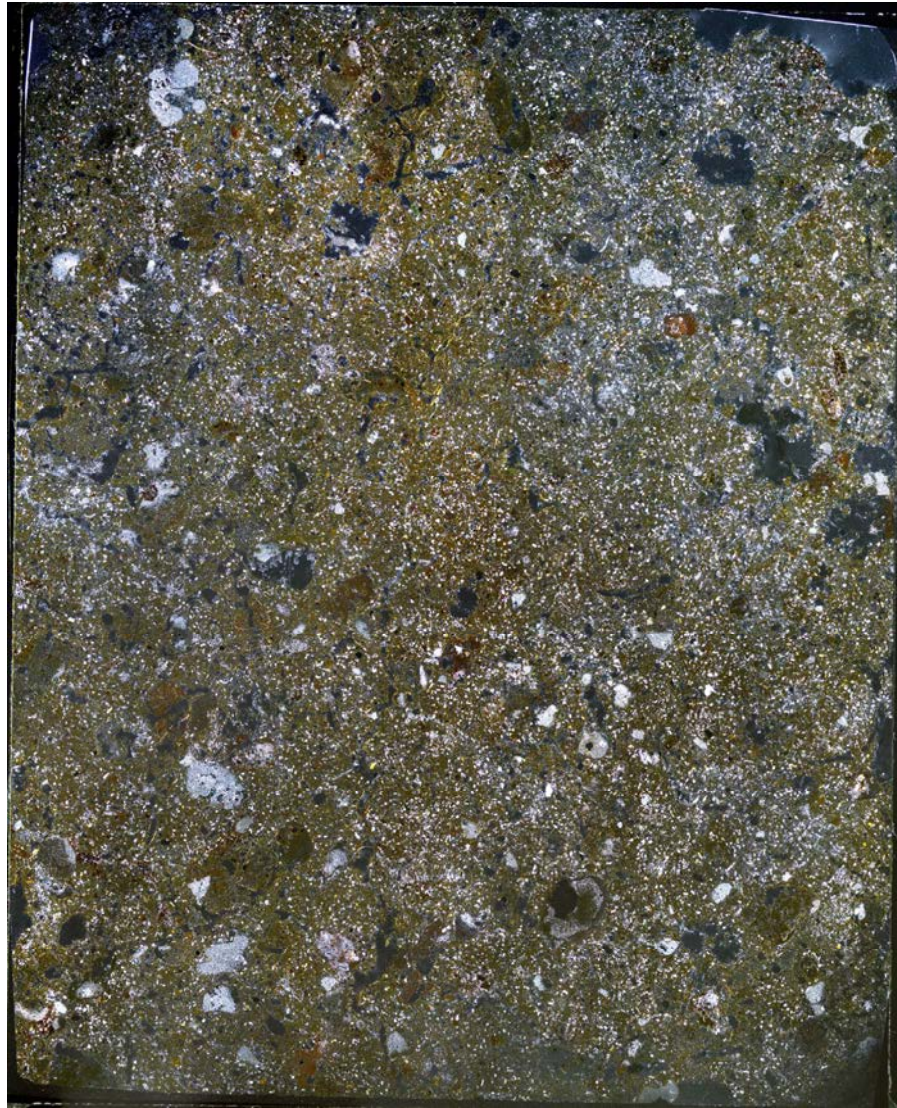
TE2N-j(直交ニコル 東西反転 礫等加筆)

鉱物組成分析データ S-2・S-6 No.2トレンチ(北面) —薄片観察(TE2N-k)—

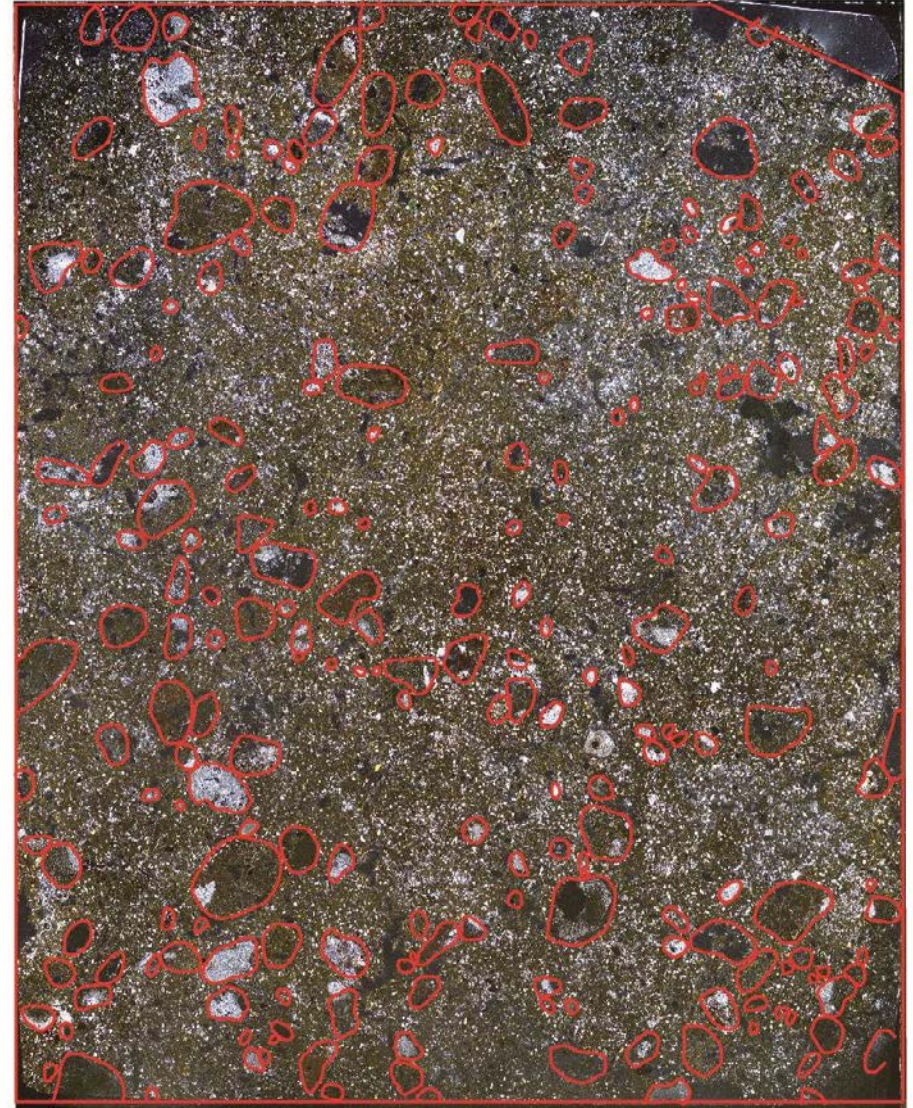
東

東

上

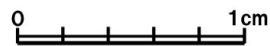


下 上



下

西



西



TE2N-k(直交ニコル 東西反転)

TE2N-k(直交ニコル 東西反転 礫等加筆)

鉱物組成分析データ S-2・S-6 No.2トレンチ(北面) —薄片観察(TE2N-I)—

東

東

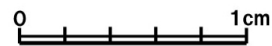
上

下 上

下



西



西



TE2N-I(直交ニコル 東西反転)

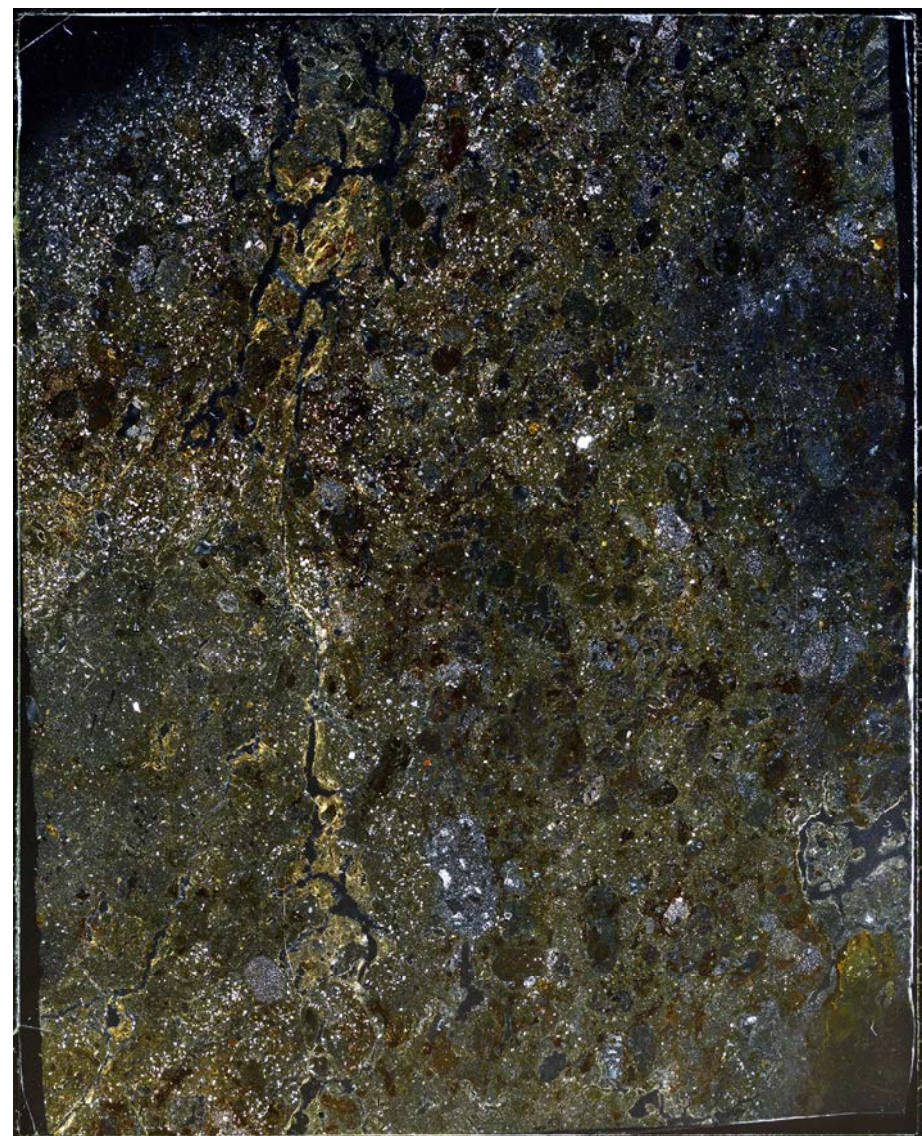
TE2N-I(直交ニコル 東西反転 礫等加筆)

鉱物組成分析データ S-2・S-6 No.2トレンチ(北面) -薄片観察(TE2N-m) -

東

東

上

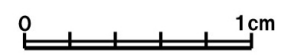


下上

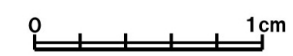


下

西



西



TE2N-m(直交ニコル 東西反転)

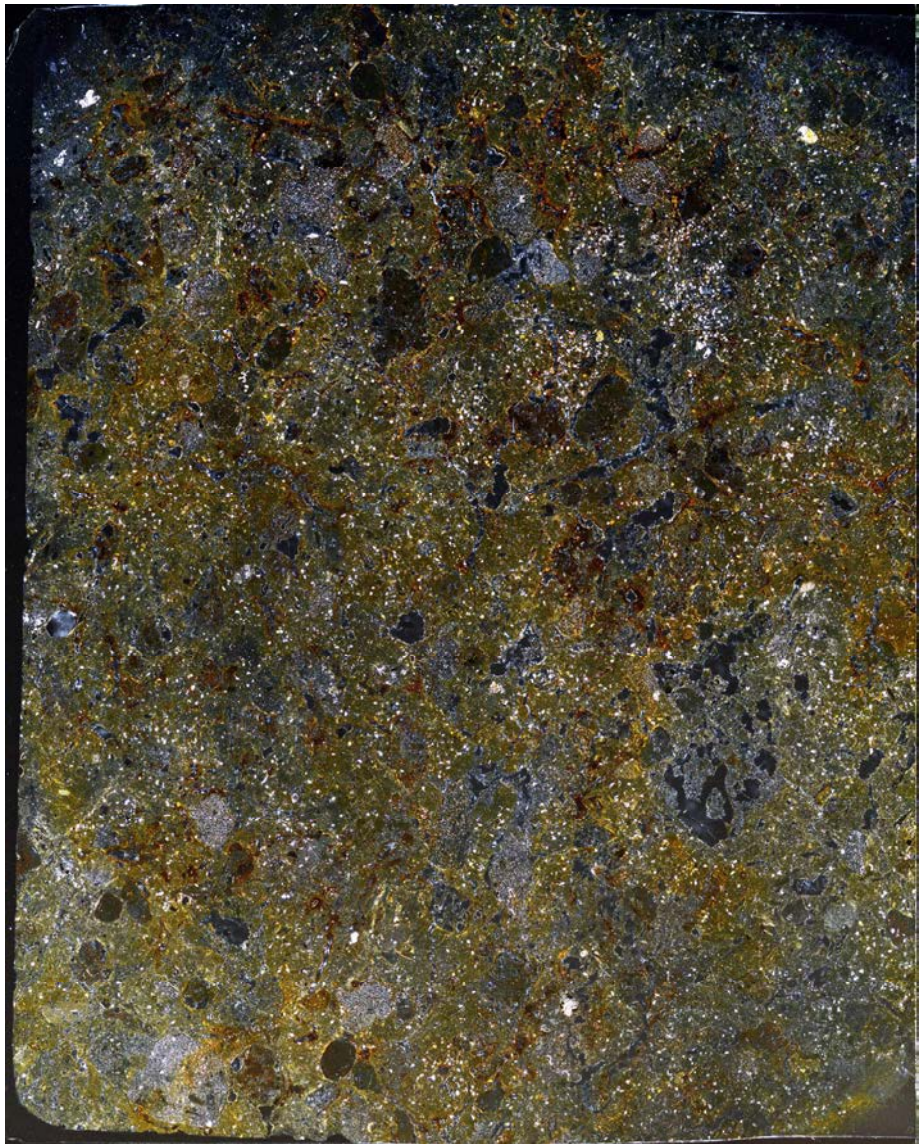
TE2N-m(直交ニコル 東西反転 礫等加筆)

鉱物組成分析データ S-2・S-6 No.2トレンチ(北面) —薄片観察(TE2N-n)—

東

東

上

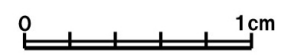


下 上

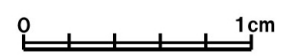


下

西



西



TE2N-n(直交ニコル 東西反転)

TE2N-n(直交ニコル 東西反転 礫等加筆)

鉍物組成分析データ S-2・S-6 No.2トレンチ(北面) -薄片観察(TE2N-o) -

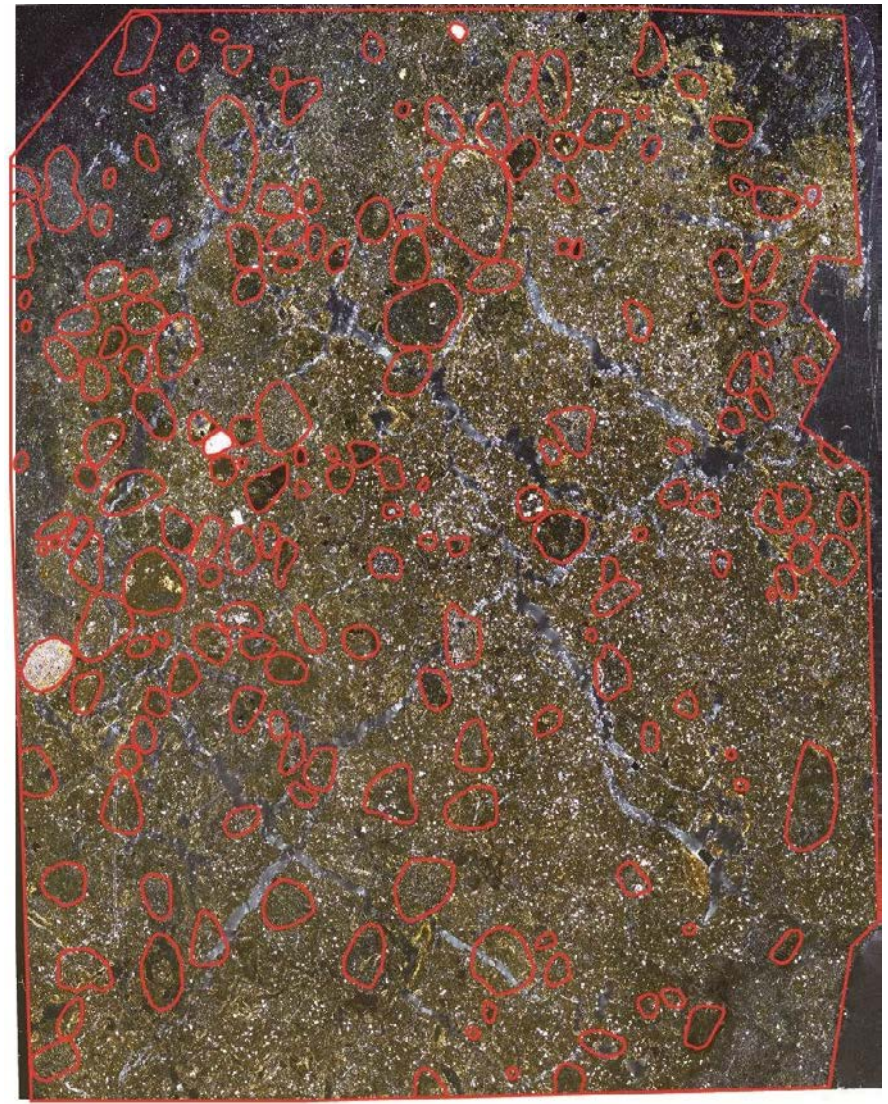
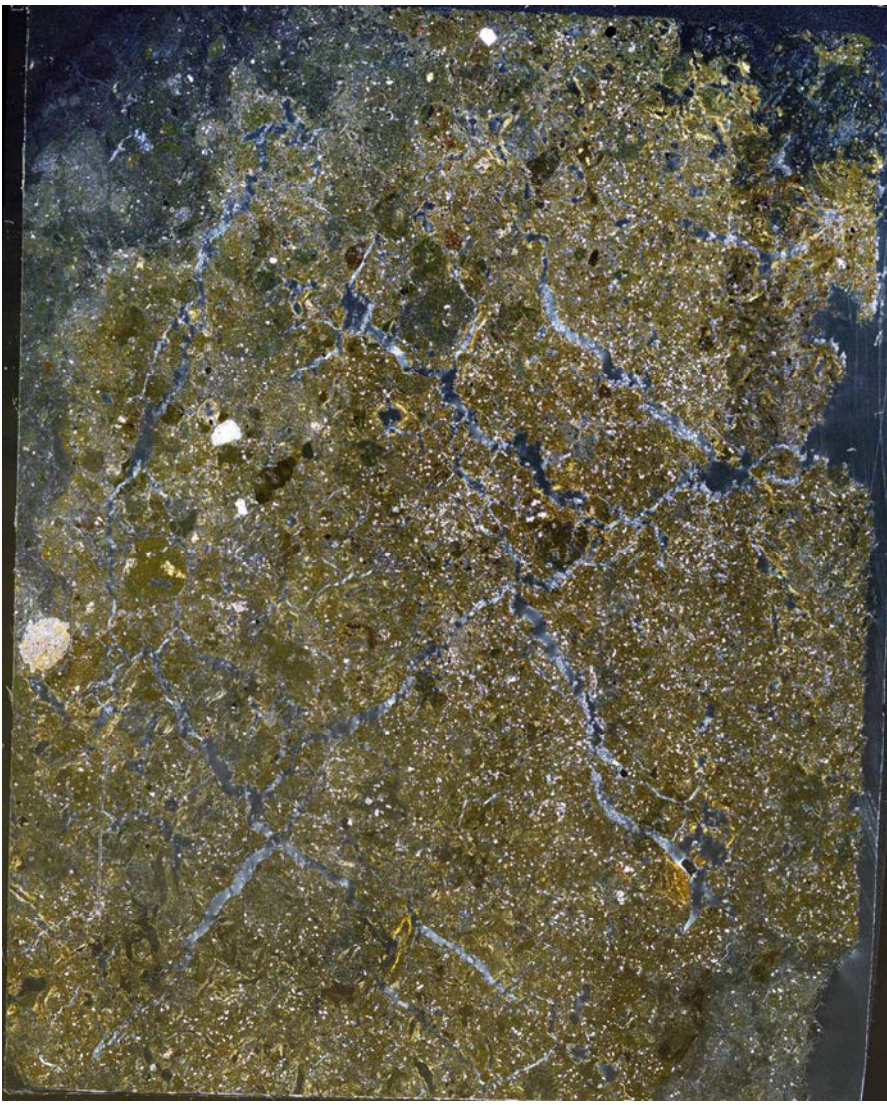
東

東

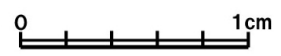
上

下 上

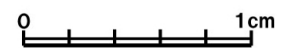
下



西



西



TE2N-o(直交ニコル 東西反転)

TE2N-o(直交ニコル 東西反転 礫等加筆)

鉱物組成分析データ S-2・S-6 No.2トレンチ(北面) -薄片観察(TE2N-p)-

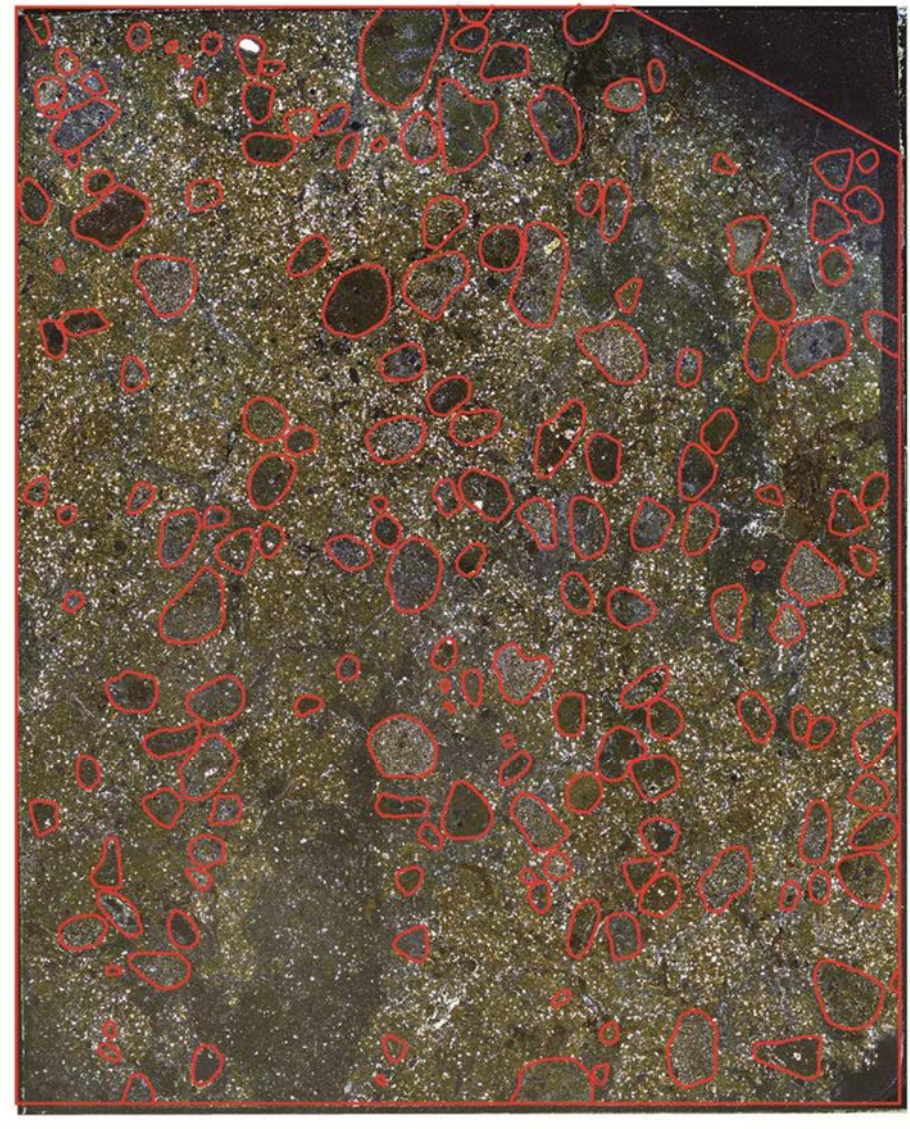
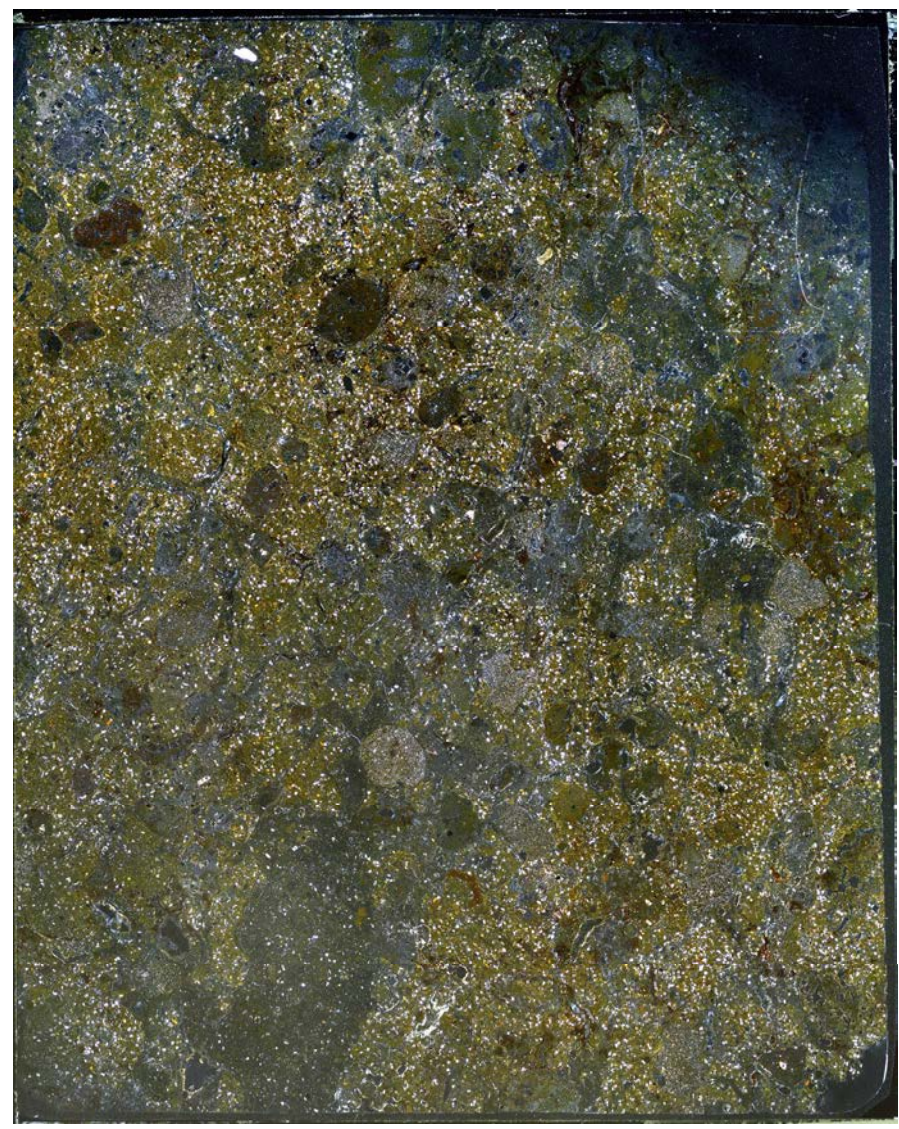
東

東

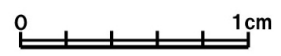
上

下 上

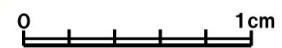
下



西



西



TE2N-p(直交ニコル 東西反転)

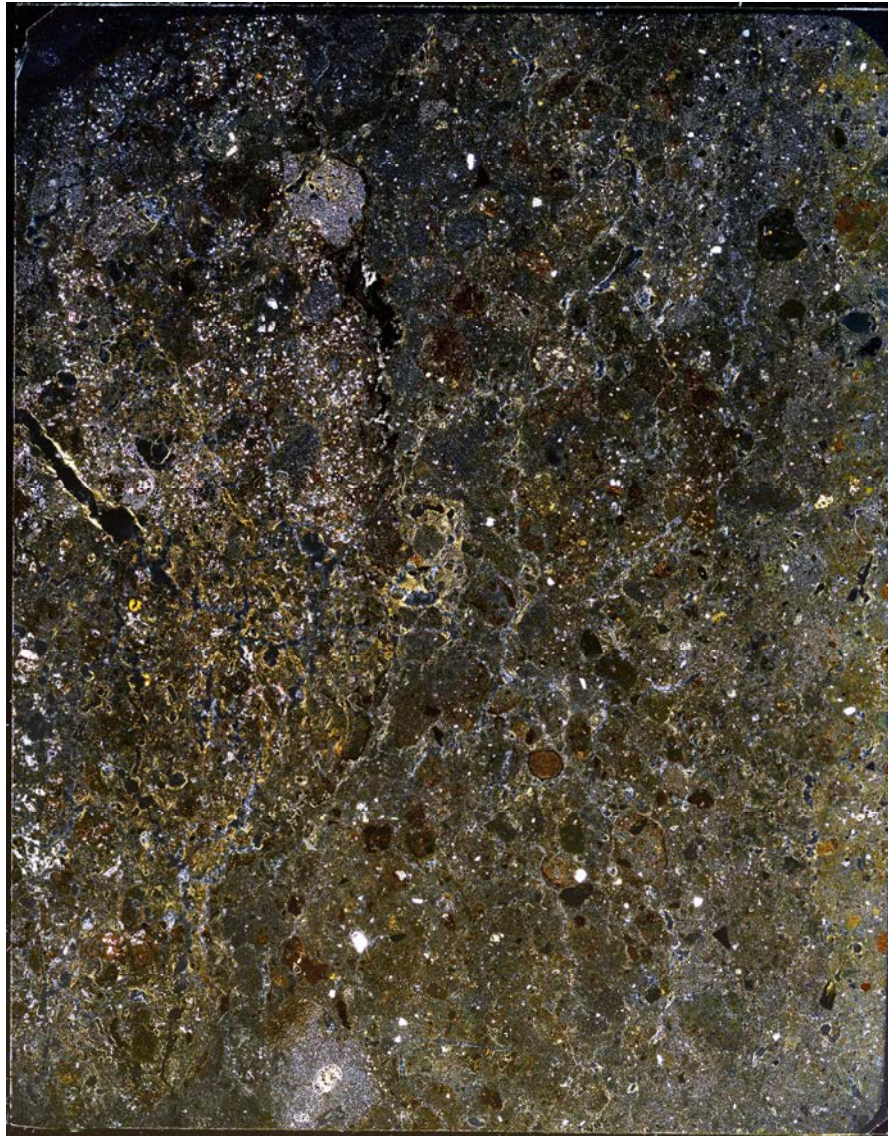
TE2N-p(直交ニコル 東西反転 礫等加筆)

鉱物組成分析データ S-2・S-6 No.2トレンチ(北面) -薄片観察(TE2N-q) -

東

東

上

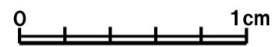


下上

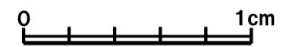


下

西



西



TE2N-q(直交ニコル 東西反転)

TE2N-q(直交ニコル 東西反転 礫等加筆)